

784-8  
1992



საქართველოს მეცნიერებათა აკადემიის მაცნე  
ИЗВЕСТИЯ АКАДЕМИИ НАУК ГРУЗИИ  
PROCEEDINGS OF THE ACADEMY OF SCIENCES  
OF GEORGIA

издание  
сборник  
СЕРИЯ  
БИОЛОГИЧЕСКАЯ

1992 N6

თბილისი ტბილისი  
ТБИЛИСИ - ТОМ  
TBILISI VOL.

18

ପ୍ରକାଶନ କେନ୍ଦ୍ର

## СПИСОК РАЗДЕЛОВ БИОЛОГИИ, ПО КОТОРЫМ ПРИНИМАЮТСЯ СТАТЬИ

- Теоретическая биология  
Физиология человека и животных  
(норм. и патол.)

Морфология  
Анатомия  
Эмбриология и гистология  
Цитология  
Патологическая морфология

Биохимия  
Фармакология  
Ботаника (экспер. и теорет.)  
Физиология растений  
Зоология (экспер. и теорет.)  
Энтомология  
Паразитология  
Гельминтология  
Палеобиология  
Биогеоценология  
Экология  
Микробиология  
Вирусология  
Иммунология  
Генетика  
Радиobiология  
Биофизика  
Молекулярная биология  
Бионика и биокибернетика

საქართველოს მეცნიერებათა აკადემიის გაცემის  
ИЗВЕСТИЯ АКАДЕМИИ НАУК ГРУЗИИ



ბიოლოგიუ სერია  
СЕРИЯ БИОЛОГИЧЕСКАЯ

ტომი 18, № 6  
Том

ქურნალი დაარსებულია 1975 წლის იანვარში  
Журнал основан в январе 1975 года  
გოთვდის წელიწლი 6-ჯერ  
Выходит 6 раз в год

თბილისი  
ТБИЛИСИ



„ვიცნიერება“  
«МЕЦНИЕРЕБА»

© 1992

სარედაქციო გოლშგია:

მთავარი რედაქტორი ვ. უკუჩავა

მთავარი რედაქტორის მოადგილე თ. ონიანი

სწავლული მდივანი გ. ბექაია

ლ. გაბუნია, ი. ლიავა, მ. ზაალიშვილი, გ. თუმანიშვილი, გ. კვესიტაძე, ქ. ნადარეიშვილი,  
ბ. ნანეიშვილი, გ. ნახუცრიშვილი, გ. სანაძე, ბ. ურაშვილი, თ. ჭანიშვილი,

ნ. ჯავახიშვილი

ბასუბისმგებელი მდივანი ს. ლაბაძე

РЕДАКЦИОННАЯ КОЛЛЕГИЯ:

Главный редактор В. М. Окуджава

Зам. главного редактора Т. Н. Ониани

Ученый секретарь Г. Л. Бекая

Л. К. Габуния, Н. А. Джавахишвили, М. М. Заалишвили,  
Г. И. Квеситадзе, Б. Е. Курашвили, К. Ш. Надарейшили, Б. Р. Нанеишвили,  
Г. Ш. Наухцишвили, Г. А. Санадзе, Г. Д. Туманишвили, Т. Г. Чанишвили,  
И. Я. Элиава

Ответственный секретарь С. Р. Лабадзе

EDITORIAL BOARD:

Editor-in-Chief V. Okujava

Associate Editor T. Oniani

Editorial Secretary G. Bekaya

T. Chanishvili, N. Djavakhishvili, L. Gabunia,

G. Kvesitadze, B. Kurashvili, K. Nadareishvili, B. Naneishvili,

G. Nakhtsrishvili, G. Sanadze, G. Tumanishvili, M. Zaalishvili, I. Eliava

Executive Secretary S. Labadze

© Известия АН Грузии

Серия биологическая, 1992

რედაქციის მისამართი:

380060, თბილისი-60, კუტუზოვის ქ. 19,

ტელ. 37-86-78

Адрес редакции:

380060, Тбилиси-60, ул. Кутузова, 19,

тел. 37-86-78

Корректор Д. Р. Арчадзе

Сдано в набор 26.08.92. Подписано в печать 15.02.93

Формат бумаги 70×108<sup>1/16</sup>. Бумага № 1. Высокая печать.

6,3 усл.-печ. л. 7,23 кр.-отт., 4,5 уч.-изд. л.

Тираж 900 экз. Заказ 1004. Цена 2 руб.

---

გამომცემლობა „მეცნიერება“, თბილისი, 380060, კუტუზოვის ქ. 19

Издательство «Мецнериба», Тбилиси, 380060, ул. Кутузова, 19

---

სიქართველოს მეცნიერება, გადამისახმა, თბილისი, 380060, კუტუზოვის ქ. 19

Типография АН Грузии, Тбилиси, 380060, ул. Кутузова, 19

Д. Г. Барамидзе, З. Т. Горделадзе, Н. Д. Вепхвадзе, Н. Т. Куридзе. Участие нервного механизма в формировании реакции пialных артерий в условиях эксперимента . . . . .	365
დ. გორდონიძე, ზ. გორგელაძე, ნ. ვერგავაძე, ნ. ქუჩიძე. ნეიროგენული მექანიზმის მონაწილეობა პალური არტერიების რეაქციათა ფორმირებაში ექსპერიმენტის პირობებში . . . . .	
D. Baramidze, Z. Gordeladze, N. Vepkhvadze, N. Kuriidze. Involvement of a neural mechanism in the formation of pial arterial responses under experimental conditions . . . . .	
В. ნ. Тевзадзе, Д. Ш. Бениашвили. Значение желчных кислот и дуоденогастрального рефлюкса в гастроblastомогенезе . . . . .	369
ვ. თევზაძე, დ. ბენიაშვილი. ნერვული მექანიზმების და დუოდენოგასტრულური რეფლუქსის მნიშვნელობა გასტრომლასტომოგენეზში . . . . .	
V. Tevzadze, D. Beniashvili. Significance of bile acids and duodenogastral reflux in gastroblastogenesis . . . . .	
М. А. Алоева. Коагуляция и лизис в аспекте тромбогеморрагического синдрома . . . . .	374
მ. ალიევა. კოაგულაცია და ლიზისი თრომბოქმორაგიული სინდრომის ასპექტში . . . . .	
M. Alieva. Coagulation and lysis in thrombohaemorrhagic syndrome . . . . .	
Э. И. Дзамоева, Г. И. Кикнадзе, И. А. Лазарiev. Ультраструктурная организация глиальных клеток ноцицептивных структур головного мозга при болевом раздражении . . . . .	382
ე. დამოია, გ. კიკნაძე, ი. ა. ლაზარიევ. ულტრასტრუქტურული მოვალეობების გლიაური ურჩევების ულტრასტრუქტურული ორგანიზაცია . . . . .	
E. Dzamoeva, G. Kiknadze, I. Lazariev. The ultrastructural organization of glial cells of the brain nociceptive structures during painful stimulation . . . . .	
В. Я. Сандодзе. Поведенческие корреляты утомления в процессе реализации условионрефлекторного поведения . . . . .	389
ვ. სანდოდე. დაღის ქცევითი კორელატები პირობით რეფლექსური ქცევის რეალიზაციის პირობებში . . . . .	
V. Sandodze. The behavioural correlates of fatigue in the process of conditional behaviour realization . . . . .	
Е. В. Мгеладзе. Функциональная морфология легких и показатель гомеостаза при длительной физической нагрузке в эксперименте . . . . .	394
ე. მგელაძე. ფიზიკური უნდობის უზნების მორფოლოგია და ჰიმეოსტაზის მაჩვენებელი ხაგრძნელები დაზიანების შემდეგ ექსპერიმენტში . . . . .	
E. Mgelandze. Lung functional morphology and index of homeostasis after prolonged exercise in experiment . . . . .	
Л. М. Небольсина. Морфологический анализ печени при сочетанном воздействии на организм крыс гипоксии, электромагнитного поля и низких температур . . . . .	398
ლ. ნებოლისია. ლეიდლის მორფოლოგიური ინალიზი ვერთაგვას არგვიზებზე პიონერის, ელექტრომაგნიტური ველისა და დაბალი ტემპერატურების ერთ-დროული ზემოქმედებისას . . . . .	
L. Nebolsina. Morphological analysis of liver under combined influence of hypoxia, electromagnetic field and low temperatures in rats . . . . .	
Э. А. Рапава. Лектины, их свойства, функция и применение в биологии и медицине . . . . .	404
ე. ა. რაპავა. ლექტინები, მათი თვისებები, ფუნქცია და გამოყენება ბიოლოგიაში და მედიცინაში . . . . .	
E. Rapava. The lectins: properties and applications in biology and medicine . . . . .	

- В. А. Цанава, М. Я. Трапайдзе. Активность ферментов ассимиляции азота в листьях апельсина сорта Вашингтон-Навель в зависимости от сроков внесения азотных удобрений 414
- ვ. ცანავა, მ. ტრაპაიძე. ფოტოთობაზე ვაშინგტონ-ნაველში აზოტის ასმილაციის ფერმენტების აქტიობა აზოტოვანი სასუქების შეტანის ვალებთან დაკავშირებით
- V. Tsanava, M. Trapaidze. The activity of nitrogen assimilation enzymes in the orange Washington - Nevel, depending on the dates of nitrogen fertilizer administration
- Л. К. Габуния, А. К. Векуа. Нижняя челюсть ископаемого человека из позднего виллафранка Дманиси 418
- ლ. გაბუნია, ა. კ. ვეკუა. ღმიანვილის გვიანვილაფრანკული ნამარხი ადამიანის ქვეფა
- Л. Габуня, А. Векуа. The mandible of fossil man from upper villafranchian of Dmanisi (East Georgia)
- Дж. В. Начкеция, Т. Г. Габисония. Факторы патогенности у бактерий рода Clostridium 428
- დ. ნაჭებია, თ. გ. გაბისონია. Clostridium-ის გვარის ბაქტერიების პათოგენურობის შესწავლა
- J. Nachkebia, T. Gabisonia. Factors of pathogenicity in Clostridium bacteria

УДК 612.824

ФИЗИОЛОГИЯ ЧЕЛОВЕКА И ЖИВОТНЫХ

## УЧАСТИЕ НЕРВНОГО МЕХАНИЗМА В ФОРМИРОВАНИИ РЕАКЦИИ ПИАЛЬНЫХ АРТЕРИЙ В УСЛОВИЯХ ЭКСПЕРИМЕНТА

Д. Г. Барамидзе, З. Т. Горделадзе, Н. Д. Вепхвадзе, Н. Т. Куридзе

Институт физиологии им. И. С. Бериташвили АН Грузии, Тбилиси

Поступила в редакцию 29.04.91

201/92  
В условиях аппликации 0,2%-ного раствора стрихнина на поверхности мозга кроликов наибольшая степень дилатации сосудов в бассейне средней мозговой артерии была выражена в участках сфинктеров ответвлений сосудов от более крупных артериальных стволов и прекортикальных артериях. В зоне смежного кровоснабжения (в местах объединения коллатералей передних и средних мозговых артерий) реакция была слабо выражена. Степень реакций сосудов сочеталась с наличием и плотностью их иннервации.

В исследованиях Г. И. Мчедлишвили [3] было показано, что эффекторами регулирования микроциркуляции в коре головного мозга является главным образом система мелких пиальных артерий. Детальные исследования пиальной артериальной системы, проводимые за последние 15—20 лет, выявили ее структурную и функциональную гетерогенность [2]. В системе пиальных артерий были выявлены активные участки — сфинктеры ответвлений и прекортикальные артерии, функционирующие относительно независимо и определяющие интенсивность кровоснабжения в макроучастках коры головного мозга. Гистохимическими исследованиями была показана неравномерность адрен- и холинергической иннервации

пиальных артерий. Так, в области сфинктеров ответвлений и прекортикальных артерий плотность иннервации значительно превышает распределение нервных волокон по сравнению с остальным протяжением сосудов. Кроме того, было выявлено, что в зонах смежного кровоснабжения адрен- и холинергическая иннервация фактически отсутствуют [4, 5].

Целью настоящих исследований было изучение особенностей функционирования пиальных артерий в бассейне средней мозговой артерии и в зоне смежного кровоснабжения (где расположены коллатеральные связи между передней и средней мозговой артериями), в условиях аппликации 0,2%-ного стрихнина на поверхности коры мозга.

### МЕТОДИКА

Исследования проводили на пологозрелых кроликах обоего пола. Животные наркотизировались введением уретана (примерно 1 г на кг веса) и им вставляли трахеотомическую трубку. Для измерения общего артериального давления в одну из сон-

ных артерий в направлении аорты вводили катетер, соединенный с ртутным манометром. Череп трепанировали. Непосредственно перед началом опыта удаляли твердую мозговую оболочку.



Пиальные артерии фотографировали серийно через микроскоп (ув.  $\times$  56). В начале каждого опыта устанавливали исходный (контрольный) диаметр сосудов. Те же самые сосуды изучали затем на протяжении эксперимента. После проявления пленки на каждом кадре измеряли

сосудистый диаметр. Высчитывая ошибку измерений при этом составляла не более 5%. Полученные данные обрабатывали статистически. Локальные реакции пиальных артерий вызывали аппликацией на предварительно высушеннную поверхность мозга 0,2%-ного раствора стрихнина.

## РЕЗУЛЬТАТЫ ИССЛЕДОВАНИЯ И ИХ ОБСУЖДЕНИЕ

На поверхности коры мозга пиальные сосуды образуют сложную ветвящуюся сеть. Ввиду того, что регуляция кровоснабжения в любом органе осуществляется преимущественно артериальной частью сосудистого русла, нами были изучены функциональные особенности ветвлений пиальных артерий. В системе мелких пиальных артерий выявлены определенные активные участки — сфинкте-

рами опыта) эти сосудистые сегменты могут находиться в различном функциональном состоянии — расширены или сужены.

В области ветвления средней мозговой артерии дилатация разных микрососудов (в ответ на аппликацию стрихнина на поверхность мозга) была неодинаковой. Величина дилатации, при прочих равных условиях, зависела, главным образом, от



Рис. 1. Фрагмент пиальной артериальной сети: в местах ответвлений артерий расположены сфинктеры (СО); перед погружением артерий в кору мозга расположены прекортикальные артерии (ПКА). Прижизненная микрофотограмма,  $\times$  80

ры ответвлений (СО), в местах ответвлений мелких ветвей от более крупных сосудистых стволов, и прекортикальные артерии (ПКА), в частности терминальные участки пиальных артерий непосредственно перед их погружением в кору мозга (рис. 1). В условиях контроля (перед на-

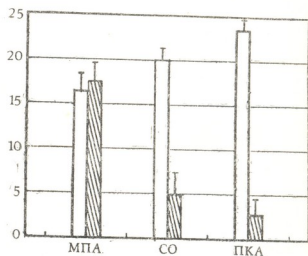


Рис. 2. Дилатация мелких пиальных артерий (МПА), сфинктеров ответвлений (СО) и прекортикальных артерий (ПКА) в условиях аппликации на поверхности коры мозга 0,2%-ного раствора стрихнина. Белые столбики — ветвления средней мозговой артерии, заштрихованные столбики — зона смежного кровоснабжения

структурно-функциональных особенностей микрососудов пиального артериального русла. Степень реакции прекортикальных артерий была выражена больше по сравнению с другими микрососудами. Величина (сте-

пень) дилатации сфинктеров ответвленияй и мелких пищеварительных артерий была примерно одинаковой.

В зоне смежного кровоснабжения коры головного мозга расширение прекортикальных артерий и сфинктеров ответвлений было выражено очень слабо (рис. 2).

Анализу возможного физиологического механизма этих сосудистых реакций способствовало исследование функционирования сосудов в различных сосудистых областях: в области ветвлений средней мозговой артерии и в зоне смежного кровоснабжения. Эти два сосудистых региона различаются степенью иннервации. В зонах смежного кровоснабжения фактически отсутствует адрен- и холинергическая иннервация сосудов.

Регулирование всей многокомпонентной системы пialных артерий может осуществляться либо гуморальными, либо нейрогенными механизмами (либо теми и другими вместе). Полученные данные при аппликации стрихнина на поверхности коры мозга свидетельствуют в пользу нейрогенного механизма функциональной дилатации пialных артерий. В этих условиях доказательством подобного суждения может служить

## ЛИТЕРАТУРА

- Барамидзе Д. Г., Гадамски Р., Горделадзе З. Т., Мамаладзе А. А. Физиол. журнал СССР, 68, 10, 1383—1391, 1982.
  - Барамидзе Д. Г., Левкович Ю. И., Мчедлишвили Г. И. Физиол. журнал СССР, 69, 8, 1058—1064, 1983.
  - Мчедлишвили Г. И. Функция сосудистых механизмов головного мозга, Л., «Наука», 1968.
  - Сахарова А. В. Бюлл. экспер. биол. мед., 89, 2, 141—143, 1980.
  - Baramidze D. G., Reidler R. M., Gadamski R., Mchedlishvili G. I. Blood Vessels, 19, 284—291, 1982.

ମୋରଙ୍ଗାରୁ ପାଇଁ କିମ୍ବା କିମ୍ବା କିମ୍ବା କିମ୍ବା କିମ୍ବା କିମ୍ବା

Է. ՏԵՐԱՅԱՎՈՐ, Գ. ՑՈՒԿԱԿԱՎՈՐ, Ե. ՑԵՊԵՎՈՐ

საქართველოს მეცნიერებათა აკადემიის ა. ბერიტაშვილის სახელობის ფაზიოლოგიის ინსტიტუტი, თბილისი

ՀԵՂՈՅՑ ՅԱ

ბოცერების თავის ტვინის ქერქის ზე-დაპირზე 0,2% სტრიქნინის ხსნარის პლიკაციით გამოწვეული სისხლძარღვთა გაფართოება ყველაზე მკაფიოდ გამოხა-ტული იყო თავის ტვინის შუა არტერიის განტორტვის აუზში განლაგებულ განშტო-ების სთინიტიტებას და პრეკორტიკალურ-

ряд фактов, полученных нами в настоящей и предыдущих работах. 1. Иннервация пиальной артериальной системы неравномерна. В частности, в областях сфинктеров ответвлений и прекортикальных артерий она гораздо более плотная по сравнению с другими участками пиальных артерий [5]. В зонах смежного кровоснабжения нервные волокна фактически отсутствуют [4]. 2. Плотность иннервации сосудистых участков тесно взаимосвязана с латентными периодами реакций артерий в условиях аппликации надпороговых концентраций стрихнина. Было показано, что чем выше плотность иннервации сосудов, тем короче латентный период их реакции [1]; 3. Степень дилатации сфинктеров ответвлений и прекортикальных артерий сочетается также с высокой плотностью их иннервации и значительно больше выражена по сравнению с другими участками пиальных артерий [1]. 4. Как было показано в настоящей работе, в бассейне средней мозговой артерии расширение больше всего было выражено в областях сфинктеров ответвлений и прекортикальных артерий. В зонах смежного кровоснабжения их реакция была незначительной, а

- Мchedlišvili G. I. Fungcija soso-  
distixx mehanizmov golovnogo mozga,  
L., «Nauka», 1968.
- Sakarova A. B. Bioll. ekspcer. biol.  
med., 89, 2, 141—143, 1980.
- Vagamidze D. G., Reidler R. M.,  
Gadamski R., Mchedlishvili  
G. I. Blood Vessels, 19, 284—291, 1982.

არტერიებში. თავის ტვინის წინა და შეუარტერიების მოსაზღვრე კოლატერალურ სისხლძარღვთა უბნებში ჩაეჭირა სუსტად იყო გამოხატული. ჩაეჭირის სიღილე და-კავშირებული იყო სისხლძარღვთა ინერ-გაციასა და მის სიხშირეზე.

# INVOLVEMENT OF A NEURAL MECHANISM IN THE FORMATION OF PIAL ARTERIAL RESPONSES UNDER EXPERIMENTAL CONDITIONS

D. BARAMIDZE, Z. GORDELADZE, N. VEPKHVADZE, N. KURIDZE

I. Beritashvili Institute of Physiology, Georgian Academy of  
Sciences, Tbilisi

## Summary

Under conditions of application of 0.2% strichnine solution on the rabbit's cerebral surface, the degree of vascular dilatation in reservoir of the middle cerebral artery was shown to be pronounced at the sphincters of vascular offshoots from the larger arterial trunks and precortical

arteries. In the zone of collateral blood supply (in the sites of common collaterals from the anterior and middle cerebral arteries) the response appeared to be less pronounced. The degree of vascular responses was correlated with the existance and density of vessel innervation.

აათ 616.34—008.17—032:611.33

პათოლოგიური ფიზიოლოგია

ცალვლის მშავების და დუოდენოგასტრალური რეფლუქსის  
გენეზების გასტრობლასტომოგენეზის

### 3. თივზაძე, ჯ. გილიაშვილი

საქართველოს ჯანმრთელობის დაცვის სამინისტროს ონკოლოგიის სამეცნიერო  
ცენტრი, თბილისი

შემოსულია რედაქციაში 19.02.91.

ნაღლის შეკვები და დუოდენოგასტრალური რეფლუქსი ახდენენ მასტიმულირებელ  
გაელენას ექსერინენტულ გასტრობლასტომოგენეზზე, რაც გამოიხატება საცდელ ვირავა-  
ვეზში კუჭის სიმსენებას ჰაოლენბობის სტატისტიკურად ცეშმარიტი მატებით, მათ განვი-  
თარების საშუალო ლატენტური პერიოდის შემცირებით საკონტროლო ცხოველებთან შე-  
დარჩებით. საინტერესოა აონიშნოს, რომ მამოდიფიცირებელი ფაქტორების — ნაღლის მდა-  
ვების და დუოდენოგასტრალური რეფლუქსის გამოყენებით მიღებულა კუჭის სიმსენები  
კანცეროგენის შეყვანის გარეშეც.

კუჭ-ნაწლავის ტრაქტის კიბოს ეტა-  
ოლოგიის და პათოგენეზის საყითხებშე  
ბოლო დროს მრავალი ფაქტი დაგროვდა,  
რომლებშიც გარემოს ფაქტორებთან ერ-  
თად სულ უფრო იხატება თვითონ არგა-  
ნიშნის როლი, როგორც გარეშე კანცე-  
როგენული და კუკანცეროგენული ზემოქ-  
მედების რეალიზაციაში, ასევე ენდოგე-  
ნური პირობების შექმნაში, რომელიც  
ხელს უწყობს ამ ლოკალიზაციის სიმსივ-  
ნების განვითარებას [1, 6, 23].

კუჭის კიბოს წარმოშობის წინ უ-  
წრებს ატროფიული გასტრიტის განვითა-  
რება და კვევითებული სიმჟავიანობით და  
კუჭის ლორწოვანის მეტაპლაზია მსხვილ  
ნაწლავური ტრაქტი. აღნიშვნული სიტუაცია  
ვითარდება პილორუსის სფინქტერის უკ-  
მარისობის დროს, როდესაც აღგილი იქვე  
თორმეტგოჭას შიგთავსის გადასცვლას კუჭ-  
ში — ე. წ. დუოდენ-გასტრალურ რეფ-  
ლუქსს (დგრ) [4, 5, 9, 22].

რეფლუქს გასტრიტის კონცეფცია,  
რომელიც ფართოდ განიხილება თანამედ-  
როვე ლიტერატურაში მოწოდებული იქნა  
1924 წელს შინდლერის მიერ, რომელ-  
შიც პირველმა აღნიშნა მისი როლი კუჭის  
კიბოს განვითარებაში [8].

პილორუსის სფინქტერს არ გააჩნია  
აბსოლუტური ბარიერული ფუნქცია [10],  
ასე რომ უმნიშვნელო რეფლუქსს შეიძ-  
ლება აღგილი ჰემიდეს და წარმოადგენ-  
დეს ფიზიოლოგიურ ფენომენს, რომელიც  
ხელს უწყობს საჭმლის მონელების პრო-  
ცესს. ზოგიერთი პათოლოგია ცრინიკუ-  
ლი დუოდენური გაუგალობა, გამოწვე-  
ული როგორც ცენტრალური, ასევე აღ-  
გილობრივი რეგულაციის დაზღვევით,  
არტერიო-მეზენტერიალური კომპრესია,  
თორმეტგოჭას სარქვლის უკმარისობა,  
გამოწვეული მორფოლოგიური ცალკე-  
ბებით აუერბახის წნულში და სხვა) [4, 5,  
9]. წარმოქმნის სარქვლის ფუნქციის და-  
ქვეოთებას სრულ უქმარისობამდე, რაც  
იწვევს თორმეტგოჭას შიგთავსის რეგუ-  
ლიტაციას კუჭში დიდი რაოდენობით და  
ხანგრძლივი დროის განმავლობაში. ასე-  
თი პროცესი განაპირობებს კუჭის ლორ-  
წოვანის გადაგვარებას ნაწლავური ტრაქტი,  
რაც გამოიხატება ცალკეული ბაქალისე-  
ბური უგრედების წარმოქმნით [3].

პროცესები, რომლებიც ვითარდება ამ  
მოვლენების გამო (სიმჟავიანობის დავა-  
ითება, ატროფიული გასტრიტის და შე-  
დეგად შელულის, პოლპის და კიბოს გან-

ვითარება), შესაძლებელია გამოწვეული იქნენ ნაღვლის და კერძოდ ნაღვლის მეფების (ნე) ზოგიერთი ბატერიული პროდუქტის ან მათი მეტაბოლიტის ზემოქმედებით კუჭის ლორწოვან გარსხე [8, 17, 18]. პირველადი ნმ (ქოლის და ქსენოდეზოქსიოლი) ბატერიული ფლორის მოქმედებით გარდაიქმნება მეორად ნმ (დეზოქსიოლი, ლორტოქოლი) [2]. ამ უკანასკნელთ კი გაიჩნიათ კოკინცეროგენული მოქმედება (ალბათ პრომოციის ფაზაში) [15, 16]. ნმ პრომოტორული ზემოქმედების მექანიზმი შეიძლება დაკავშირებული იქნას კუჭის ლორწოვანზე მათი დამზიანებელი მოქმედებით [21], რაც ხელს უწყობს კანცეროგენის აღვილად შეღწევადობას „სამზნე“ ფქრედებამდე [19, 26]. ალინიშნება მეთილ-N-ნიტრო-N-ნიტროზოგუანიდინის (მნნბ) ინტენსიური დიფუზია და ადვილი შეღწევადობა კუჭის ღრულიან კუჭის კადლებში მნნბ ნატრიუმის ტაუროქოლატთან ერთად შეეცანისა [11, 12, 13, 14, 22]. ამასვე ადასტურებს მსხვილი ნაწლავის სიმსივნებში ნმ რეცეპტორების აღმოჩენა [24], მსხვილი ნაწლავის კიბოს დროს ჭარბი რაოდენობით ნმ ფერალურ მასებში [7], მეორადი ნმ მომატებული კონცენტრაცია ნაღვლის ბუშასალა და გეთოდება

ექსპერიმენტი წარმოებულ იქნა უჯიშო თეთრ ვინტაგებზე, რომელიც დაყოფილი იქნენ 8 ჯგუფად. I, III, VI ჯგუფის ცხოველები 14 თვის განმავლობაში სასმელ წყალთან ერთად ლებულობდნენ მნნბ 0,003% ხსნას. I—IV ჯგუფის ცხოველები საჭმელთან ერთად ლებულობდნენ პირველად ნაღვლის მეფების (I, II — ქოლის, III—IV — ქენოდეზოქსიოლის მეფეს 2—3 მგ თოთოველ ცხოველზე). VI, VII ჯგუფის ცხოველებზე წარმოებული იქნა ოპერაცია — გასტროენტეროანასტრომოზის (გმ) შექმნა, ხე-

### მიღებული შედეგები.

წარმოებულმა ექსპერიმენტმა გვიჩვენა, რომ ნმ და ღბრ გავლენას ახდენენ მნნბ გასტრობლასტრომოგენზის ეფექტის რეალიზაციაზე — ყველა საცდელ ჯგუფში (გარდა II ჯგუფისა) ალინიშნება სტატისტიკურად სასტატისტიკურად სიმსივნეების რა-

ტში მეტაპლაზური პროცესების სინ. მეტაპლაზურის კარცინომის განვითარებაში მატერიალური მეტაპლაზური აღსანიშნავია ექსპერიმენტში კუჭის წარმოებული ოპერაციები, რომლებიც იწვევენ პილორუსის ფუნქციის დაკარგვას (რეზექციები ბილროთ I და II წესით, ვაგოტომია პილოროპლასტიკით) შემდგომში ნაწლავის შეგთავსის გადასვლით კუჭიში შექმნილი ანასტრომოზიდან, იწვევეს მნნბ კანცეროგენული ელექტრის გაძლიერებას [8, 22], მაშინ როცა კუჭის რეზექცია ბილროთ II წესით, რუს ანასტრომოზით მნნბ ბლასტრომოგენური ეფექტი მნიშვნელოვნად ინგიბირებულია [19]. მაგრამ დუღენენგასტროლურ რეფლუქსზე (ღბრ), ასევე ნმ მოქმედებაზე არის საჭინაოღმდეგო აზრიც [8, 26].

1967 წელს სიგიმურამ და ფიგიმურაშ ვართაგვებში გამოიწვიეს კუჭის ექსპერიმენტული კიბო სასმელ წყალთან ერთად მნნბ ხანგრძლივი მიცემისას [25]. შემდგომში განსაზღვრული იქნა მნნბ აპტიმალური დოზა და მიცემის ხანგრძლივობა [12]. მას შემდეგ ეს მოდელი ფართოდ გამოიყენება ონკოლოგიაში. ჩვენ მიზნათ დავისახეთ შევვესწავლა ეს საკითხი ექსპერიმენტში.

ლონური ღბრ ჩამოსაყალიბლებად. ექსპერიმენტი ამ ცხოველებზე (კანცეროგენის მიცემა) დაწყებულ იქნა ოპერაციის გაცეობიდან 2 თვის შემდეგ. VIII ჯგუფი იყო საკონტროლო-ინტაქტური ცხოველები. ექსპერიმენტის დაწყებიდან 14 თვის შემდეგ ყველა დარჩენილი ცხოველი დახოცილი იქნა დეკაპიტაციის გზით. ექსპერიმენტის შედეგად მიღებული მასალა ფიქსირდებოდა 10 % ნეიტრალურ ფორმალინში, ანათლები იღებებოდა ჰემოტოქსილინ-ეოზინით და პიკროფუქსინით ვან გიზონის მეთოდით.

ოდენობის მატება საკონტროლოსთან შედარებით.

როგორც № 1 ცხრილიდან ნათლად სანა მიღებული იქნა სტატისტიკურად ჰემიარიტი შედეგები მნნბ ინდუცირებული კუჭის კიბოს გამოწვევისა I, III, IV

ნაღვლის მეავეების და დუოდენოგასტრალური რ  
გასტრობლასტომოგენეზში

საცდელი ჯგუფი	მამოდიულირებელი ფაქტორები	ცხოველების რაოდენობა			სიმსივნეების რაოდენობა	მათევენტურები	
		ცდის და- საწყისში	პირველი სიმ- სივნების აღმო- ჩენისას	ცდის და- სასრულო- საფოს		x <sup>2</sup>	P
I	8668 და ქოლის მეავა	40	38	10	33	9,9	>0,05
II	ქოლის მეავა	40	39	13	15	1,8	<0,05
III	8668 და ქსენოლექოქსილის მეავა	40	37	17	36	19,9	>0,05
IV	ქსენოლექოქსილის მეავა	40	38	16	11	4,3	>0,05
V	8668 — კონტროლი	40	37	11	20	—	—
VI	8668 და გიგ	40	31	—	25	5,4	>0,05
VII	გიგ	40	35	15	9	5,5	>0,05
VIII	ინტაგტური ცხოველები — კონტროლი	40	—	—	—	—	—

ჯგუფის ვირთაგეებში და ნაოპერაციებ VI  
და VII ჯგუფში კონტროლთან შედარე-  
ბით.

ყურადღება უნდა მიექცეს იმ მნიშვნელოვან მომენტს, რომ VII ჯგუფის ვიზთავები გვიანდება გვიანდება გვიანდება გვიანდება

კვლოვან ნაწილს. უფრო ხშირად სიმსივნეები ლოკალზებული იყო კუჭის პალორულ ნაწილში და მცირე სიმრტეზე კველა შესაძრებელ გაუცში. გაცილებით უფრო იშვიათად აღინიშნებოდა კუჭის სხეულის დაზიანება. ხანდახან სიმსივნე-

Q&M 2

კუჭის ექსპერიმენტული სიმსივნეების მორფოლოგია

საცდელი ჯგუფები	კუპი ს ს ი მ ს ი ვ ნ ე ე ბ ი						ს ი ღ	
	ჭრეცდოვანი კუპი			წინაკუპი				
	აღნიშვა	აღნიკარცინმა	სარკომა	პაპილომა	ბრტყელზრდ-ლოგანი კიბო			
I	7	18	—	5	3		33	
II	8	1	—	6	—		15	
III	8	20	1	4	3		36	
IV	6	1	—	4	—		11	
V	2	17	1	—	—		20	
VI	3	16	—	4	2		25	
VII	4	2	—	2	1		9	
VIII	—	—	—	—	—		—	

ლი ცხოველები არ დებულობდნენ გასტროტრომბულ კანცეროგენს მნებ, სიძისივნეები გაუჩნდათ 35-დან 9 ცხოველს.

მაკროსკოპულად უმეტესად ინდუცი-  
ტიბული კიბო აზიანიბდა კუპის გირ-

ები გვეცდებოლნენ პილორულ და ფუნ-  
დალურ ნაწილში ან მთლიანად კუჭის  
ჯირკვლოვან ნაწილში. მაკროსკოპულად  
უმეტეს შემთხვევაში სიმსივნე წარმოად-  
გნდა პილიპის შეგავს წარმონაშენს,



ხშირად დაწყლულებული და ნეკროზული უბნებით. მათ ჰქონდათ მორგვალო ან ოვალური ფორმა, არასწორი ხორკლიანი ზედაპირი, მოყვითალო ფერი. ლორწოვანი ლებულობდა მოწითალო-მოთეთრო ფერს, ნაჭები იყო გასაღვებული. VI და VII გვაუფის ვირთავებში ყველა სიმსივნე ლოკალიზებული იყო ზია-ს არეში. ზოგჯერ სიმსივნეებს ჰქონდათ ფოლაქისმაგვარი სახე, სადა ზედაპირით ან ჩაზნექით ცენტრში, იშვიათად დაწყლულებული უბნებით და სუფთა ძირით. სხვა შემთხვევებში სიმსივნეები წარმოდგენილი იყო დიფუზური ინფილტრაციული ტიპით.

კუჭის ინდუცირებული სიმსივნეები, როგორც ეს ნაწვენებია № 2 ცხრილში, წარმოადგენდნენ მორფოლოგიურად ძირითადად კიბოს (აღნოკარცინომა და ბრტყელუჯრედოვანი კარცინომა) და ადენომებს.

ჩმ და დგრ ასევე მოქმედებს კუჭის სიმსივნეების განვითარების საშუალო ლატენტურ პერიოდზე. საცდელ ვირთავებს გაცილებით უფრო აღრე უჩნდებოდათ

სიმსივნეები, ვიდრე საკონტროლის დროის ველებს.

ჩატარებული ექსპერიმენტების საფუძველზე შეიძლება დავასკვნათ, რომ ნმდა დგრ ახდენენ მასტიმულირებელ გავლენას ექსპერიმენტულ გასტრობლასტო-მოგენეზზე, რომელიც ვლინდებოდა სიმსივნეების რაოდენობის მომატებით საცდელ გვუფებში, მათი განვითარების საშუალო ლატენტურ პერიოდის შემცირებით და VI და VII გვაუფის ვირთავებში კი სიმსივნეების ძირითადი ლოკალიზაციით ანასტრომოზის არეში. ფრაიად ინტერესს იწვევს ის ფქეტიც, რომ ნმდა დგრ არა მარტო ახდენდა გავლენას გასტრობლასტრომოგენეზზე, არამედ რიგ შემთხვევებში განაპირობებდა კუჭის სიმსივნეების განვითარებას გასტროტრობული კანცეროგენის მნიშვნელობის გარეშეც. ჩვენი ექსპერიმენტები ასევე გვაძლევს საშუალებას დავუშვათ რომ ნაოპერაციები კუჭის კბილს განვითარებაში გარევეული მნიშვნელობა აქვს დგრ, როგორც ეტიოპათოგენურ ფქეტორს.

## ლიტერატურა

1. Берштейн Л. М., Рыбин Е. П., Дильтман В. М. Вопр. онкологии, 6, 17—22, 1987.
2. Бочарова Л. В. Советская медицина, 5, 84—87, 1985.
3. Бутов Ю. Л., Садгинов В. Д., Постников А. В. Арх. патологии, 12, 78—81, 1987.
4. Витебский Я. Д., Лучинов М. А. Советская медицина, 6, 39—42, 1973.
5. Витебский Я. Д. Клапанные анастомозы в хирургии пищеварительного тракта, М., «Медицина», 1988.
6. Дильтман В. М. Эндокринологическая онкология. Л., «Медицина», 1988.
7. Немсадзе Г. Г., Ахалкаци Д. А., Бениашвили Д. Ш. Сообщения АН ГССР, 2, 189—192, 1989.
8. Патютко Ю. И., Клименко А. А., Кошуг Г. Д. Рак резецированного желудка, Кишинев, 1989.
9. Реут А. А., Щербатых А. В., Жигаев Г. Ф. Хирургия, 3, 1, 115—118, 1990.
10. Сакс Ф. Ф., Байтнегер В. Ф., Ефимов Н. П. Бюлл. Сибирского отделения АМН СССР, 7, 43—49, 1987.
11. Турусов В. С., Кобляков В. А. В кн.: Итоги науки и техники, «Онкология», М., ВИНИТИ, Химический канцерогенез, 16, 1986.
12. Шеренешева Н. И. Вопр. онкологии, 8, 72—74, 1979.
13. Шеренешева Н. И., Роттенберг В. И., Турусов В. С. Арх. патологии, 11, 25—32, 1979.
14. Balanski R., Blagoeva P., Nigehava S. J. Cancer and Clin. Oncol., IP, 3, 273—275, 1986.
15. Bouchier J. Lancet, 2, 1140—1142, 1987.
16. Campbell G., Mooghehead R., Donaldson J. Gut, 28, II, 1454—1459, 1987.
17. Karttunen T., Niemela S. Lancet, 16, 118—119, 1986.
18. Max B., Testori P., Fant L. Scand. J. gastroenterology, 22, 3, 308—312, 1987.



19. Mergenson L., Amodes P., Vimadelal Sh. J. Surg. Res., 36, 1, 55—61, 1984.
20. Reveile R., Stiegmann G. Gastroenterology, 99, 525—527, 1990.
21. Sawyer W. P., Ritter E., Fallon W. Am. J. gastroenterology, 34, 5, 348—352, 1984.
22. Sherenesheva N., Patiutko J., Klimenkov A., Tigrusov V. Arch. Geschwulstforsch., 57, 2, 91—98, 1987.
23. Saito T., Kuwahara A., Yamashita M. J. Cancer Res. and Clin. Oncol., 115, 5, 423—428, 1989.
24. Summerton J., Fellows M., Cooke T. Br. J. Surg., 70, 549—551, 1983.
25. Tursov V., Mohr U. Pathology of tumors in laboratory animals, Lyon, 1990.
26. Williams G., Weinburger J., Hideki M. Amer. J. Surgery, 142, 551—555, 1981.
27. Jnan R., Mearin F., Asproz F. Gastroenterology, 93, 5, 1026—1033, 1987.

## ЗНАЧЕНИЕ ЖЕЛЧНЫХ КИСЛОТ И ДУОДЕНОГАСТРАЛЬНОГО РЕФЛЮКСА В ГАСТРОБЛАСТОМОГЕНЕЗЕ

В. Б. Тевзадзе, Д. Ш. Бениашвили

Онкологический научный центр, Тбилиси

### Резюме

Желчные кислоты и дуоденогастральный рефлюкс стимулируют гастроblastомогенез — статистически достоверно увеличивают количество экспериментальных опухолей желудка у крыс и укорачивают средний латентный период их развития. Интересно

отметить, что в наших экспериментах получены опухоли желудка после воздействия желчных кислот и дуоденогастрального рефлюкса и без применения гастротропного канцерогена МННГ.

## SIGNIFICANCE OF BILE ACIDS AND DUODENOGASTRAL REFLUX IN GASTROBLASTOMOGENESIS

V. TEVZADZE, D. BENIASHVILI

Oncologic Scientific Centre, Tbilisi

### Summary

Bile acids and duodenogastral reflux stimulate gastroblastomogenesis, statistically significantly increase the incidence of experimental gastric tumors in rats and shorten the mean latent period of their development. It is interesting to

note that in our experiments gastric tumors were obtained after the effect of bile acids and duodenogastral reflux even without the use of gasterotrophic carcinogen MNNG.

УДК 616.151.5—005.6 —092

ФИЗИОЛОГИЯ ЧЕЛОВЕКА И ЖИВОТНЫХ

## КОАГУЛЯЦИЯ И ЛИЗИС В АСПЕКТЕ ТРОМБОГЕМОРРАГИЧЕСКОГО СИНДРОМА

М. А. Алоева

Институт клинической и экспериментальной неврологии им. П. П. Сараджишвили,  
Тбилиси

Поступила в редакцию 15.04.91

Описаны звенья физиологической системы регуляции агрегатного состояния крови и тканей. Показано, что процессы коагуляции и лизиса единообразно формируют тромбогеморрагический синдром (ТГС) при различных патологических состояниях. ТГС свойствен всем видам живых организмов, от амебы до человека. Дано определение ТГС. Вне- и внутрисосудистые признаки ТГС гистологически определяются в головном мозге, костях свода черепа и висцеральных органах однотипно, формируя патогенез болезни.

С тромбогеморрагическим синдромом (ТГС), или с синдромом расслоения [8, 21—24], сталкивались все, кто изучал свертывание крови. Так, вводя тканевый экстракт в кровоток животным, Шмидт [37] наблюдал истечение несвертывающейся крови, а на вскрытии обнаруживал, что внутри сосудов организма кровь свернулась. На этих данных была создана ферментативная теория свертывания крови, подтвержденная современной наукой. Но и в прошлом веке и до наших дней кровотечение расценивалось как результат активации противоположной самостоятельно регулируемой системы, например фибринолитической. Поэтому ТГС в целом никем не расценивался как детерминированный путь реакций единой системы регуляции агрегатного состояния крови и тканей — системы РАСК [12—14] в условиях той или иной болезни. С появлением новой теории отечественного системогенеза фибринолиз занял соответствующее ему место в качестве одной из подсистем в суперсистеме с единой регуляцией.

Явления, подобные ТГС, описывались у простейших, одноклеточных животных, амёбы, туфельки, гидры, у которых ни крови, ни сосудов,

ни нервов нет [36]. Было замечено, что если в амёбу попадает песчинка, то вокруг инородного тела происходит сгущение протоплазмы, которая затем сокращается и расслаивается на более плотные и более жидкие части, то есть на компоненты различного агрегатного состояния. Экзоцитоз (выталкивание из клетки наружу, во внешнюю среду) песчинки вместе с жидкой частью протоплазмы можно рассматривать как прообраз кровотечения, которое прекращается путем окклюзии ранения более густой щитоплазмой, напоминающей сгусток. Следовательно, сущность явления у простейших точно такая же, как и у многоклеточных животных и млекопитающих: это свойство протоплазмы сгущаться, сокращаться и расслаиваться на компоненты различной плотности.

По данным Гейльбруна [36] сгущение и расслоение протоплазмы простейших организмов предупреждается гепарином, то есть связано с коагуляцией. Значит это явление можно рассматривать как прообраз ТГС, или синдром расслоения. Очень важно, что в настоящее время эволюция свертывающей способности крови из примитивных механизмов доказана в предварительно установленной фило-

генетической последовательности аминокислот в специфических белках путем замены аминокислоты, как маркера ответственности в филогенезе от общего предка, «молекулярные часы» [41]. Оказалось, что фибриноген и фактор XIII эволюционировали из сходного по структуре клеточного белка коагулогена, а тромбин из трипсина. Это позволяет говорить о том, что в соответствии с филогенезом ТГС начинается с клеток тканей больного органа.

Все заболевания, при которых обнаруживается дистрофия тканевых клеток, в неврологии, нейрохирургии, инфекционной и акушерской патологии, онкологии и токсикологии, также как отравление и гипоксия (асфиксия), лейкозы и эритремии, травмы и ожоги, сепсис, экстремальные воздействия, ведущие к патологии, в той или иной степени сопровождаются неспецифическим и универсальным ТГС, так как уплотнение (свертывание) цитоплазмы и кариоплазмы тканевых клеток (их дистрофия) и крови проходит единообразно и начинается с усиления коагуляционных свойств клеточных структур. Внешний и внутренний пути коагуляции неизбежно перекрециваются. Такой общепатологический путь коагуляции описан Зубановым [18] в матричной гипотезе ферментативного каскада.

В результате из тканей заболевшего органа в кровь всасывается тканевый тромбопластин, активируется кровянной тромбопластин, запускающий образование тромбина в крови, а тромбин превращает фибриноген в фибрин. Поэтому, независимо от заболевания, от причины активации коагуляции и ее степени, путь фибриноген-образования схематично может быть детерминирован звенями системы РАСК: 1. орган, начавший коагуляцию, орган «снайпер»; 2. кровь; 3. орган или органы, вовлеченные в коагуляцию, «органы мишени».

Распространенность и глубина ТГС различны. Он может быть местным и генерализованным, острым и хроническим, подострым и молниеносным и даже мигрирующим. Тканевый путь тромбинообразования опережает кровянной во много раз еще благодаря своему свойству — быстроте реакций. Значит, активация коагуляции всегда начинается с клеточных структур боль-

ных тканей (в том числе и клеток крови, если первично поражена кровь), вы свобождением из них тканевого тромбопластина.

Диссеминированное внутрисосудистое свертывание (ДВС) начинается только после всасывания тканевого тромбопластина в кровоток, когда активация коагуляции выявляется в плазме функциональными биохимическими методами. Внесосудистое свертывание в синдромах ДВС не учитывается. ДВС это поздняя стадия ТГС, вторая или третья, бороться с которыми довольно-таки трудно [25, 26].

По мнению ряда исследователей [4, 6, 7, 10, 11, 19, 20, 21, 25, 27, 29] коагуляционно-литическое звено системы РАСК представляет собой интеграцию структуры и функции. Морфофункциональная структура суперсистемы РАСК [12, 13], формирующую гемостатические потенциалы организма, включает в себя следующие четыре части: 1) центральные органы системы — костный мозг, печень, селезенка; 2) периферические образования — кровь, сосуды и все остальные органы и ткани организма; 3) центральные регуляторы центральной нервной системы и железы внутренней секреции; 4) периферические регуляторы — рефлексогенные зоны сосудов, хемо- и барорецепторы, расположенные в различных органах и регионах, которые продуцируют коагуляционнолитические вещества (сосудистая система, тучные клетки, форменные элементы крови).

Любой акт жизнедеятельности, любые воздействия на организм приводят к усилению коагуляционных свойств его составных частей. Но физиологическая система РАСК, подчиняясь главному принципу деятельности функциональных систем [5, 30, 31, 33], на основе обратных связей немедленно избирательно мобилизует различные механизмы для возвращения гемостатических потенциалов к параметрам, оптимальным для данного уровня метаболизма. Так, например, физиологическое внутрисосудистое фибриногенобразование уравновешивается фибринолитическими процессами [36]; на уплотнение жиров организм отвечает возрастанием активности антитромбинов, просветляющей жиры и т. д.



Изучение системы РАСК должно включать методы, выявляющие состояние не только функции (биохимия свертывания крови), но и структуры. К структурным методам изучения системы РАСК мы относим биомикроскопию сосудов конъюнктивы глазного яблока, прижизненную микрокинесъемку коагуляционно-литического процесса как вне сосудов, так и внутри сосудов, гистологию биоптатов и патологическую анатомию, начиная от результатов секции до тончайших методов, доступных при современной технике. Однако принцип структурности в коагулологии почти не применяется, а когда применяется (данные перечисленных выше авторов), то его демонстративные результаты недооцениваются.

Коснемся причин такого упущения. Отсчитывать коагуляцию отсосудистых стенок стали те зарубежные авторы [35], которые возродили термин Вулдридж [40] — «внутрисосудистое свертывание». В тромбогеморрагическом феномене известного канадского ученого Селье [38] внесосудистые звенья ТГС замечены не были. Эти авторы, как и Зербино и Лукасевич [17], подробно описали патологическую анатомию и морфогенез ДВС и стенок сосудов, но за пределы сосудистых стенок не вышли. Эти наблюдения привлекли внимание врачей всех специальностей.

Труд Давыдовского [15] с указанием на наличие внесосудистого тромбообразования в гематоме, как и сам термин, не обратил в свое время должного внимания. Об околососудистом свертывании, о свертывании органических жидкостей в серозных полостях написал Зубаиров [18]; в настоящее время Витте [39] дал частичное обобщение особенностей внесосудистого свертывания и тем подтвердил мысль о необходимости структурного анализа коагуляционно-литического звена системы РАСК. Наблюдения за коагуляцией и колliquацией, за уплотнением и разжижением клеточных структур, за их расслоением на компоненты различного агрегатного состояния, как и патологоанатомические методы, способны дать тончайшую характеристику всем органам и тканям, составляющим систему РАСК.

Начало ТГС, выражющееся дистрофией тканевых клеток первичного пораженного органа, вполне излечимо, так как начальные признаки ТГС обратимы. Поэтому тенденция делить ТГС на патологию микроциркуляции, сладж, ДВС, фибринолиз, а главное отделять от единого процесса вовлеченные в него ткани, как и околосудистое и внесосудистое свертывание крови и тканевой жидкости, не оправдано. Расчленение процесса дает возможность исследовать какой-то отрезок реакций особенно хорошо, но все явление в целом ускользает от наблюдения. Так, целые часы позволяют узнать который час, тогда как их составные части, как бы детально они не были изучены, не скажут, который час.

Ретроспективный анализ патологоанатомических данных помог в выделении клинических признаков ТГС и послужил основанием для построения клинической таблицы тромбогеморрагических признаков [26]. В настоящее время клинические наблюдения и структурный анализ ТГС позволил разработать более обширную таблицу клинических признаков ТГС [2], которая может помочь практическим врачам своевременно, при критических состояниях до лабораторного анализа, начать гепаринотерапию.

Кроме тромбозов и кровотечений, к клиническим признакам ТГС мы относим следующие симптомы: оглушение, сопор, кома, коллапс, шок, моно-, гемипарезы и гемиплегии, парезы и параличи краинальных нервов, афазия, генерализованные и фокальные судорожные припадки, эпилептический статус, горметонические судороги, гипоталамические нарушения, отек головного мозга, микроциркуляторные расстройства (агрегация форменных элементов, микротромбоэмболия), повышение температуры (фибринолитические и протеолитические процессы характеризуются местной или общей пирогенной реакцией), озноб, боли в мышцах, цианоз, одышка, дыхательная недостаточность, вымывание кальция из дистрофически измененных костей из-за нарушения их питания в результате жировой эмболии и окклюзии сосудов, питающих кости. К признакам ТГС относятся также воспаление, пневмония, амилоидоз (внесосудистое свертывание

фибриногена), гиалиноз, склеродермия, дистрофические изменения во внутренних органах, острые язвы желудочно-кишечного тракта, пролежни, почечные симптомы (белок в моче, олигурия, цилиндрурия, макро- и микрогематурия), кровоизлияния в ткани органов, в кожу, в слизистые, петехиальная сыпь, выпотная жидкость в полостях, кровотечения некоторого вида (аррозии, зияние сосудов, даже с тромбом внутри, без одновременного хирургического вмешательства служат противопоказанием к назначению гепарина).

Все вышеперечисленные признаки ТГС сопутствуют разным болезням и не обладают специфичностью; от них зависит патогенез болезни. Для диагноза же врач ищет признаки специфические, характерные для того, или иного страдания. Однако лечить следует обе стороны процесса. Одно этиотропное лечение может снять все сопутствующую тромбогеморрагическую симптоматику, например акушерские мероприятия во время акушерской патологии. Но и патогенетическое неспецифическое лечение при правильно разработанной схеме способно привести к выздоровлению, когда признаки ТГС единственная симптоматика болезни. Таковы болезнь Шейлейна-Геноха [27], неспецифический язвенный колит [28].

ТГС при многих страданиях купировать невозможно, если действие этиологического фактора не остановлено. Так, прежде чем лечить ТГС, вызванный кровопотерей, необходимо остановить кровотечение из зияющих сосудов, прекратить инфузию крови, введение которой привело к ТГС, пропасти акушерские мероприятия — если ТГС есть результат акушерской патологии и т. д. Разработка методических указаний при этиотропном и патогенетическом лечении, схем гепаринотерапии, деллотерапии (при помощи антикоагулянтов медицинской пиявки) и других мероприятий — задача ближайшего будущего.

Учитывать клинику ТГС следует еще и потому, что многие фармакологические препараты активируют коагуляцию. Активируют свертывание крови в той или иной мере введение крови, парентеральное питание, гормональное и антибактериальное лечение.

2. Серия биологическая, т. 18, № 6

ние, химиотерапия, лучевая терапия, рентген, наркоз, хирургические вмешательства, соприкосновение крови с чужеродной поверхностью и т. д.

Итак, ТГС есть результат активации коагуляции и образования тромбина под влиянием тканевого и кровяного тромбопластина. Гепарин и многие продукты его биосинтеза обладают антитромбиновым и антитромбопластиновым действием. Однако для решающего эффекта гепарина необходимо выработать схему его применения при каждом заболевании. Так, опыт нейрохирургического отделения Института неврологии им. П. М. Сарджешивили позволил нам разработать различные схемы гепаринотерапии при острой закрытой черепно-мозговой травме с целью купирования ТГС [2, 32].

Гепарин бывает необходим и в условиях, при которых инъекции затруднительны или нежелательны. Мазь, таблетки, глазные капли с низкомолекулярным гепарином, способным проникать сквозь кожу и слизистые, прошлиность не выпускает. Но есть выход, позволяющий обойтись без инъекций гепарина, — это деллотерапия, терапия при помощи медицинской пиявки. Секрет медицинской пиявки (м. п.) содержит набор компонентов, целебных при ТГС. В нем обнаружен мощный антитромбин, ингибиторы агрегации тромбоцитов, трипсин, химотрипсин, плазмина, контактной фазы коагуляции, он содержит липополитический фермент, особенно полезный при жировой эмболии.

В настоящее время аминокислотный состав и первичная структура гирудина, бделлина, иглина и других ферментов секрета слюнных желез м. п., их антикоагулянтные и другие целебные свойства стали хорошо известны [9, 34], и интерес к лечебному действию м. п. значительно повысился. После биохимической расшифровки антикоагулянтного действия (способного заменить гепарин) секрета слюнных желез м. п. кровоточивость, септические и другие состояния стали рассматриваться как противопоказания к деллотерапии. Это суживало спектр ее применения, ограничивая заболевания строго тромботического характера, и начавшееся

оживление деллотерапии оказалось недостаточным.

Между тем, Захарьян [16] рекомендует применять м. п. при носовых и горловых кровотечениях различной этиологии, при кровохарканье туберкулезного и застойного характера и объясняет эффективность такого лечения «отвлекающим» действием. Оставались необъясненными и наблюдения целебного действия деллотерапии при кровоизлияниях в мозг, травмах, особенно черепно-мозговых, септических и других состояниях, которые одновременно с расшифровкой антикоагулянтных свойств секрета слюнных желез м. п. стали относить к противопоказаниям к их применению. Новые знания об эффективности гепарина при ТГС приводят к мысли, что показания к деллотерапии будут значительно расширены за счет диагностики тромбогеморрагических осложнений, при которых инъекций хотелось бы избежать.

Описанная выше клиника ТГС отражает и функцию и структуру патоло-

гии системы РАСК, динамику процесса и эффективность лечения. Поэтому наблюдения за клиникой ТГС очень важны. Полней раскрыть клиническую картину ТГС помогает ретроспективный взгляд на коагуляционные изменения в системе РАСК. В процессе изучения системы РАСК при различных неврологических и нейрохирургических заболеваниях нами проведено патологоанатомическое исследование поврежденных и неповрежденных костей черепа, тканей головного мозга, внутренних органов (легких, миокарда, печени, почек, селезенки, кишечника), краинильных нервов и седалищного нерва в эксперименте. Помимо секционного материала, изучены биоптаты — фрагменты костей свода черепа, удаленные во время нейрохирургических вмешательств. Патоморфологические наблюдения позволили обобщить структурные проявления ТГС (см. таблицу).

Таблица

ПАТОЛОГИЧЕСКИЕ (СТРУКТУРНЫЕ) ПРОЯВЛЕНИЯ ТГС,  
НАБЛЮДАЕМЫЕ ОДНОВРЕМЕННО

Симптомы, указывающие на преобладание явлений тромботического характера

Отек, деструкция (расложение) сосудистых стенок. Отеки, полнокровие, стазы и агрегация форменных элементов в различных участках сосудистой сети. Сепарация сгустков от плазмы в микроциркуляторном русле, в сосудах, питающих сосуды, в сосудах, питающих кости свода черепа, окклюзии, жировая эмболия. Гиалиновые мембранны и фибрин в просветах альвеол, микро-, макротромбозы и эмболии в крупных и мелких сосудах артериального и венозного русла. Внесосудистое отложение фибринса, амилоидоз, гиалиноз, дистрофические изменения в тканях внутренних органов. Острые эрозии и язвы желудочно-кишечного тракта. Внесосудистое фибринонное образование и тромбообразование в интракраниальных гематомах, контузионных очагах, в воспалительной жидкости, фиброз. Воспаление (пневмония и др.), спайки, неврома. Внутрисосудистое и внесосудистое расслоение крови, лимфы, тканевой жидкости и самих тканей. Глыбки фибринса на фоне жидкой крови в разных участках сосудистой сети. Фибринонидный некроз стенок сосудов в головном мозгу и во внутренних органах, пролежни. Остеопорозность костей черепа и резорбция границ каналов остеона. Сморщивание и фрагментация нервных волокон, гомогенизация и мелкозернистый распад осевых цилиндров. Острое набухание и сморщивание нейронов, ишемический нейрон, зернистый распад нисслевского вещества, дегенерация и атрофия первого волокна.

Симптомы, указывающие на преобладание явлений геморрагического характера

Кровоизлияния на коже, слизистых и в тканях от разрывов, диапедезные, от аррозий сосудов (окклюзионные ампутации сосудов, питающие сосуды). Имбибция тканей кровью. Эндо- и периваскулярные кровоизлияния, плазматизация и запусте-

ие сосудов. Ишемия тканей, тромбогеморрагический инфаркт мозга, травматические интракраниальные гематомы и субарахноидальные кровоизлияния. Выпотная жидкость в полостях. Отечная жидкость.

В клетках: вакуолизация, колликвация, гидропическая дистрофия, протеолитические изменения (хроматолиз нисслевской субстанции, плазмолизис, кариолизис).

Клинические, функциональные и структурные наблюдения за динамикой ТГС при различных заболеваниях позволили Мачабели [8] разработать дефиницию ТГС. На современном уровне знаний она звучит так: ТГС — это симптомокомплекс, сопровождающий патологию и ведущие к ней экстремальные воздействия, обусловленный универсальным и неспецифическим свойством крови, лимфы, тканевой жидкости, клеточных, межклеточных структур и тканей обратимо и необратимо сгущаться вследствие активации их способности к коагуляции и в результате ретракции расслаиваться на компоненты различного агрегатного состояния.

Само наименование синдрома основано на сочетании двух слов — греческого (*thrombo/des* — сгустившийся) и латинского (*haemorrhagia* — кровотечение) происхождения. На первое место поставлены отклоняющие от нормального состояния коагулирующие влияния, на втором — приспособительные — антикоагулирующие. Свойство составных частей организма сопровождать нарушения физиологических условий (внутренней и внешней среды)

и «сгущением» (коагуляция) и расслоением (лизис) названо синдромом потому, что его характеризует сочетание связанных между собой признаков болезни — клинических, патоморфологических, биохимических и др.

Внесосудистые звенья ТГС можно разделить на три вида: 1) клеточное внесосудистое свертывание; 2) локализованное внесосудистое свертывание; 3) генерализованное внесосудистое свертывание. Стадии ТГС патологоанатомически неопределены, так как повреждение разных регионов в одном и том же органе различно.

Таким образом, данные литературы, в том числе и результаты наших клинических и экспериментальных исследований, свидетельствуют о том, что процессы коагуляции и лизиса единственно формируют ТГС при различных патологических состояниях. ТГС свойствен всем видам живых организмов от амебы до человека. Появилась необходимость лечения сопутствующих разным болезням коагуляционнолитических нарушений с целью пресечения тромбогеморрагических реакций.

## ЛИТЕРАТУРА

1. Алоева М. А. Сообщения АН ГССР, 122, 2, 421—424, 1986.
2. Алоева М. А. Тромбогеморрагический синдром при острой закрытой черепно-мозговой травме (диагностика, патогенез, клиника, терапия), Канд. дисс. Тбилиси, 1987.
3. Алоева М. А., Ониани А. А. Сообщения АН Грузии, 140, 3, 625—628, 1990.
4. Альфонсов В. В. Роль метаболических процессов в регуляции системы гемостаза, Автoref. докт. дисс., Фрунзе, 1973.
5. Анохин П. К. В кн.: Системогенез, «Медицина», М., 1980, 7—25.
6. Баркаган З. С. Геморрагический заболевание, и синдромы, «Медицина», М., 1980.
7. Баркаган З. С. Патол. физiol. и экспер. терапия, IV, 48—54, 1960.
8. БМЭ. Тромбогеморрагический синдром, «Сов. энциклопедия», М., 1985, 25.
9. Баскова Н. П., Юсупова Г. Н., Никонов Г. И. Биохимия, 49, 4, 676—678, 1984.
10. Бочоришвили В. Г., Мачабели М. С., Махвидадзе Н. М., Бохуа А. А. II Всес. съезд гематол. и трансфизиол., Тез. докл., Львов, 1985, 461—462.



11. Ванециан А. В. О патогенезе, лечении и профилактике тромбогеморрагического синдрома в родах, Автореф. канд. дисс., Тбилиси, 1975.
12. Гаврилов О. К. Пробл. гематол. и перел. крови, 7, 3—8, 1979.
13. Гаврилов О. К. В кн.: Проблемы и гипотезы в учении о свертывании крови, «Медицина», М., 1981, 11—38, 120—123, 265—270.
14. Гаврилов О. К. В кн.: БМЭ, «Сов. энциклопедия», М., 1984, 23, 12—16.
15. Давыдовский И. В. Арх. патол., 9, 6—14, 1957.
16. Захарьян Г. А. Клинические лекции, 2-е изд., М., вып. I, 1981.
17. Зербино Д. Д., Лукасевич Л. Л. Гематол. и трансфузiol., 8, 18—21, 1985.
18. Зубаиров Д. М. Биохимия свертывания, Медицина, М., 1978, 176 с.
19. Зубаиров Д. М., Еналеева Д. М., Надырова Г. Г. Тромбогеморрагический синдром при менингококковой инфекции, Татарское книж. изд-во, Казань, 1985, 113.
20. Кузник Б. И., Михайлов В. Д., Альфонсов В. В. Тромбогеморрагический синдром в онкогинекологии, Изд. Томск. уни-та, Томск, 1983, 168 с.
21. Мачабели М. С. Вопросы клинической коагулологии, АН ГССР, Тбилиси, 1962, 295.
22. Мачабели М. С. IX Пленум правления Всес. о-ва хирургов, Тез. докл., Тбилиси, 1966, 38—41.
23. Мачабели М. С. Сов. медицина, 11, 65—72, 1982.
24. Мачабели М. С. II Всес. конф. «Поражение сосудистой стенки и гемостаз», Тез. докл., Минск, 1983, 233—235.
25. Мачабели М. С., Крымский Л. Д. Анестезиол. и реаниматол., 4, 68—73, 1984.
26. Методические рекомендации. Диссеминированное внутрисосудистое свертывание крови (этнология, патогенез, диагностика, клиника, терапия), МЗ СССР, Тбилиси, 1981.
27. Моргунова М. А. Состояние гемокоагуляции при болезни Шенлейна—Геноха у детей и влияние патогенетической терапии на течение и исход заболевания, Автореф. канд. дисс., Волгоград, 1978.
28. Мустяц А. П. Тромботические и геморрагические осложнения после операций по поводу неспецифического язвенного колита, Автореф. канд. дисс., Харьков, 1984.
29. Патеюк В. Г. Тромбогеморрагический синдром при некоторых инфекционных заболеваниях и его лечение, Автореф. докт. дисс., М., 1984.
30. Петленко В. П. Философские вопросы патологии, «Медицина», Л., 1968.
31. Саркисов Д. С. Клин. медицина, 7, 9—18, 1980.
32. Сигуа О. А., Алоева М. А. Диагностика и коррекция нарушений коагулационно-протромбинической системы у больных с острой закрытой черепно-мозговой травмой. Методические рекомендации, МЗ ГССР, Тбилиси, 1986.
33. Судаков К. В. Общая теория функциональных систем, «Медицина», М., 1981.
34. Шаев А. И. Фармация, 4, 72—77, 1985.
35. Hardaway R. M., Mc Kay D. G. Rev. Surg. (Phil.), 20, 5, 297—328, 1963.
36. Heilbronn L. The dynamics of living protoplasm, Acad. Press, N. Y., 1956.
37. Schmidt A. Die Lehre von den fermentativen Gerinnungsscheinungen in den eiweißartigen thierischen Körperflüssigkeiten, Dorpat, 1887.
38. Selye H. Thrombohemorrhagic phenomena Illinois, Springfield, 1966.
39. Witte S. Behring Inst. Mitt., 73, 13—28, 1983.
40. Wooldridge L. Proc. Roy. Soc., 40, 243, 134—135, 1886.
41. Zimmetgmann E. Behring Inst. Mitt., 73, 1—12, 1983.

## კოაგულაცია და ლიზისი თრომბოჰემორრაგიული სინდრომის ასპექტზე

მ. ალოევა

ქ. საჩავაშვილის სახელობის კლინიკური და ექსპერიმენტული ნეკროლოგიის  
ინსტიტუტი, თბილისი

რეზიუმე

ნაშრომში აღწერილია სისხლისა და  
ქსოვილების აგრეგატული მარტენიტე-  
ბელი ფიზიოლოგიური სისტემის სხვადა-  
სხვა რეალი. ნაწევნებია, რომ კოაგულა-  
ციის და ლიზისის პროცესები სხვადასხვა  
პათოლოგიური მდგომარეობისას ერთგვა-  
როვნად ყალიბებენ თრომბოჰემორრაგიულ  
სინდრომს (თქს). თქს ახასიათებს ცო-  
ცხალ თრგანიზმთა ყველა სახეობას, ამე-  
ცხალ თრგანიზმთა ყველა სახეობას, ამე-

ბიდან დაწყებული ადამიანის ჩათვლით  
ამასთან მოცემულია თქს განსაზღვრება.  
თქს სისხლძარღვთა გარე და შიდა ნიშ-  
ნები ჰისტოლოგიურად ერთგვაროვნათ  
ვლინდება თავის ტვინში, ქალას სარქვლის  
ძვლებში და ვისცერალურ ორგანოებში,  
რაც განაპირობებს დავადების პათოგე-  
ნეზს.

## COAGULATION AND LYSIS IN THROMBOHAEMORRHAGIC SYNDROME

M. ALOEVA

P. Sarajishvili Institute of Clinical and Experimental  
Neurology, Tbilisi

### Summary

The article describes different links of physiologica regulation system of blood and tissue aggregation state. It is shown that coagulation and lysis processes from thrombohaemorrhagic syndrome (THS) in various pathologic states. THS is common in all living organism from amoeba

to human beings. The definition of THS is presented. Certain extra-and intra-vascular signs of THS are histologically detected in the brain, cranial bones and visceral organs alike as forming the pathogenesis of disease.

УДК 591.88:599.742.7:611.018.8:611.81

ГИСТОЛОГИЯ

## УЛЬТРАСТРУКТУРНАЯ ОРГАНИЗАЦИЯ ГЛИАЛЬНЫХ КЛЕТОК НОЦИПТИВНЫХ СТРУКТУР ГОЛОВНОГО МОЗГА ПРИ БОЛЕВОМ РАЗДРАЖЕНИИ

Э. И. Дзамоева, Г. И. Кикнадзе, И. Л. Лазриев

Институт физиологии им. И. С. Бериташвили АН Грузии

Поступила в редакцию 24.05.91

Изучена ультраструктурная организация глиальных клеток главного сенсорного ядра тригеминального нерва (СТЯ) и дорсолатерального участка центрального серого вещества (ДЛЦ) головного мозга кошки. В изученных участках мозга доминируют разные виды астроцитарной глии; в частности, для СТЯ характерны астроциты протоплазматического типа, а для ДЛЦ — фиброзного. Причем в ДЛЦ поверхность тел малых нейронов практически изолирована длинными фиброзными отростками. Болевое раздражение (стимуляция верхних клыков электрическим током 0,5—2 мА в день несколько раз в течение 7 дней) вызывает гиперплазию астроцитарных клеток. В ДЛЦ утолщается астроцитарная капсула вокруг нейронов, в СТЯ же заметно увеличивается число слоев протоплазматических астроцитарных отростков вокруг аксонных терминалей и синаптических комплексов. Поскольку использованные параметры болевого раздражения не вызывают деструктивных изменений в нервных элементах, описанная реакция глиальных клеток должна являться отражением активации изученных мозговых структур.

Изучение феномена боли — одной из центральных проблем нейробиологии — не представляется возможным без установления нейроморфологической характеристики структур мозга, участвующих в проведении и обработке болевой импульсации.

В данной работе исследовано одно

из главных звеньев ноцицептивных структур — главное сенсорное ядро тройничного нерва; для сравнения изучали и дорсолатеральный участок центрального серого вещества (ДЛЦ), причисляемый некоторыми авторами [1, 2] к ноцицептивным структурам.

### МАТЕРИАЛ И МЕТОДИКА

Опыты ставились на половозрелых кошках (3 случая). Животным, наркотизированным интраперitoneальным введением нембутала (10 мг/кг) и обездвиженных тубокуарином, в верхние клыки вживлялись электроды. Затем в течение 7 дней, в день несколько раз, клыки раздражали электрическим током пороговой силы (0,5—2 мА). При наступлении боли животное двигало нижней челюстью или имело место заметная фибрillation мышц шеи. Раздражение длилось до

прекращения этих проявлений (опыты ставились в лаборатории нейрофизиологии боли Института физиологии им. И. С. Бериташвили). На седьмой день сразу после прекращения раздражения головной мозг наркотизированного нембуталом (40 мг/кг) животного фиксировали перфузии через сонные артерии 2,5%-ного раствора глутаральдегида на фосфатном буфере. Края операционных ран обрабатывались 0,5%-ным раствором новокаина. Через полчаса после перфузии вырезали ма-

ленькие кусочки изучаемых структур мозга и на 2 ч погружали их в 1,5%-ный раствор четырехокиси осмия. В дальнейшем материал обраба-

тывался по общепринятой методике электронномикроскопического исследование. Контролем служил мозг здравствующих животных (3 случая).

## РЕЗУЛЬТАТЫ ИССЛЕДОВАНИЙ И ИХ ОБСУЖДЕНИЕ

В исследуемых участках мозга глиальные клетки по структурной организации не отличаются от аналогичных клеток других отделов центральной нервной системы, поэтому мы не останавливаемся на их подробной характеристике. Наше внимание привлекла разнородность астроцитарной

ки таких астроцитов имеют неравномерные очертания и, подобно телу клетки, выделяются склонностью организованным. В телах и отростках только изредка встречаются тонкие, короткие пучки глиофibrill. Что же касается ДЛЦ, то здесь подавляющее число астроцитов относится к фибринозно-

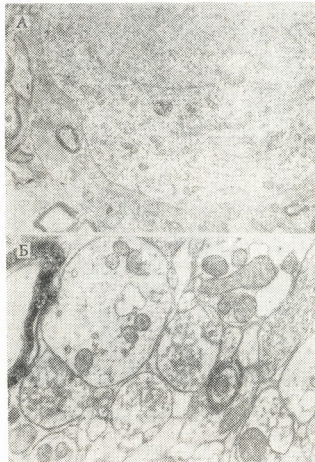


Рис. 1. А—ДЛЦ: большая часть перикариона малого нейрона окружена мощными отростками фиброзного астроцита. х 17 000; Б—СТЯ: аксонные терминалы, окруженные астроцитарными отростками. х 30 000

глии в СТЯ и ДЛЦ. В указанных участках доминируют разные виды астроцитарной глии. В частности в СТЯ преобладают астроциты протоплазматического типа. Тонкие отрост-

му типу. Последние характеризуются обилием глиофibrill как в отростках, так и в перикароне, где их мощные пучки буквально вытесняют на периферию и так малочисленные ор-

ганоиды. Длинные отростки фиброзных астроцитов, заполненные глиофибриллами, занимают значительную площадь нейропиля.

В изученных областях мозга, наряду с разнородностью астроцитарной глии, различаются и глиа-нейронные отношения. Общеизвестно, что в центральной нервной системе астроцитарные отростки часто прилежат к по-

образующие аксо-соматические синапсы. Интересно отметить, что ~~подобная~~ изоляция наблюдается преимущественно вокруг тел малых нейронов. К перикариону же крупных нейронов чаще прилежат тела астроцитов, выступающие здесь в качестве сателлитов, причем в ДЛЦ в этой роли они встречаются гораздо чаще, чем олигодендроциты. Последние, даже занимая

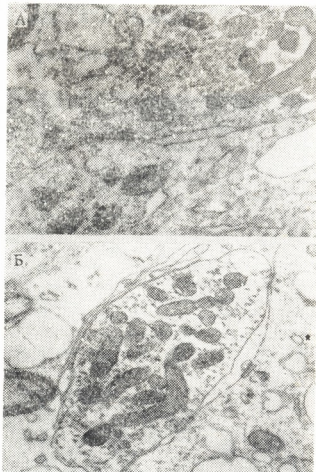


Рис. 2. А,Б — СТЯ: расширение межклеточной щели в области синаптического контакта. х А—41000,  
Б — 39 000

верхности тел нейронов; в ДЛЦ также по окружности перикариона расположено большое число астроцитарных отростков (рис. 1а). Причем крупные отростки фиброзных астроцитов, прилежащие к телам нейронов, настолько длинны, что часто несколько таких отростков изолируют почти всю поверхность нейронов, как бы образуя вокруг них капсулу. В капсулу включены и редкие аксонные терминали,

перинейрональное положение, как правило, отделены от нейрона тонкой прозрачной астроцитарных отростков.

В СТЯ тонкие отростки протоплазматических астроцитов, располагаясь на теле нейрона, не образуют вокруг него вышеописанную капсулу, хотя часто длина нейроглиального контакта также довольно значительна. Отростки протоплазматических астроцитов часто изолируют от окружающих

структур как лежащие в нейропиле аксонные терминалы, так и синаптические комплексы, причем изоляция осуществляется чаще всего одним слоем отростка (рис. 1б). В отличие от ДЛЦ сателлитом нейронов здесь являются не астроциты, а олигодендроциты; только изредка между ними и нейронами можно заметить тонкий астроцитарный отросток.

На применяемое нами болевое раздражение реагируют все типы глиальных клеток, однако особенно заметные

астроциты, сопутствующее, по нашему мнению, реакции терминалей афферентных волокон. В частности, болевое раздражение вызывает увеличение общей длины активного контакта пре- и постсинаптических мембран, увеличивается число активных зон в одном синапсе. Однако, в отличие от контрольного материала, заметно расстет ширина межклеточных щелей между неактивными пре- и постсинаптическими мембранами, и в некоторых случаях в эти пространства проника-



Рис. 3. А—СТЯ: увеличение числа слоев из астроцитарных отростков вокруг синаптического комплекса.  $\times 35\ 000$ ; Б—ДЛЦ: гипертрофия астроцитарных отростков.  $\times 30\ 000$

изменения наступают в астроцитах. В частности, в отличие от контрольного материала, в обоих изучаемых образованиях мозга наблюдается групповое расположение астроцитов. Цитоплазма некоторых астроцитов заметно набухает, причем степень набухания варьирует в широких пределах. В СТЯ весьма интересно и поведение

и отростки астроцитов (рис. 2а, б). Весьма вероятно, что таким образом астроциты в какой то мере «мешают» созданию более многочисленных активных контактов, уменьшая приток афферентной болевой импульсации и обеспечивая локальный характер ее распределения. Это предположение тем более вероятно, что, как было ска-

зано выше, такая реакция астроцитов наблюдается в СТЯ, которое, по сравнению с ДЛЦ, получает большую болевую аfferентацию из зубов [9]. В СТЯ, по сравнению с контрольным материалом, заметно меняется и характер изоляции синаптических компонентов от окружающих нервных элементов. В частности, глиальная капсула после болевого раздражения ста-

трансмиттера около активных синаптических зон [7, 10].

Определенные сдвиги наступают и в фиброзных астроцитах ДЛЦ — в них заметно увеличивается число глиофибрилл, отростки становятся мощнее (рис. 3б), соответственно утолщается астроцитарная капсула вокруг сомы малых нейронов.

Как в СТЯ, так и в ДЛЦ под

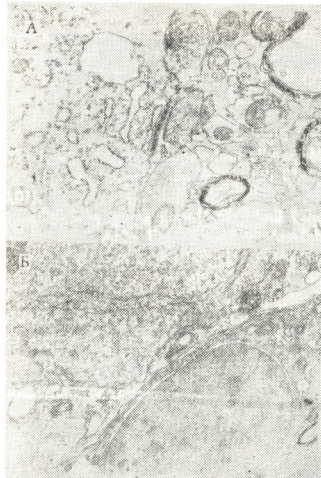


Рис. 4. А — ДЛЦ: прилежание астроцитарного отростка к перикариону нейрона в области локализации подповерхностной цистерны.  $\times 35\,000$ ; Б — ДЛЦ: реактивный олигодендроцит.  $\times 23\,000$

новится многослойной (рис. 3а). Хотя многослойная астроцитарная капсула, изолирующая нервные элементы, встречается в некоторых структурах мозга и интактных животных [3, 4, 8], большинство исследователей [5, 6] рассматривает гиперплазию глиальных отростков как их ответную реакцию на различные воздействия. Гиперплазия астроцитов, кроме барьераной функции, может способствовать и регуляции концентрации нейро-

влиянием болевого раздражения заметно увеличивается число нейронов с подповерхностными цистернами; последние чаще располагаются в области контакта нейрона с отростком астроцита (рис. 4а). Интересно отметить, что подповерхностные цистерны, как правило, встречаются в нейронах с вакуолизированной цитоплазмой, т. е. в нейронах, реагирующих на болевое раздражение. Означенные сдвиги, по нашему мнению, являются



отражением компенсаторно-приспособительных реакций в системе глия-нейрон.

В изучаемых областях мозга олигодендроциты однотипно реагируют на болевое раздражение. В них увеличивается число плотных тел с включениями, возрастает число микротрубочек и митохондрий; отмечается заметное расширение межмембранных пространства ядерной оболочки, набухание профилей гранулярной эндоплазматической сети (рис. 46). Измененные олигодендроциты часто соседствуют с миelinовыми нервными волокнами.

Болевое раздражение вызывает некоторое увеличение числа микро-глиоцитов, однако ни одна из этих клеток не находится в стадии фагоцитоза.

В наших экспериментах мы не наблюдали каких-либо деструктивных изменений ни в нейронах, ни в межнейрональных контактах. И вышеописанная реакция глиальных клеток, по нашему мнению, должна являться отражением изменения ионного состава межклеточной жидкости, вызванного активацией специфических болевых афферентных волокон.

## ЛИТЕРАТУРА

1. Абзанидзе Е. В., Бутхузи С. М., Бернашвили В. Г., Бегеладзе Л. А. Нейрофизиология, 22, 380—387, 1990.
2. Абзанидзе Е. В. Автореф. докт. дисс., Тбилиси, 1990.
3. Дзамоева Э. И., Лазриев И. Л., Мхайдзе Е. Г., Сванидзе И. К., Хитаршвили М. Б. В кн.: Функции нейроглии, Тбилиси, «Медицина», 1987, 289—294.
4. Guldner F. H. Cell Tiss. Res., 165, 4, 509—544, 1976.
5. Kruger L. J., Maxwell D. S. J. Anat., 125, 2, 247—270, 1969.
6. Maxwell D. S., Kruger L. J. J. Cell Biology, 23, 2, 141—156, 1965.
7. Orkand R. K. In: Neuron-glia cell interrelationships. Berlin, Springer - Verlag, 1982, 147—158.
8. Price J. L., Powell T. P. J. Cell Sci., 7, 1, 125—156, 1970.
9. Shigenaga Y., Suemune S., Nishimura M. J. J. Comp. Neurol., 251, 3, 299—316, 1986.
10. Spacek J. I. Anat. Embryol., 261, 2, 245—252, 1985.

## თავის რჩების ნოტიციატური სტრუქტურების გლობური

### უკარებების ულტრასტრუქტურული ორგანიზაცია

მთკიცნეული გაღირდიანისას

გ. ძავიავა, გ. კიბარიძე, ი. ლაჭიძიავი

საქართველოს მეცნიერებათა ფალების ი. ბერიძეშვილის სახელობის ფიზიოლოგიას  
იმსტიტუტი, თბილისი

რეზიუმე

შესწავლილია კატის თავის ტვინის სამწვერა ნერვის მთავარი ბირთვისა და ცენტრალური რუხი ნივთიერების დორსოლა-ტერალური უბნის ნეიროგლიური უჯრედების ულტრასტრუქტურული ორგანიზაცია. ტვინის ამ უბნებში დომინირებს ასტროციტების სხვადასხვა ტიპი. კერძოდ, მთავარი სენსორული ბირთვისათვის დამახასიათებელია პროტოპლაზმური ასტროციტები, ცენტრალური რუხი ნივთიერების დორსოლა-ტერალური უბნისათვას კი — ფიბროზული. მასთანავე ამ უბნის მცირე ზომის ნეირონთა სხეული იზოლარებულია ფიბროზული ასტროციტების გრძელი მორჩებით. მტკიცნეული გალიზიანება (ზედა ეშვების სტიმულაცია 0,5—2 mA ელექტრული დენიტ 7 დღის გან-

მავლობაში დღეში რამდენერმე) იწვევს ასტროციტების ჰიპერპლაზიას. ცენტრალურ რუხ ნივთიერებაში აღვალი აქვენ ნეირონების გარშემო არსებული ასტროციტული მორჩების გასქელებას, მთავარ სენსორულ ბირთვში კი მატულობს პრე-სინაფსური ტერმინალებისა და სინაფსური კომპლექსების გარშემო არსებული პროტოპლაზმური ასტროციტების მორჩების რაოდენობა. რაღაც ცდაში ჩვენ მიერ გამოყენებული მტკიცნეული გალიზიანებას არ იწვევს ნერვული ელემენტების დესტრუქციულ ცვლილებებს, გლური უჯრედების რეაქცია უნდა ასახვდეს ტვინის შესწავლილი სტრუქტურების ქრივაციის.

# THE ULTRASTRUCTURAL ORGANIZATION OF GLIAL CELLS OF THE BRAIN'S NOCICEPTIVE STRUCTURES DURING PAINFUL STIMULATION

E. DZAMOEV, G. KIKNADZE, I. LAZRIEV

I. Beritashvili Institute of Physiology, Georgian Academy of Sciences, Tbilisi

## Summary

The ultrastructural organization of the glial cells of the main sensory trigeminal nucleus (STN) and the dorsolateral central gray matter (DLCG) of the cat's brain was studied. In this structures was dominated various types of astrocytes; in STN protoplasmatic astrocytes were apparent and in DLCG-fibrous ones. In the DLCG the pericaryon of the small neurons was surrounded by the long processes of the fibrous astrocytes. At the painful stimulation of the fangs by the 0.5 — 2 mA stimuli during 7 days the

hyperplasia of astrocytes was observed — in DLCG the perineuronal astrocytic processes were enlarged, while in STN the number of the thin processes surrounding the axon terminals and synaptic arrangements was increased. At the given parameters of stimulation in the neurons and synapses no degeneration changes were observed. Therefore we suggested that described glial reaction was induced by the activation of the neural elements of the nuclei studied.

К 612.821.6

ФИЗИОЛОГИЯ ЧЕЛОВЕКА И ЖИВОТНЫХ

## ПОВЕДЕНЧЕСКИЕ КОРРЕЛЯТЫ УТОМЛЕНИЯ В ПРОЦЕССЕ ЭАЛИЗАЦИИ УСЛОВНОРЕФЛЕКТОРНОГО ПОВЕДЕНИЯ

Я. Сандодзе

Институт физиологии им. И. С. Бериташвили АН Грузии, Тбилиси

ступила в редакцию 22.04.92

Описаны экспериментальные данные процесса утомления, как следствия информационных перегрузок, реализованных на модели условнорефлекторного поведения, имитирующей условнорефлекторную компоненту операторской деятельности (опыты проводились на крысах линии Вистар). Показано, что по степени устойчивости ЦНС к информационным перегрузкам, в данных условиях эксперимента, крысы делятся на три группы: со слабой, промежуточной и высокой степенью развития саморегулирующейся системы. Динамика изменений поведенческих показателей имеет волнообразную природу. После третьей волны улучшения качества работы наступает полное выпадение наличной условнорефлекторной деятельности.

Проблема устойчивости центральной нервной системы к информационным перегрузкам, диагностирование и оценка состояния приобретает не только обиходную, но и экологическую острую социальную актуальность.

Смоделировать управляемый, поддающийся формализации процесс информационного воздействия на экспериментальных животных можно лишь в ловушках определенным образом организованных опыта.

изованного эксперимента условнорефлекторной деятельности [3, 4, 5].

Цель проводимых исследований — выработка адекватных критериев, определяющих и прогнозирующих функциональное состояние человека-оператора в реальном масштабе времени методом бесконтактной диагностики, основанной на анализе поведенческих показателей, расчлененных на отдельные действия.

### МАТЕРИАЛ И МЕТОДЫ ИССЛЕДОВАНИЯ

Опыты выполнены на 25 самцах крыс линии Вистар в возрасте 75–80 дней.

Лабиринт, в котором работают животные, представляет собой конструкцию, состоящую из трех отсеков, отстоящих друг от друга на 120° и соединенных между собой центральной площадкой, имеющей вид правильно-шестиугольника, со стороной в 2 см. Стенки лабиринта выполнены из оргстекла высотой в 20 см. С торцовой стороны каждого отсека установлены зрительные раздражители. Пол лабиринта собран из металлических прутьев с промежутками в

6 мм. Каждый отсек и центральная площадка гальванически развязаны друг от друга, следовательно напряжение к ним может подаваться раздельно. На боковых плоскостях отсеков вмонтированы фотостворки с предварительными усилителями для регистрации и ввода в ЭВМ информации о местонахождении и передвижении животного. Эксперимент полностью автоматизирован и управляется с помощью микро-компьютера «Электроника ДЭ-28» [5]. В начале опыта, до угашения ориентировочно-исследовательской реакции, животных на 20–30 мин помещают в лабиринт, после

чего приступают к обучению. На условный раздражитель (вспышки света с частотой 1 имп/с и длительностью 400 мс) крыса в течение трех вспышек должна успеть перебежать в тот отсек, откуда подается сигнал. В противном случае после третьей вспышки, параллельно со светом с той же частотой и длительностью, производится наказание в виде ударов электрического тока с силой 1,5—2 мА. Ток подается везде, кроме того отсека, куда должна переместиться крыса. Если крыса вошла в нужный отсек, наказание прекращается. В случае нерешения задачи после 5 ударов тока прекращается наказание и наступает отдых. В зависимости от поставленной задачи, продолжительность отдыха может быть постоянной от запуска к запуску или случайной. В данном случае время отдыха было постоянным и равнялось 5 с. Перемещение животных в лабиринте происходит по двум, им же выбранным, отсекам. Правильным решением задачи мы считаем перебежку животного в безопасный отсек лабиринта до наступления наказания током. Перемещение в безопасный отсек после ударов тока определяем как решение задачи с коррекцией. Переход животно-

го в третий отсек (куда не поддается условный раздражитель), застывание или подпрыгивание в стартовом (для данного забега) отсеке без выхода из него считаем нерешением задачи. Во время обучения, животное отрабатывает от 50 до 100 забегов с возвращающей нагрузкой. После упрочнения условных рефлексов приступали к воздействию информационными перегрузками. Перегрузка реализовалась пачками той же системы условных и безусловных раздражителей, но с увеличением количества забегов до 200 в одном эксперименте.

Эксперименты с высокой точностью повторяемости условий опыта воспроизводились каждый день, до полного угнетения условнорефлекторной деятельности. Во время опыта регистрировались следующие показатели: количество правильно решенных задач и соответствующие им латентные периоды; количество решенных задач с коррекцией с соответствующими латентными периодами; время отдыха; количество полученных наказаний; межсигнальные перебежки. Перечисленные параметры группировались и выдавались на выходные устройства по каждым десяти забегам, а также в виде общих интегральных показателей [5].

## РЕЗУЛЬТАТЫ ИССЛЕДОВАНИЙ ИХ ОБСУЖДЕНИЕ

Исходя из экспериментального материала, в качестве наиболее общего допущения можно отметить два важных момента: во-первых, в данных условиях эксперимента животных по степени устойчивости ЦНС к хроническим информационным перегрузкам можно разделить на особи со слабой (рис. 1А), промежуточной (рис. 1Б) и высокой (рис. 1В) степенью развития саморегулирующейся системы, во-вторых — динамика изменений исследуемых нами параметров имеет волнобразный характер. Наблюдается циклическая смена периодов ухудшения и облегчения реализации условнорефлекса, с неизменным и медленным ухудшением средних показателей параметров до полного угнетения наличного условнорефлекса. На рис. 1 разбиение животных представлено типичными представителями соответ-

ствующей группы. Среднеустойчивые показатели упроченного условного рефлекса каждой особи в виде количества правильно решенных задач в %, латентных периодов правильных решений (ЛПР) и латентных периодов решений задач с коррекцией (ЛПК) представлены на рис. 1 ординатой, соответствующей абсциссе, обозначенной цифрой «I». Дальнейший ход графиков отражает динамику утомления в процессе реализации условнорефлекторного поведения, вызванного хроническими информационными перегрузками.

Как видно из графиков Б и В (рис. 1), первый цикл динамики изменений исследуемых параметров длится 6–8 дней и характеризуется сначала уменьшением, а затем увеличением, но уже на более низком процентном уровне, по сравнению с исходным по-

казателем (т. е. до начала информационных перегрузок), и новым ухудшением показателя количества правильных решений задачи. ЛПР с первого же дня начала перегрузок увеличивается, с последующим возвращением к исходному уровню к концу перво-

образно, но синфазию с правильными решениями. Если просуммировать количество правильных решений и решений с коррекцией в одном опыте, то получим, что животные решают каждую предъявленную ей задачу.

Вторая волна (8–16 день экспе-

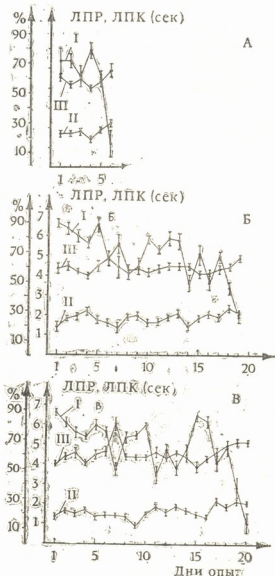


Рис. 1. Динамика изменений показателей в процессе реализации условнорефлекторного поведения на фоне хронических информационных перегрузок: на оси абсцисс — дни опытов; на оси ординат — левая ось — количество правильно решенных задач в течение одного опыта, в процентах; правая ось — латентные периоды правильных решений задач (ЛПР) и латентные периоды решений задач с коррекцией (ЛПК) в с. А, Б — особи, представляющие различные группы крыс: I — количество правильно решенных задач; II — ЛПР, III — ЛПК

вого цикла, и находится в противофазе с графиком, отражающим количество правильных решений задачи (линия 1). ЛПК также изменяется волно-

римента) характеризуется некоторым увеличением количества правильно решенных задач (линия 1) и постоянным временем решений задач с кор-

На 19÷20 день эксперимента про-  
исходит полный срыв условнорефлек-  
торной деятельности.

Следует отметить, что у представи-  
телей группы В, в отличие от группы  
Б, наблюдается тенденция к восста-  
новлению условного рефлекса.

У особей из группы А вслед за  
первой волной наблюдается резкое  
выпадение всех исследуемых нами па-  
раметров, без последующего их вос-  
становления, сопровождающееся оце-  
ниванием животных в стойке.

После окончания серии эксперимен-  
тов животных (контрольную и опыт-  
ную группу) подвергали нейрохимиче-  
скому анализу.

## ЛИТЕРАТУРА

1. Сандодзе В. Я., Марсагишили Г. А., Раздольский А. С., Портной В. Н. Изв. АН ГССР, сер. биол., 14, 6, 375-378, 1988.
2. Душков Б. А., Потов Б. Ф., Рубахин В. Ф. Основы инженерной психологии, М., «Высшая школа», 1986.
3. Фролов М. В. Контроль функциональ-  
ного состояния человека-оператора, М.,  
«Наука», 1987.
4. Хананашвили М. М. Информацион-  
ные неврозы, Л., «Медицина», 1978.
5. Устройство для выработки и исследования  
условных рефлексов у животных, БИ, Авт.  
свид. № 1576163, 8.03.1990.

## დადლის ჩვევითი კორმლატები პირობით რეზლექსური ჩვევის რაილიზაციის პირობებში

### 3. საჭორი

საქართველოს მეცნიერებათა აკადემიის ი. ბერიძაშვილის სახლობის  
ფიზიოლოგიის ინსტიტუტი, თბილისი

### რ ე ზ ი უ მ ე

ნაშრომში მოცემულია აქტიური განრი-  
დების მოდელზე ქრონიკური ინფურმაციუ-  
ლი გადატვირთების შედეგად ჩამოყალიბე-  
ბული დღლის პროცესს ექსპერიმენტული  
მონაცემები. რომელიც წარმოადგენერა აქტიუ-  
რატორის მუშაობის პირობით რეზლექსური  
კომპონენტის მიმართ დაიკავის. ცნები ჩატარებუ-  
ლია ვისტარის ხაზოვან ვირთაგვებშე. ნაჩვე-  
ნება, რომ ინფურმაციული გადატვირთების  
მიმართ, მოცემული ექსპერიმენტის პირპეპ-

ში, ცნს-ის მდგრადობის ხარისხის მიხედვით  
ვირთაგვები იყოფან სამ ჯგუფად. რეგის-  
ტრირებული ქცევითი რეაქციების პარამეტ-  
რების ცვალებადობის დინამიკას აქვს ტალ-  
ლიებური გამოხატულება. მესამე ტალლის  
დაღვიმის შემდევ აღნიშვნება პირობით რეზ-  
ლექსური მახასიათებლების დროებითი აღდ-  
გენა, რასაც შემდგომ მოპყვება რეფლექსის  
მკვეთრი მოშლილობა, მის მთლიან ჩაქრი-  
ბაძე.

# THE BEHAVIOURAL CORRELATES OF FATIGUE IN THE PROCESS OF CONDITIONAL BEHAVIOUR REALIZATION

V. SANDODZE

I. Beritashvili Institute of Physiology, Georgian Academy of Sciences, Tbilisi

## Summary

On the basis of experimental data the process of conditioned reflex fatigue has been described as a result of the chronic informational overloading on the model of active avoidance of negative emotional influence, representing the imitation of conditioned reflex component in operator's functioning. The experiments were carried out in Wistar rats. It was shown that

according to the degree of the CNS stability to emotional overloading, the rats, in the given experimental conditions, can be divided into three groups. Dynamics of alteration in behavioural indices is wave-like by nature. As soon as the third wave is achieved and the functioning quality is improved. The existed conditioned reflex disappears altogether.

УДК 616.131.14 : 611.24 — 07 (023)

МОРФОЛОГИЯ

## ФУНКЦИОНАЛЬНАЯ МОРФОЛОГИЯ ЛЕГКИХ И ПОКАЗАТЕЛЬ ГОМЕОСТАЗА ПРИ ДЛИТЕЛЬНОЙ ФИЗИЧЕСКОЙ НАГРУЗКЕ В ЭКСПЕРИМЕНТЕ

Е. В. Мгеладзе

Институт экспериментальной морфологии им. А. Н. Истишивили, АН Грузии, Тбилиси

Поступила в редакцию 13.12.91

С целью изучения вентиляционно-перфузионных отношений в легких, ультраструктурных изменений аэрогематического барьера и сурфактантпродуцирующих альвеолоцитов II типа в условиях интенсивной мышечной нагрузки белые крысы подвергались физической нагрузке двух режимов — умеренной и хронической.

Экспериментальные данные позволили заключить, что длительная физическая нагрузка различной интенсивности непосредственно отражается на функции респираторного отдела и сурфактантпродуцирующих альвеолоцитов, что из уровня целого организма выявляется как нарушение координации между дыханием и кровообращением, появление дистэлектаза, сдвиг КЩС крови в сторону ацидоза и нарушения на ЭКГ.

Легкие играют важную роль в ряде процессов, прямо не связанных с их дыхательной функцией.

Легкие синтезируют и секрецируют поверхностно-активные вещества (сурфактант), участвуют в регуляции свертывающей и противосвртывающей систем, обмене биологически активных веществ и других механизмах поддержания гомеостаза. Это характеризует легкие как метаболически высоко активный орган [2, 6].

С указанной точки зрения большой интерес представляет изучение ультраструктурных основ секреции сурфактанта и вентиляционно-перфузи-

онных отношений в легких при физической нагрузке различного режима и интенсивности. Известно, что физическая работоспособность во многом определяется резервными возможностями дыхательной системы, так как увеличение легочной вентиляции вызывает умеренную гипоксию и гиперкарнию [4, 7]. Исходя из вышеизложенного, в настоящей работе изучали ультраструктурные изменения аэрогематического барьера и альвеолоцитов II типа у белых крыс в условиях влияния физической нагрузки разного режима.

### МАТЕРИАЛ И МЕТОДЫ

Материалом для исследования послужили легкие 20 белых крыс, массой 120—130 г, которые подвергались физической нагрузке двух режимов. Первый — умеренный режим — бег в тредбане два раза в неделю по два часа в течение двух месяцев; второй — хронический — бег в тредбане ежедневно по два часа в теке-

ние шести месяцев, частота вращения — 15 об/мин.

Материал для исследования брали с поверхностных и глублежащих слоев каждого сегмента легких. Применились гистологический и электронномикроскопический методы исследования. С целью сохранения приживленной архитектоники респираторных



отделов во всех экспериментах легкие для гистологического исследования фиксировали на вдохе до вскрытия грудной клетки путем интратрахеального введения 10%-ного нейтрального формалина под давлением 20—25 см водяного столба. Перед вскрытием грудной клетки трахея перевязывалась. Извлеченные легкие помещались на 4—5 суток в 10%-ный раствор нейтрального формалина. Гистологический анализ проводили на срезах, окрашенных гематоксилином-эозином.

Электронномикроскопическое исследование проводили на микроскопе Tesla BS 500 при ускоряющем напряжении прибора 70 кВ.

## РЕЗУЛЬТАТЫ ИССЛЕДОВАНИЯ И ИХ ОБСУЖДЕНИЕ

После умеренной физической нагрузки, по данным гистологического исследования, наблюдалась агрегация и стаз эритроцитов в просвете межальвеолярного капилляра, отек пarenхимы легкого вследствие плазмопрагии вокруг капилляров, сосудов более крупного калибра и альвеол.

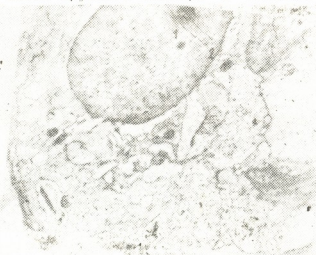


Рис. 1. Легкое крысы при умеренной физической нагрузке: в альвеолоците II типа околоядерный отек (1), ПОТ представлены пристенночно расположенным ламеллами (2).  $\times 8000$

Легочные капилляры были полнокровны, эндотелий выглядел набухшим. Отмечалось скопление отечной жидкости в толще базальной мембранны межальвеолярного капилляра. Большинство альвеолоцитов II типа имели ядро округлой формы, с равномерно распределенным по карнаплазме хроматином, ядрышко различалось четко (т. е. ядра альвеолоци-

О состоянии гомеостаза судили по параметрам кислотно-щелочного состояния в пробах капиллярной крови, взятой из подогретого кончика хвоста на аппарате ВМ ЗМк2, пользуясь иномограммой Зигаарда-Андерсена. Кровь в таких случаях соответствует артериальной. Определяли следующие параметры кислотно-щелочного состояния: концентрацию водородных ионов ( $\text{PH}$ ), парциальное давление углекислоты ( $\text{Pco}_2$ ), дефицит буферных оснований ( $\text{BF}$ ), стандартный бикарбонат ( $\text{SB}$ ). В динамике эксперимента и перед забоем снимали электрокардиограмму (ЭКГ).

тов II типа в целом сохраняли свою конфигурацию). В околоядерном пространстве имелся отек, органеллы перераспределялись в периферические зоны цитоплазмы. Пластинчатые осмиофильные тельца (ПОТ) были представлены электронно-оптически прозрачными вакуолями с малым количеством ламелл. Митохондрии имели обычную форму. Вдоль митохондрий и между ПОТ обнаруживались первичные лизосомы с очень плотным, гомогенным матриксом (рис. 1). Эти данные свидетельствуют о том, что после умеренной физической нагрузки альвеолоциты II типа в целом сохраняют сурфактантпродуцирующую активность. С целью оценки степени гипоксии определяли параметры кислотно-щелочного состояния. Параметры показывали сдвиг реакции в сторону ацидоза:  $\text{PH} = 7,37$ , вместо 7,42 в контроле. Парциальное давление углекислоты ( $\text{Pco}_2$ ) — 40,45  $\text{ммоль}/\text{л}$ , показатель стандартного бикарбоната ( $\text{SB}$ ) — 14, дефицит буферных оснований ( $\text{BF}$ ) возрос до 4  $\text{ммоль}/\text{л}$ , вместо 1,63 в контроле.

На ЭКГ отмечалась тахикардия, умеренные явления гипоксии и гипертрофии миокарда, признаки перегрузки правого предсердия и правого желудочка, т. е. высокий Р зубец в отведении I и повышение амплитуды зубца R в отведении I соответственно; сегмент Т был смещен ниже изоэлектрической линии в отведениях II, III, AVF (рис. 2).

При воздействии хронической физической нагрузки, по данным гистологического исследования, отмечался отек с наличием отечной жидкости в полости альвеол, полнокровие ветвей легочной артерии уровня терминальных бронхиол. Отмечалось разрастание фибрилл коллагена в септальной строме, а также утолщение базальной мембраны межальвеолярного капилляра. Альвеолоциты II типа с плотной цитоплазмой, признаками деструкции были замурованы в утолщенной базальной мембране. Митохондрии были набухшие и склеенные, ПОТ — опустошены (рис. 3), наблюдалось вымывание сурфактанта в полость альвеол. В просвете альвеол

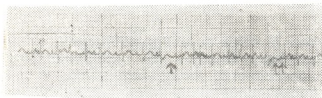


Рис. 2. ЭКГ крысы при умеренной физической нагрузке. Высокий Р зубец (↑), смещение ST сегмента ниже изоэлектрической линии в отведении AVF (↑↑)

встречались макрофаги — «сквенджер» клетки, содержащие поглощенный осмиофильный материал. Эти данные свидетельствуют о том, что после хронической физической нагрузки в течение 6 месяцев продукция лёгочного сурфактанта в альвеолоцитах II типа резко снижается, клетки подвергаются дистрофическим изменениям, увеличивается площадь атэлектатических участков, что подтверждает снижение продукции сурфактанта, обеспечивающего стабильную форму альвеол.

Параметры КЩС: РН — 7,12, Р<sub>CO<sub>2</sub></sub> — 45, (SB) — 175, (BF) — 10, — 12 указывают на нарушение мембранныго компонента, диффузию кислорода и становление декомпенсированного смешанного ацидоза на фоне гипервентиляции.

На ЭКГ QRS комплекс был расширен, наблюдался высокий Р зубец в отведении, что указывает на перегрузку правого предсердия. Сегмент ST был смещен ниже изолинии в отведении II, III, AVF, отмечался отрицательный Т зубец (рис. 4).

Результаты, полученные после умеренной физической нагрузки, говорят о том, что в респираторном отделе легкого происходит мобилизация функции альвеолоцитов II типа, что подтверждается их ультраструктурными изменениями, являющимися частью общей реакции организма на

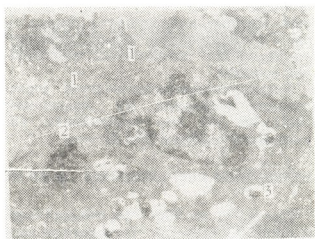


Рис. 3. Легкие крысы при хронической физической нагрузке: скопление фибрилл коллагена в септальной строме (1); в альвеолоцитах II типа ПОТ вакуолизированы (2); митохондрии набухшие (3). x 6000

интенсивную мышечную работу. Наблюдаются гипертрофия миокарда, на ЭКГ — увеличение QRS комплекса, частоты сердечных сокращений.



Рис. 4. ЭКГ крысы при хронической физической нагрузке. Отрицательный Т зубец (↓) и смещение ST сегмента ниже изоэлектрической линии в отведении AVF (↑↑)

При хронической физической нагрузке параметры КЩС крови свидетельствуют о развитии декомпенсированного ацидоза, сопровождаемого тахикардией — атэлектазом, а на уровне ультраструктуры респираторного отдела — снижением продукции лёгочного сурфактанта.

Таким образом, длительная мышечная нагрузка различной интенсивности непосредственно отражается на



функции респираторного отдела легких и сурфактантпродуцирующих альвеолоцитов, что на уровне целого организма выявляется в виде нарушения

координации между дыханием и кровообращением, появления дистрофии аз, сдвига КЩС крови и патологических изменений ЭКГ.

## ЛИТЕРАТУРА

1. Астапенко В. П., Лотовин А. П. Морфогенез органов и тканей (Тр. Крымского ордена Трудового Красного Знамени мед. ин-та), 112, 1987, 122—124.
  2. Ерохин В. В. Функциональная морфология легких, М., «Медицина», 1987.
  3. Романова Л. К., Жаворонков А. А., Лемперт Б. Л. Физиология человека, 3, 1006—1022, 1977.
  4. Хождаев А. Н. В кн.: Физиология и
- морфология организма человека и животных в условиях высокогорья, Душанбе, «Дониш», 1983, 121—125.
5. Шидаков Ю. Х.-М., Матвиенко В. В. Арх. анатом., гистол. и эмбр., 5, 29—33, 1988.
  6. King R. J., Clements J. A. Am. J. Physiol., 243, 715—725, 1972.
  7. Scarpelli E. M. The surfactant system of the lung, Philadelphia, 1984.

ვილტვის ფუნქციური მორფოლოგია და ჰომეოსტაზის  
მაჩვენებელი ხანგრძლივი ფიზიკური დაზიანების შემდეგ  
ექსპერიმენტში

## 3. მიმღებადი

საქართველოს მეცნიერებათა აკადემიის ა. ნათიშვილის სახელობის ექსპერიმენტული  
მორფოლოგიის ინსტიტუტი, თბილისი

## რეზიუმე

შესწავლის იქნა აეროპერმატური ბარიერისა და სურფაქტანტმასროდუცირებელი II ტიპის ოლვეოლოციტების ულტრასტრუქტურული ცვლილებები ხანგრძლივი ფიზიკური დატვირთვის შემდეგ. ამ მიზნით თეთრი ვირთავები ასრულებდნენ თრი რეჟიმის ფიზიკურ დატვირთვას — ზომიერს და ქრონიკულს.

ექსპერიმენტის მონაცემების საფუძველზე დაფინილ იქნა, რომ სხვადასხვა ინტენსიონის ხანგრძლივი ფიზიკური

დატვირთვა უშუალოდ ისახება ფილტვების რესპირატორული ნაწილისა და სურფაქტანტმასროდუცირებელი ოლვეოლოციტების ფუნქციებზე, რაც მთელი ორგანიზმის ღონისძიება ვლინდება, როგორც სუნთქვასა და სისხლის მიმღევებას. შორის კოორდინაციის დარღვევა, დისტენსიტაზური უბნების გამოჩენა, მეავა-ტუტოვანი წონასწორობის გადასრულება აციდოზისაკენ და ცვლილებები ეკგ-ზე.

## LUNG FUNCTIONAL MORPHOLOGY AND INDEX OF HOMEOSTASIS AFTER PROLONGED EXERCISE IN EXPERIMENT

E. MGELADZE

A. Natishvili Institute of Experimental Morphology, Georgian Academy of Sciences, Tbilisi

**Summary**

Experimental studies showed that prolonged exercises of various intensity effect the function<sup>1</sup> of the lung respiratory part and the alveolar<sup>1</sup> type second cells. In a whole this effect is re-

vealed as discoordination between the blood circulation and the respiration, distelectasis, acid-base deviation on the side of acidosis and the disturbances on the electrocardiography.

УДК 591.436.2:616—001.8—001.186—001.21

ЦИТОЛОГИЯ

**МОРФОЛОГИЧЕСКИЙ АНАЛИЗ ПЕЧЕНИ ПРИ СОЧЕТАННОМ  
ВОЗДЕЙСТВИИ НА ОРГАНИЗМ КРЫС ГИПОКСИИ,  
ЭЛЕКТРОМАГНИТНОГО ПОЛЯ И НИЗКИХ ТЕМПЕРАТУР**

Л. М. Небольсина

Институт экспериментальной морфологии им. А. Н. Натишвили АН Грузии, Тбилиси

Поступила в редакцию 15.05.91

При сочетанном воздействии на организм крыс гипоксии, электромагнитного поля и низких температур в сосудистой системе печени, а также в мембранных комплексах как на уровне клетки, так и на уровне органелл выявляются патологические изменения. Происходит уменьшение содержания гликогена в паренхиме печени и отмечаются качественные отличия в характере его отложения в гепатоцитах разных зон ацинусов.

Населению высокогорных районов Грузии приходится жить и работать в условиях, в которых отмечается сочетанное влияние на организм низких температур и гипоксии. Широкое же внедрение радиоэлектронных устройств во многих областях народного хозяйства, а также увеличение числа радио- и телевизионных станций, расширение сети высоковольтных линий электропередач, создающих непрерывно растущий электромагнитный фон, диктует изучение проблемы биологического действия электромагнитного поля на организм человека. Известно, что порогом магнитопоражаемости является напряженность поля, которая примерно на 2 порядка превышает интенсивность геомагнитного поля, т. е. 50—100 Э при длительности воздействия не менее 10—20 мин в день [1]. Порог магнитопоражаемости так же, как и магниточувствительности, очень индивидуален и зависит от пола, возраста, исходного состояния организма. Магнитное поле, обладая прони-

кающим действием, может влиять на все без исключения системы организма [5, 11]. Что касается холодового воздействия, то оно затрагивает не только аппарат терморегуляции и со пряженные с ней системы, но и отражается на состоянии общей резистентности организма [2]. Наиболее чувствительным звеном при холодовом воздействии являются такие интегрирующие системы, как нейрогуморальная, микроциркуляторная, а также мембранные комплексы — на уровне клеток [3, 7, 8, 20, 21, 23]. Гипоксия же нарушает энергообеспечение, а следовательно, и осмотическое состояние клетки, понижает содержание свободного АТФ и активность АТФ-азы, вызывает дефицит энергетического баланса клетки [17].

Задачей данного исследования явилось изучение морфологических изменений, развивающихся в печени крыс при сочетанном воздействии на организм гипоксии, электромагнитного поля и низких температур.

**МАТЕРИАЛ И МЕТОДЫ ИССЛЕДОВАНИЯ**

Работа выполнена в весенне время года при температуре окружающей среды +24°C на белых крысах-самцах массой тела 150—180 г. Для изу-

чения влияния сочетанного воздействия гипоксии, электромагнитного поля и низких температур был использован соленоид, установленный в Ин-

ституте геофизики АН Грузии. Блок питания соленоида обеспечивал постоянный ток от 0 до 40 A. Термобарокамера КТВ-8000 (ГДР) создавала температуру от 0° до минус 100°C.

Опыты были разбиты на 4 серии, в каждой серии использовали по 6 крыс. Во всех сериях опытов электромагнитное поле (ЭМП) составляло 50 Э (1 эрстед равен примерно 1 ампер-виток/см). В первой серии опытов температура равнялась +24°C, во второй серии — 0°C, в третьей — минус 5°C, в четвертой — минус 10°C. Барокамерная гипоксия во 2, 3, и 4-й сериях опытов соответствовала атмосферному давлению в 310 мм рт. ст. или 6—7 тыс. м над уровнем моря. Все серии опытов были проведены с

экспозицией 1—2 ч в течение 5 суток. Забой животных осуществлялся под эфировым наркозом спустя 1 сутки эксперимента. Кусочки печени фиксировали в 10%-ном растворе формалина и смеси Шабадаша. Парафиновые срезы толщиной 5—7 мкм окрашивали гематоксилином и эозином, соединительную ткань выявляли пирофуксином по методу ван Гизона, гликоген — по методу Шабадаша. Для электронно-микроскопических исследований кусочки печени обрабатывали по общепринятой методике [18, 19]. Ультратонкие срезы изучали в электронном микроскопе «Tesla» BS-500 при увеличении от 4000 до 14000.

## РЕЗУЛЬТАТЫ ИССЛЕДОВАНИЙ И ИХ ОБСУЖДЕНИЕ

Проведенное исследование показало, что при воздействии на организм крыс ЭМП (1 серия опытов) в печени отмечался отек соединительной

капилляры, расположенные во всех зонах ацинусов, содержали агрегированные эритроциты. Цитоплазма большинства гепатоцитов сильно просвет-



Рис. 1. Печень крысы в I серии опытов: отечные гепатоциты с резко просветленной цитоплазмой и уплотненной кариоплазмой и гепатоциты с лизированными ядрами. Окр. тематоксилин-эозином, ок. 8, об. 16

страмы сосудов. А вокруг сосудов триад соединительная ткань была разволокнена. В просвете собирательных вен и вен триад происходил застой крови. Синусоидные кровеносные

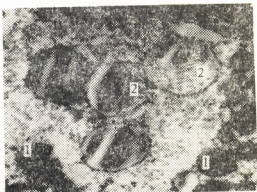


Рис. 2. Ультраструктура гепатоцита в I серии опытов: в цитоплазме гетерогенные митохондрии с сильно осмиофильным матриксом — I; некоторые из липидных капель находятся в состоянии частичного лизиса — 2; х 8.000

лялась, а также выявлялся разрыв плазматической мембраны ряда гепатоцитов. Ядра большинства гепатоцитов были с уплотненной кариоплазмой, много было

клеток с лизированными и пикнотизированными ядрами (рис. 1). На электронно-микроскопическом уровне обнаружено, что митохондрии были округло-овальной формы с сильно осмиофильным матриксом, митохондриальные кристы становились неразличимыми. Зернистая цитоплазматическая сеть вблизи митохондрий образовывала большие скопления, отмечался также их тесный контакт. В цитоплазме некоторых гепатоцитов содержалось большое количество гетерогенных липидных капель. Часть липидных капель подвергалась лизису (рис. 2). Содержание гликогена в цитоплазме большинства гепатоцитов уменьшилось. Увеличивалась электронная плотность нуклеолонемы, контуры ядра становились более очерченными.

Многие исследователи считают, что местом приложения действия магнитного поля являются мембранны. В результате воздействия их проницаемость меняется. Возможно, на клеточном уровне магнитное поле может действовать через неспецифическое изменение поляризации клеточных мембран и их проницаемости [11]. Клетки животных отвечают на ЭМП перераспределением ионов  $\text{Na}$  и  $\text{K}$  [13]. Данные, полученные рядом авторов [4, 7], подтверждают мнение о том, что действие магнитного поля на организм в значительной степени опосредуется через гипофизарно-надпочечниковую систему [9], которая играет большую роль в выработке адаптационных реакций организма, в повышении его резистентности.

На последующих сроках эксперимента, т. е. при воздействии ЭМП, гипоксии и понижения температуры, отмеченные выше гистологические изменения в печени были резче выражены. Стенка некоторых центральных вен и крупных сосудов портального тракта местами была нарушена. Разволокнение соединительнотканной стромы сосудов печени увеличилось, стаз и агрегация эритроцитов в просветах сосудов сохранялись. В 3 зоне ацинусов выявлялся сильный межклеточный отек: синусоидные кровеносные капилляры были сильно расширены и содержали плазму и сладжированные эритроциты (рис. 3). Синусоидные кровеносные капилляры 1 и 2 зон ацинусов (3 и 4-я серии опытов) были

сдавлены отечными гепатоцитами и содержали единичные эритроциты. Радиальная направленность нечетких трабекул при  $0^\circ\text{C}$  сохранялась, хотя отмечался разрыв отдельных тяжей. При температуре минус  $5^\circ$  и  $10^\circ\text{C}$  она плохо прослеживалась во всех зонах ацинуса. Границы между клетками были плохо различимы. Плазмалемма большинства гепатоцитов локально повреждена. Цитоплазма гепатоцитов при  $0^\circ\text{C}$  сильно просветлена; хорошо выражена ее зернистость. При температуре минус  $5^\circ\text{C}$  (3-я серия опытов) в 1 и 2 зоне ацинусов она была зернистая, в 3 зоне — сильно вакуолизирована, а в некоторых гепатоцитах цитоплазма сохранялась только вокруг ядра и плазмалеммы. В 4-й серии опытов цитоплазма большинства гепатоцитов становилась плотной, гомогенной, мелкозернистой. Кариоплаз-

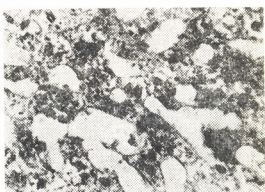


Рис. 3. Печень крысы во 2-й серии опытов: сильный межклеточный отек и разрыв отдельных тяжей печеночных трабекул; границы между гепатоцитами нечетки, плазмалемма локально нарушена; цитоплазма гепатоцитов зернистая, кариоплазма уплотнена. Окр. гематоксилин-эозином, ок. 5, об. 40

ма уплотнялась, ядрышки плохо контурировались.

Полученные нами данные подтверждают, что плазматические мембранны клеток обладают высокой чувствительностью как к действию осмотических,

так и температурных факторов среды [3, 16]. При снижении температуры в мембране происходит изменение конформационного состояния белков [22] и развиваются фазово-структурные переходы липидов [15]. Недостаток же кислорода сопровождается нарушением калий-натриевого равновесия и изменением гидрофильного состава клетки [12]. В. В. Хаскин [10] отмечал, что холодовая адаптация сопровождается повышением активности различных ферментных систем, особенно заметно активируются окислительные ферменты и ферменты гликолиза. Посколь-

ных вен. При температуре минус 5°С содержание гликогена еще больше уменьшалось и он был представлен в цитоплазме гепатоцитов всех зон ацинусов в виде диффузно расположенных небольших зерен. При температуре минус 10°С в I зоне ацинусов гликоген в цитоплазме гепатоцитов имел вид крупных зерен, смешанных на одну из сторон, либо эти зерна были диффузно рассеяны в цитоплазме. В 3 зоне ацинусов (вокруг центральных вен) гепатоциты содержали в цитоплазме единичные зерна гликогена.

На ультраструктурном уровне при воздействии ЭМП, гипоксии и понижении температурыами выявлено нарушение в первую очередь таких органелл клетки, как митохондрии и зернистая цитоплазматическая сеть. У этих органелл отмечалось нарушение целостности мембранны: плохо контурировалась либо лизировалась мембрана митохондрий и зернистой цитоплазматической сети. Происходило сильное уплотнение матрикса митохондрий, потеря двуконтурности наружной мембранны, что связано с уменьшением окислительного фосфорилирования, снижением активности цикла Кребса. При температуре минус 5°С цитоплазма гепатоцитов сильно просветлялась и выявлялись участки лизиса. При температуре минус 10°С, наряду с вышеотмеченными изменениями, часть цистерн зернистой цитоплазматической сети была разорвана и количество рибосом на них уменьшалось (рис. 4).

Таким образом, при сочетанном воздействии на организм крыс гипоксии, электромагнитного поля и низких температур наиболее чувствительным звеном в печени являются сосудистая система, а также мембранные комплексы на уровне клетки и органелл. Кроме того, с понижением температуры происходит уменьшение содержания гликогена в паренхиме печени и выявляются качественные отличия в характере его отложения в гепатоцитах разных зон ацинусов.

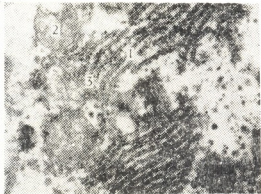


Рис. 4. Ультраструктура гепатоцита в 3 зоне опытов: разрыв цистерн зернистой цитоплазматической сети на отдельные фрагменты — 1; локальный лизис мембран митохондрий — 2 и зернистой цитоплазматической сети — 3. x 14.005

ку гликолиз менее эффективен с точки зрения энергообразования, то запас гликогена быстро истощается, тем более что при гипоксии не происходит ресинтез гликогена ввиду недостаточности кислорода [14].

В нашем эксперименте при температуре 0°C содержание гликогена в паренхиме печени было уменьшено, причем отмечалась более интенсивная окраска на гликоген цитоплазмы гепатоцитов, расположенных по ходу сосудов портального тракта, и менее интенсивная — вблизи собиратель-



1. Аристархов В. М. В сб.: Тезисы докладов Всесоюз. сим. «Биологическое действие электромагнитных полей», Пушкино, ОНТИ НЦБИ АН СССР, 1982, 70.
2. Беляевский Е. М. В сб.: Достижения и перспективы развития криобиологии и криомедицины (Тез. докл. межд. конф.), Харьков, 1988, 100—101.
3. Белоус А. М., Бондаренко В. А. Структурные изменения биологических мембран при охлаждении, «Наукова думка», Киев, 1982.
4. Гапринашавили Т. Г. Изменения некоторых параметров гомеостаза, влияющих на метаболизм миокарда, и морфофункционального состояния сердца под воздействием постоянного магнитного поля в эксперименте, Автореф. канд. дисс., Тбилиси, 1987.
5. Пирузян Л. А., Кузнецов А. Н. Изв. АН СССР, сер. биол., 6, 805—821, 1983.
6. Сандомирский Б. П. Криобиология, 1, 3—7, 1988.
7. Серых М. М., Кленова Н. А., Миншина Н. В., Скрипичникова В. Г. В кн.: Сравнительная биохимия обмена веществ у животных, Куйбышев, 1980, 37—44.
8. Скорняков Б. А., Строна В. И., Козлова В. Ф., Говоруха Т. П. В сб.: Достижения и перспективы развития криобиологии и криомедицины. (Тез. докл. межд. конф.), Харьков, 1988, 83.
9. Удинцев И. А., Мороз В. В. Физиол., 6, 72, 1976.
10. Хаскин В. В. Бюлл. СО АМН СССР, 3, 23—29, 1984.
11. Холодов Ю. А. Человек в магнитной паутине (магнитное поле и жизнь), «Знание», М., 1972.
12. Bergeder N. D. Strahlenschutzforsch. Prax., 9, 100—114, 1969.
13. Guzinski G., Nosol B. Post. biol. Komski, 11, 3—4, 411—412, 1984.
14. Laborit H., Лабори А. Регуляция обменных процессов, «Мир», М., 1970.
15. Lee A. G. Biochim. Biophys. Acta, 472, 2, 237—281, 1977.
16. Мегуман Н. Т., Williams R. J., Douglas M. S. J. Cryobiology, 14, 1, 287—302, 1977.
17. Opitz E., Schneider M. Biol. Chem., exp. Pharmacol., 46, 126—261, 1950.
18. Palade G. E. J. Exp. Med., 95, 3, 285—298, 1952.
19. Reynolds K. S. J. Cell Biol., 17, 1, 208—212, 1963.
20. Steffen J. M. Cryobiology, 24, 6, 564, 1987.
21. Steffen J. M. Cryobiology, 25, 2, 94—101, 1988.
22. Verma S. P., Wallach D. T. Proc. Natl. Acad. Sci. USA, 73, 10, 3558—3561, 1976.
23. Watson R. F., Morris G. J. Temp. and Anim. Cells: Proc. Meet., Durham, 10—12 Sept., 1986, Cambridge, 1987, 311—340.

ღიძლის მოწოდობის ანალიზი ვირტუალუს მობანიზმი  
ჰიპომეტის, მფარგოვანი ველისა და დაგალი  
ტემპერატურის ერთდროული ზემოქმედებისას

#### ლ. მამულიძე

საქართველოს მეცნიერებათა აკადემიის ა. ნათეშვილის სახელობის ექსპერიმენტული  
მორფოლოგიის ინსტიტუტი, თბილისი

#### რეზიუმე

წარმოდგენილია ღვიძლში ციტოლოგური ცვლილებების მონაცემები (უკრედულ და სუბუკრედულ დონეზე) ვირტუალუს ორგანიზმების პიპოქსის (310 მმ ვწყ. ს. 3), ელექტრომაგნიტური ველისა (50 ერსტედი) და დაბალი ტემპერატურების ( $0^{\circ}\text{C}$ ,  $-5^{\circ}\text{C}$ ,  $-10^{\circ}\text{C}$ ) ერთდროული ზემოქმედებისას. ნაწვენებია, რომ ტემპერატურის შემცირებასთან ერთად ღრმვდე-

ბა პათოლოგიური პროცესები, რომლებიც ვითარდება ღვიძლის სისხლძარღვოვან სისტემაში და მემბრანულ კომპლექსებში როგორც უჯრედის, ისე ორგანელების ღონეზე. ღვიძლის პარენქიმაში მცირდება გლიკოგენის შემცველობა და მედავნდება ხასისხმის განსხვავება მისი დაგროვების ხასიათში აცინუსების სხვადასხვაზენის ჰემპატოციტებში.

# MORPHOLOGICAL ANALYSIS OF LIVER UNDER COMBINED INFLUENCE OF HYPOXIA, ELECTROMAGNETIC FIELD, AND LOW TEMPERATURES IN RATS

L. NEBOLSINA

A. N. Natishvili Institute of Experimental Morphology, Georgian Academy of Sciences, Tbilisi

## Summary

The data of cytological changes in liver (on cellular and subcellular levels) at combined influence of hypoxia (310 mm Hg), electromagnetic field (50 erst) and low temperatures ( $0^{\circ}\text{C}$ ;  $-5^{\circ}\text{C}$ ;  $-10^{\circ}\text{C}$ ) have been presented. It is shown that temperature decreasing results in aggravation of pathologic processes developing in the

liver vascular system, as well as in the membrane complexes at the cell and organelli levels. Glycogen content in the liver parenchima occurs to be diminished and some qualitative deviation in the character of its accumulation in hepatocytes of different acynous zones are revealed.

UDC 581.19.546

BIOCHEMISTRY

## THE LECTINS: PROPERTIES AND APPLICATIONS IN BIOLOGY AND MEDICINE

E. Rapava

Tbilisi State University

Accepted in 13.12.91

The article deals with the current knowledge on lectins, their nature, function and applications. The major representatives of plant and animal lectins are characterized.

### WHAT ARE LECTINS?

According to up-to-date definition lectins are a distinctive group of proteins united by the main property — their ability to bind reversibly to carbohydrate residues of specific structure and conformation without causing any chemical changes. In this respect they differ from enzymes which specifically bind to carbohydrates and change them chemically.

Lectins are generally considered to be nonimmune proteins that agglutinate cells or precipitate polysaccharides and glycoproteins: they differ from anti-carbonate antibodies that may act as cell agglutinins. Furthermore, many lectins are found in plants and bacteria, which do not synthesize immunoglobulins. In addition antibodies are structurally similar to each other whereas lectins are structurally diverse. They vary in molecular size, metal requirements, amino acid composition and three-dimensional structure.

In recent years considerable interest has been generated in the characterization of lectins.

Only selected references\* will be given primarily of reviews and books, to provide access to the voluminous literature on the subject. The reviews and monographs either deal with general aspects of

lectins [1,2] and the possible roles of lectins in nature [3,4] or emphasize specific topics such as lectins from plants [2,1], microorganisms [5,6], animals [7,8], and membranes [9].

Other reviews deal with applications of lectins in the study of glycoconjugates in solution and on cell surfaces [10,11], to immunology [12], in blood typing [13], in microbiology [14,15], in cell identification and separation [10,12] and as histochemical probes [16], or they discuss lectin-resistant animal cell mutants [17].

Lectin binding to membrane causes its structural and functional reorganization. Receptors, which had been scattered throughout the surface of the cell, gather in one place and form a "cap". The "capping" phenomenon is an active process regulated by the cytoskeleton.

Since characteristically all lectin molecules have two or more carbohydrate-binding sites (in this respect they look like antibodies), they can form multiple cross-bridges between opposing cells. Such binding may result in a variety of biological effects. Agglutination and mitogenic activity were investigated in most details.

**Agglutination** is the most easily detectable manifestation of the interaction of a lectin with cells and still is used to reveal the presence of a lectin in a biological source. The ability to agglutinate cell distinguishes lectins from other sugar-binding macro-molecules, such as glycosidases and glycosyltransferases. For agglutination to occur the bound lectin must form multiple cross-bridges between opposing cells. There is however no simple reaction between the amount of lectins bound and agglutination. Cases are even known where considerable amounts of lectins are bound to cells without causing agglutination. This is because agglutination is affected by many factors, such as the molecular properties of the lectin (for example, number of saccharide binding sites, molecular size) cell surface properties (i. e. the number and accessibility of receptor sites, membrane fluidity) and the metabolic state of the cells. In addition, agglutination is affected by external conditions of the assay as temperature, cell concentration, mixing and so on.

Interest in agglutination by lectins was greatly stimulated in 1960 by observations of marked differences in agglutinability between normal and malignant cells, between embryonic and adult cells and between mitotic and interphase cells. For a time it was believed that high agglutination was a property common to all malignant cells. However in spite of much effort the molecular basis for the differences in agglutination between normal and malignant cells has not been elucidated. Moreover, many cases are known for which this relationship does not hold.

**Mitogenic stimulation of lymphocytes** is one of the most dramatic effects of the interaction of lectins with cells, i. e. the triggering of quiescent, nondividing lymphocytes into the states of growth and proliferation.

The first mitogenic agent to be described was PHA, the lectin from red kidney beans. This discovery had a revolutionary

impact on immunology because it shattered the view that lymphocytes are dead and cells that could neither divide nor differentiate further. During the past decade many lectins have been recognized to have mitogenic activity. Most of them stimulate only the thymus-dependent population of lymphocytes. PHA and Con A remain the most widely used mitogens.

In contrast to stimulation by antigens (in which specific clones of lymphocytes are induced to proliferate), lectins activate multiple lymphocyte clones irrespective of their antigen specificity (polyclonal stimulation) so that the percentage of responding cell is rather high.

**Function.** It has long been appreciated that there is extensive glycosylation of proteins and lipids in cell membranes and proteins in serum and extracellular matrix. More recently it has become clear that proteins within cells are also conjugated with sugar. These complex carbohydrates are very complicated, diverse, branched molecules due to the alternative isomeric linkages among sugars and a multiplicity of synthetic enzymes (i. e., glycosyltransferases), which have highly specific activity: each enzyme generates only a very limited number of bonds. Thus even a small saccharide units may form very versatile, complicated structures. As increasingly refined analytical methods became available more diversity in the complex carbohydrate structures in animal cells is being documented.

Thus, taken together, these facts suggest that information can be and probably is encoded in carbohydrates. Experimental evidence directly implicates complex carbohydrates in recognition processes including adhesion between cells, adhesion of cells to the extracellular matrix and specific recognition of cells (such as sperm and egg) by one another. In addition, carbohydrates are recognized as differentiation markers and as antigenic determinants.

Both theoretical and experimental considerations suggest the need for biological



molecules, presumably proteins, which can decode the information found in complex carbohydrates. Animal lectins, more or less by definition, have the potential to do so.

The function of lectins is poorly understood and there is considerable contradiction in our understanding of their role.

Despite the wealth of information available on the properties of lectins their physiological function is still unclear, perhaps because a common biological role can't be expected of them. Their role depends on cells to which they bind. Apparently, lectins from different sources may have quite different functions and may perform quite different roles.

The widespread occurrence of lectins suggests that they must play some fundamental biological role. They are common for all kingdoms, on all levels of evolution. Especially they are widely distributed in plants. One of the most common plant families (Leguminosae) seeds contain considerable amounts of lectins (3% of the seed weight). One can't imagine that nature accumulates one particular protein in such large amounts without necessity. Another argument for the importance of lectins is concerned with the quite homologous amino acid sequences in these proteins. It has been found during the last years that proteins with crucial biological functions, especially if they had to fit a certain environment, evolve very slowly and are extremely conservative in their sequences. Therefore, the high homology of lectins reflects an important though unknown biological function.

Within the past 40 years, a number of roles have been proposed for plant lectins:

1. Lectins protect seeds from being eaten by insects.
2. Lectins protect young plants from infection by fungi.
3. Leguminosae lectins mediate the interaction between host and nodulating bacteria.

4. Some authors put forth the idea that lectins may help to glue cells together reversibly in such a manner that they can be shifted during cell wall extension growth.

5. Lectins have been proposed to function in cell recognition and in the transport, immobilization and storage of carbohydrates in plants.

As far as animal lectins are concerned, the advance came in 1974 with the discovery of the first mammalian-lectin the hepatic binding protein, specific for D-galactose and the demonstration of its involvement in the clearance of asialoglycoproteins from the circulatory system [18]. Additional animal lectins have subsequently been discovered. Some of these function similarly to hepatic binding protein, while others, such as the D-mannose 6-phosphate binding protein, are responsible for the intracellular routing of glycoproteins [19]; lectins may also be involved in the clearance of bacteria from blood [20]. The other advance came with the demonstration that *E. coli* and related organisms produce D-mannose-specific surface lectins in the form of appendages [21]. Direct evidence for the involvement of these lectins in the initiation of infection was obtained when it was shown [22] that urinary tract infection in mice by mannose-specific *E. coli* could be prevented by a methyl D-mannoside. These studies have raised the possibility that sugar inhibitors of lectin-mediated bacterial adherence may be useful in protection against natural infection.

Recently it has been shown [23] that the mannose-specific bacterial surface lectins may also mediate attachment of the bacteria to phagocytic cells in the absence of antibodies and complement (collectively known as opsonins) leading to the killing of bacteria. The authors of this work designate the process "lectinophagocytosis" and propose that it may be important in the clearance of bacteria from nonimmune patients or from areas poor in opsonins.

The ability of some lectins to bind to certain infectious micro-organisms indicates that specific lectins may represent rudimentary "immunolike" proteins. "Lectinophagocytosis" provides illustrations for the postulated role of lectins being recognized as molecules.

Thus, initially lectins were assumed to function mainly as storage and transport proteins in plants; however, since their

discovery in a wide range of organisms their role has been expanded and despite the fact that their function is not completely clear, many important cellular processes, such as adhesion, phagocytosis, parasitism, developmental processes, proliferation, migration, cell differentiation and growth, have now been attributed to lectin-mediated recognition events.

## CHAPTER 2. PLANT LECTINS

As our knowledge of the properties of plant lectins expanded it became apparent that they can be grouped into families with sequence homologies and common structural properties. The largest and best-characterized family is that of LEGUMINOSAE. The most popular representatives are *Canavalia ensiformis* (jack bean), known as Concanavalin A (refers to Diocleae suborder), and *Phaseolus vulgaris* (kidney bean), known as Phytohemagglutinin (PHA) belonging to Phaseoleae suborder.

**Concanavalin A.** Con A is without doubt the most celebrated of the plant lectins. At pH 7, it is composed of four carbohydrate-free subunit promoters,  $M_r = 26,500$ . Each subunit is made up of a single polypeptide chain containing 237 amino acids. In addition, it contains fragmented subunits in which the same polypeptide chain is split into two fragments between residues 118 and 119. The fragments derived from the intact polypeptide subunit include an N-terminal polypeptide  $M_r = 12,500$  and a C-terminal polypeptide,  $M_r = 14,000$ . Interestingly, there are no obvious differences between the three-dimensional structures of Con A tetrameres made up entirely of intact subunits and of tetrameres containing fragments. In both cases the same tetrameric structure is held.

Physical characterization of Con A revealed monodispersity in the ultracentrifuge at pH 2–5 and two-peak pattern at pH 7, suggesting pH-dependent association of subunits. At pH 5.6 and below, two

protomers are associated in a dimer,  $M_r = 52,000$ ; above pH 5.6 the dimers aggregate forming tetrameres. Aggregation of dimers is both pH and temperature-dependent.

Con A is a metalloprotein, each subunit of which contains one  $\text{Ca}^{2+}$  and one  $\text{Mn}^{2+}$  ion. Whenever examined, legume lectins were found to contain these ions and this appears to be essential for activity. Treatment of the lectin with acid reversibly removes the metal ions and destroys the ability to bind carbohydrate. To convert it to an active form, the metal ions must be added in a prescribed order: first  $\text{Mn}^{2+}$  and then  $\text{Ca}^{2+}$ . Only when both metal binding sites are occupied, does the lectin bind sugars. The metal ions seem to function similarly in all other legum lectins, suggesting that the binding of  $\text{Mn}^{2+}$  to the SI site of demetallized Con A induces the formation of the specific  $\text{S2Ca}^{2+}$  ion binding site. Thus binding with  $\text{Mn}^{2+}$  engenders the formation of the  $\text{Ca}^{2+}$  binding site.

Con A was one of the first proteins to be crystallized and the first lectin for which the 3-dimensional structure was solved by high resolution X-ray crystallography. Each of its subunits is of a dome shape approximately  $42 \times 40 \times 39 \text{ \AA}$  in size. The predominant structural element of the subunit (almost half of its amino acid residues) is the arrangement of the polypeptide chains in two antiparallel pleated sheets ( $\beta$  structures). The majority of residues not included in the  $\beta$  structures are in loops and bends that connec-

the strands of the pleated sheets the remaining residues do not belong to the regular secondary structures. One of the pleated sheets contains seven antiparallel chains and runs through the center of the protomer; another pleated sheet contains six antiparallel chains.

Two dome-shaped protomers pair to form an ellipsoidal dimer more than 80 Å in length. The dimer is stabilized by hydrogen bonds from the bottom chain of the back  $\beta$  structure of one protomer to the corresponding chain of the back  $\beta$  structure of the second one, giving a contiguous 12-chain pleated sheet that forms the entire back of the dimer. Two such dimers combine to form a tetrahedron-like tetramer with their 12-chain  $\beta$  structures facing each other. The tetramer is stabilized by salt links, hydrogen bonds and hydrophobic interactions involving the side chains projecting from the  $\beta$  structures.

The binding sites for  $Mn^{2+}$  and  $Ca^{2+}$  ions and for carbohydrates are part of the seven-chain pleated sheet. The two metal ions are situated 5 Å apart and are located at the top of each protomer; the carbohydrate binding site is located 12 Å from the  $Mn^{2+}$  binding site and 7 Å from the  $Ca^{2+}$  site.

Most legume lectins are glycoproteins containing up to 10% carbohydrate in a form of few N-linked carbohydrate units. These can be of two types, one consists of N-acetylglucosamine and mannose and is identical to the oligomannose units

found for example, in animals, indicating a common biosynthetic pathway for all organisms. The other contains a structure unique to plants with  $\beta$  1—2 linked xylose and with (or without)  $\beta$  1—3 linked L fucose in the core pentasaccharide, indicating that the processing of N-linked 5 oligosaccharides in plants can differ from that in other organisms. PHA contains oligosaccharides of both types in the same molecule. The carbohydrate does not appear to be required for the sugar binding or biological activities of the glycoprotein lectins. The most convincing proof is the finding that the unglycosylated L-PHA, synthesized in *E. coli*, had the same leukoagglutinating and mitogenic activity as the native glycosylated lectin.

PHA can, under suitable conditions, be separated into different molecular forms or isolectins. The relative proportions of the isolectins of a particular lectin may vary among different species of the same plant, which suggests that they are coded by different genes. The isolectins of PHA represent a family of five tetrameric proteins with varying proportions of two classes of subunit, E and L, which differ in their specificity for oligosaccharides and in their biological properties;  $E_4$  ( $E$ -PHA) is a potent hemagglutinin and poor mitogen, whereas (L-PHA has leukoagglutinating activity (i. e., the ability to agglutinate white blood cells such as lymphocytes) and is a potent mitogen. Intermediate forms (e. g.,  $E_2L_2$  or  $E_3L$ ) possess both hemagglutinating and mitogenic activities at lower levels.

### CHAPTER 3. ANIMAL LECTINS

An increasing body of evidence demonstrates the existence of a large number of animal lectins. The known lectins may be organized into several categories.

C-type, S-type and the remaining proteins which do not fall into these two groups and are best known in another context. These proteins represent most of

the animal carbohydrate-binding proteins and include: serum immunoglobulins, which have specificity to carbohydrates; virus hemagglutinin; proteins, which mediate the interaction of cells with extracellular matrix (fibronectin and laminin); the mannose-phosphate receptor, which directs transport of proteins to lysosomes;

and serum amyloid protein, a member of the pentraxin family.

**C-type lectins.** A hallmark of these proteins is that their ligand-binding activity is readily demonstrable only in the presence of  $\text{Ca}^{2+}$  and pH above approximately 6.5. Their activity is also dependent on the presence of disulfide bonds. This group comprises two subgroups of proteins: integral membrane components and soluble lectins.

**Integral membrane components.** This subgroup includes the asialoglycoprotein receptor and related proteins. The receptor found in mammals (human, rat) binds to asialoglycoproteins of bloodstream following removal of terminal sialic acid residues. It has selective high affinity for carbohydrates with terminal galactose residues. The endogenous mechanism follows: on the inner surface of endothelial cells there is an enzyme-neuraminidase which removes sialic acid from proteins in the plasma and, in concert with receptor, functions as mammalian clearance system. However direct evidence for this is still lacking and the role of asialoglycoprotein clearance in normal mammalian physiology is still not entirely clear. The fact that liver damage results in a rise of circulation asialoglycoproteins suggests their importance.

Within a few years of the description of mammalian clearance system it was found that galactose-terminated glycoproteins are not rapidly cleared from avian circulation; instead, transfer from the blood to the liver is triggered by removal of galactose from typical N-linked oligosaccharides to expose N-acetylglucosamine.

**Soluble lectins.** This subgroup includes mannose-binding proteins, with closely related properties, isolated from mammalian liver and serum. Structural analysis reveals a striking structural relationship to the membrane lectins discussed so far. Each of them contains a COOH-terminal domain, which is homologous with the membrane lectins. Much of the remainders

of each mannose-binding protein consists of collagen-like sequences, repeated Gly-Pro-hydroxy-Pro triplets as well as hydroxylysine to which carbohydrate is attached [24]. Thus they look like several other proteins which contain collagen-like sequences, including complement component Clq. This component is a constituent part of the complement system. The complement system generally complements and amplifies the action of the antibody and consists of a system of serum proteins. When antigen enters the organism antibodies (IgM and IgG) bind to it. This complex (or microorganism itself) enables the regions of IgM or IgG to bind to the first component of the complement system Clq. As a result the system becomes switched on and the microorganism undergoes a cascade of proteolytic reactions which form holes in the microorganism and thereby destroy it.

Clq is a large protein complex (45,000 daltons) made up of six identical subunits, each composed of three different polypeptide chains; the carboxylterminal halves of each of the three polypeptide chains in a subunit are folded in a globular structure; the amino-terminal halves have a typical collagen amino acid sequence and are wound together to form a collagen-like triple stranded helix. The six subunits are linked by disulfide bonds between their triple helical stems forming a structure that resembles a bunch of tulips.

It has recently been shown that at least one form of mannose-binding protein can fix complement. In other words, sera from various mammals are known to contain a binding protein which can recognize and bind mannose and N-acetylglucosamine residues (we can call this serum mannan-binding). This protein has been shown to activate the complement system through the classical pathway. It has been suggested that this may form 'preimmune' protection: pathogens with mannose containing surfaces (yeast) are recognized independently of antibodies [25].

Thus, rather than being connected with membrane anchors the mannose-binding protein may trigger alternative and entirely different set of extracellular proteins—the complement cascade.

**S-type lectins** Carbohydrate-binding activity of this group of proteins is independent of divalent cations. They are generally assayed in the presence of thiols because oxidation inhibits their activity. Most of them described to date can be solubilized in the absence of detergents. Thus, they have been referred to as soluble tissue lectins. At times, they have been designated 14—16K lectins since the molecular weights of many of these proteins are similar. They have a wide tissue distribution in mammalian and avian muscles, lungs, and brain; for instance, L-14, a soluble lectin, was shown to be deposited in muscle extracellular matrix by binding to lamininpolylactose-amines and, since laminin has been implicated in the developmental regulation of muscle proliferation, migration differentiation and synaptogenesis, L-14 also may play a role in these processes.

A large number of the S-type lectins share binding specificity for B-galactosides, although more detailed studies reveal that some of them show distinct selectivity for more complex galactose containing oligosaccharides.

The detailed subcellular localization of them has been somewhat difficult to establish. There is no question that they are found within cells, generally in cytoplasmic (cytosolic) compartment. On the other hand, there is considerable evidence that many of these lectins can be found outside the cell. However there is a rea-

son for concern on this point: S-type lectins may be inactivated under oxidizing conditions such as those in the extracellular medium. Thus, the subcellular localization of S-type lectins has been the subject of controversy.

It has been noted for some time that the appearance of many of the S-type lectins is developmentally regulated suggesting that their appearance may be temporally coordinated with the expression of a specific carbohydrate structure. Thus, functional subset of primary sensory neurons in mammalian dorsal root ganglia (DRG) have been shown to express specific cell-surface oligosaccharide structure [26]. Moreover, two endogenous lactose-specific lectins with an affinity for sensory neuron glycoconjugates are also synthesized by subsets of DRG neurons and are present in the dorsal horn of the developing spinal cord. The distribution of lectins was examined by immunoblotting and by immunohistochemistry in embryonic and postnatal rat DRG and spinal cord. The expression of these lectins in sensory terminals appears to be developmentally regulated; at later stages of postnatal development the immunoreactivity of lectins decreases. The preferential localization of the glycoconjugates and the lectins suggests that these complementary molecules contribute to the development and function of primary sensory neurons [26].

Thus, S-type lectins in brain may be involved in the selective establishment of interneuronal contacts, which in turn suggest that lectins may be mediators of cell-cell and cell-matrix interactions in other situations as well.

## APPLICATION OF LECTINS

The list of applications for lectins is growing rapidly and the potential of these proteins is far from completely explored. They are being widely used for preparative and analytical purposes in biochemistry, cell biology, immunology and rela-

ted areas. Lectins have been shown to be extremely useful for:

1. Isolation, purification and structural studies of carbohydrate-containing polymers (glycoconjugates). Since the specificity of lectins is confined to sugars they



can be used for detection and purification of a variety of glycoconjugates. Moreover, lectins are often stable in the presence of low concentrations of certain detergents permitting their use for the purification of membrane glycoproteins. For preparative purposes, affinity chromatography of glycoproteins on lectins is very useful. Any membrane glycoproteins isolated with the aid of lectins are often referred to as lectin receptors.

2. Lectins labeled with radioactive isotopes or with compounds that are visible under a microscope are employed. Radio-labeled lectins and occasionally fluorescent lectins are used to measure the number of lectin receptor sites on the cell surface and their homogeneity. Individual molecules of ferritin and hemocyanin that are coupled to lectins are easily distinguishable in the electron microscope and can be counted;

3. In principle any population of cells whether from animals, plants or microorganisms, may be sorted into subpopulations by interaction with lectins, provided the cells differ in their cell-surface sugars. Thus lectins have been shown to be extremely useful for the fractionation of cells into biologically distinct subpopulations. Here is an impressive example: peanut agglutinin selectively agglutinates cortical (mature) thymocytes. It allowed the mechanism of lymphocyte maturation in the thymus to be tackled directly.

4. Since some lectins possess mitogenic activity they can be used in studies of events concerning initiation of cell division or studies on lymphokines. In stimulating cells, the chromosomes become easily visualized, thus lectins can serve for facile karyotyping, sex determination and detection of chromosomal defects. Mitogenic stimulation by lectins has provided a simple means to assess the immuno-competence of patients suffering from various diseases (i. e. AIDS), and has been employed to test the lymphocyte efficiency of astronauts after space flights.

5. Following the transplantation of bo-

ne marrow between genetically nonidentical individuals, the main cause of mortality in patients treated with allogenic bone marrow is the reaction between the cells responsible for graft reaction versus host reaction. The soybean lectin effectively removes these cells from human bone marrow. To date many children born with severe combined immunodeficiency have been successfully treated with bone marrow transplants pretreated by the lectin. Application of the soybean agglutinin method to the treatment of leukemic patients is in progress in many laboratories and shows promising results.

**Diagnostic application.** Many tumors can be distinguished from normal tissue based on the absence of abnormally expressed glycoproteins or the expression of an incomplete glycoprotein structure. More, lectins are being used to identify changes in carbohydrate structure between normal and cancer cells [27, 28].

Peanut agglutinin (PNA) has been used to detect certain cancers of the colon, breast, and stomach [5,6]. Of interest is that the PNA receptor presented in some cancer tissues in normal tissue is marked by a terminal sialic acid residue which prevents the lectin carbohydrate interactions.

However the application of lectins for routine diagnosis of pathological specimens is still in its infancy. Recently it has been shown that PNA, as well as other lectins, fail [19] to show any major differences in binding between normal and cancer pancreatic tissues [19]. Many of the results are still inconclusive and some of the research has been done using only a limited number of lectins. Many of diagnostic uses for lectins have yet to be developed.

**Therapeutic applications.** One of the most studied mitogenic lectins (PNA-L) has recently been proposed as a potential therapeutic agent [26]. This lectin shows the potential to inhibit graft/host reaction in transplantation studies and may promote the production of cytotoxic agents

which would be useful in cancer therapy. PNA-L has been used alone in preliminary studies but may actually be more useful when used in combination with other therapies. The main advantage of PHA-L as a therapeutic agent is its low toxicity. Fortunately the maximum mitogenic response is generally obtained at a concentration below its toxic level [31].

In contrast to PHA-L, the toxic nature of some other lectins (most notably ricin from castor beans and abrin from jequirity beans) has been applied in the therapeutic treatment of some cancers. In general, the toxic lectins have two major components. One subunit of the protein is responsible for carbohydrate-binding while the other subunit is considered to be the toxic component. In studies performed on the isolated subunits, the toxic component doesn't appear to have any carbohydrate binding ability. Well established separation techniques have been employed to isolate each of the components in a highly purified form. By crosslinking the isolated toxin to a monoclonal antibody, highly specific immunotoxin hybrids can be produced. The development of monoc-

onal antibodies to a number of specific tumor cell markers has opened up the possibility of immunotoxin therapy for a broad range of cancers.

**Lectins into the next century.** Despite the enormous progress made during the first century of lectin research, many questions remain to be answered. For example, what are the structure of the combining sites of lectins? Are these sites the same in different lectins with the same specificity? What are the contributions of the different forces (hydrophobic, van der Waals, etc.) in the interactions of lectins with carbohydrates and with cells? Will lectins prove to be useful in targeting drugs to cells? and the question of the biological role of lectins, particularly in plants, where they are so abundant, or in invertebrates where they are so widely distributed.

The intensive investigation of lectins gives ground to hope that in a close future these problems will be solved. Today we may also predict and look forward to a time when lectins, with desired specificities, will be obtained by recombinant DNA biotechnology.

## REFERENCES

1. Sharon N. *Sci. Am.*, **233**(6): 108—110, 1977.
2. Goldstern I. J., Etzler M. E. In: *Progress in Clinical and Biological Research*, 138, Alan R. Liss, New York, 1983.
3. Sharon N. *Immunol. Today*, **5**: 143—147, 1984.
4. Sharon N. In: *Glycoconjugate Research*. Academic Press, New York, 459—491, 1979.
5. Mirrelman D. Ed. 1986, John Wiley, New York.
6. Sharon N. In: *Attachment of organisms to the Gut Mucosa*, 1, CRC Press, Boca Raton, Fla., 129—147, 1984.
7. Barondes S. H. *Annu. Rev. Biochem.*, **50**, 207—231, 1981.
8. Barondes S. H. *Science*, **223**, 1259—1264, 1984.
9. Monsigny M. *Biol. Cell*, **51**(2), 113—294, 1984.
10. Lis H., Sharon N. In: *Biology of Carbohydrates*, 2, John Wiley, New York, 1—85, 1984.
11. He do J. A. In: *Receptor Purification Procedures*, 1, Alan R. Liss, New York, 45—60, 1984.
12. Sharon N. In: *Advances in Immunology*, 34, Academic Press, New York, 213 — 298, 1983.
13. Judd W. J. *Crit. Rev. Clin. Lab. Sci.*, **1**, 171—214, 1980.
14. Pistole T. G. *Annu. Rev. Microbiol.*, **34**, 4—9, 1981.
15. Doyle R. J., Käller K. *Eur. J. Clin. Microbiol.*, **3**, 3—9, 1984.
16. Schrevet J., Gros D., Monsigny M. Eds. *Prog. Histochem. Cytochem.*, **14**(2), 1981.
17. Briles E. B. *Int. Rev. Cytol.*, **75**, 101—165, 1982.
18. Asheell G., Morell A. G. *Adv. Enzymol.*, **41**, 99—128, 1984.
19. Asheell G., Hartford J. *Annu. Rev. Biochem.*, **51**, 531—554, 1982.
20. Perry A., Ofek I. *Infect. Immun.*, **43**, 257 — 262, 1984.



21. Ofek I., Mirelman D., Sharon N. Nature, 265, 623—625, 1977.
22. Arnon M., Medalia O., Schor L., Mirelman D., Sharon N., Ofek I. J. Infect. Dis., 139, 329—332, 1979.
23. Sharon N. FEBS Lett., 217, 145—157, 1987.
24. Colley K. J., Baenziger J. U. J. Biol. Chem., 262, 10290—10295, 1987.
25. Eda I. K. J. Biol. Chem., 262, 7451—7454.
26. Regan L. J. Proc. Natl. Acad. Sci. USA, 83, 2248—2252, 1986.
27. Weinberg D. S. Blood, 72, 698—704, 1988.
28. Ebel P. D. Brit. J. Urol., 63, 183—185, 1989.
29. Aulhouse A. L., Soursh M. Developmental Biology, 120, 377—384, 1987.
30. Matsutani E., Yamagata T. Developmental Biology, 92, 544—548, 1982.
31. Wimer B. W. Molecular Biotherapy, 1, 311—317, 1989.

ლექტინები, მათი თვისებები, ფუნქცია და გამოყენება  
ბიოლოგიაში და მდგრადიაზი

### 3. რაცავა

თბილისის სახელმწიფო უნივერსიტეტი

### რეზიუმე

წარმოდგენილია თანამედროვე შეხედულება მცენარეული და ცხოველური წარმოშობის ლექტინების ბუნებაზე. ეს არის ნაშირშულებთან მაღალი თვისობის მქონე ცილები, რომლებიც ერთოთ ცილების აგლუტინაციას და ლიმფოციტების პროლიფერაციას იწვევენ. ფუქრობენ, რომ ლექტინები კითხულობენ მეტად მრავალფეროვან როლს ნაშირშულებში ჩადებულ ინფორმაციას. უგრძელები ზრდა და განვითარება, მათი პროლიფერაცია, მიგრაცია, დიფერენცირება და აგრეთვე ფაგიციტოზი, პარაზიტიზმი, სიმბიოზი და

სხვა ხორციელდება ლექტინებით გაშეალებული პროცესების საფუძველზე. მცენარეული ლექტინები და მათი წარმობულები ფართედ გამოიყენებიან უჯრედის მემბრანების სტრუქტურის და ფუნქციის და აგრეთვე უჯრედის დაყოფასთან დაკავშირებული მოვლენების შესასწავლად. ისინი გამოიყენებიან დიაგნოსტიკურ მედიცინაში, როგორც ძლიერი თერაპიული აგენტები, ძვლის ტვინის ტრანსპლანტაციის დროს, ლიმფოციტების ეფექტურობის დასადგენად და სხვა.

## ЛЕКТИНЫ, ИХ СВОЙСТВА, ФУНКЦИЯ И ПРИМЕНЕНИЕ В БИОЛОГИИ И МЕДИЦИНЕ

Э. А. РАПАВА

Тбилисский государственный университет

### Резюме

Представлена современная точка зрения на природу лектинов растительного и животного происхождения. Это белки, обладающие сродством к углеродам, агглютинирующие эритроциты и стимулирующие пролиферацию лимфоцитов. Им приписывается роль молекул, декодирующих информацию, заложенную в отличающихся своим многообразием сложных углеводах. Рост и развитие клеток, их пролиферация, миграция, дифференцировка, а также фагоцитоз, паразитизм,

симбиоз и другие осуществляются за счет событий, опосредованных лектинами.

Растительные лектины и их производные широко применяются в исследованиях структуры и функции клеточных мембранных, событий, касающихся клеточного деления, для тестирования эффективности лимфоцитов при различных патологиях, при трансплантации костного мозга, при диагностике рака и как мощные терапевтические агенты.

УДК 577.15 : 634.31 : 631.84

БИОХИМИЯ

## АКТИВНОСТЬ ФЕРМЕНТА АССИМИЛЯЦИИ АЗОТА В ЛИСТЬЯХ АПЕЛЬСИНА СОРТА ВАШИНГТОН-НАВЕЛЬ В ЗАВИСИМОСТИ ОТ СРОКОВ ВНЕСЕНИЯ АЗОТНЫХ УДОБРЕНИЙ

В. П. Цанава, М. Я. Трапаидзе

Научно-производственное объединение по виноградарству, субтропическим культурам и чайной промышленности, Озургети—Анасвани

Поступила в редакцию 2.04.91

Изучено влияние форм (сульфат аммония, нитрат аммония, мочевина, нитрат натрия) азотных удобрений на активность ферментов ассимиляции азота в листьях апельсина Вашингтон-Навель в зависимости от сроков внесения азотных удобрений.

По показателям активности ферментов первичной ассимиляции азота первую подкормку апельсиновых деревьев азотом целесообразно проводить в амидной форме, а вторую — нитратной.

Потребление растениями питательных веществ различно в зависимости от прохождения ими фаз развития за вегетационный период. Так как активность ферментов ассимиляции азота является показателем усвоения растениями этого важнейшего элемента питания, то активность этих ферментов должна различаться в течение вегетационного периода и отражать обеспеченность растений азотом в различных фазах развития.

Короткий вегетационный период для цитрусовых культур в условиях влажных субтропиков Западной Грузии, опасность отрицательного влияния низких зимних температур, позднее цветение, обычно приходящееся на засушливый период, ликуют необходимость разработки специфической системы питания цитрусовых культур, обеспечивающей создания оптимальных условий для прохождения фенофаз [2].

Рациональное использование азотных удобрений и повышение их эффективности создает необходимость разработать такую систему, которая обеспечит потребность растений в тот период фенологического развития, когда потребность в азоте максимальна.

Наибольший расход азота у цитрусовых растений наблюдается весной как следствие потребностей весеннего прорастания побегов, цветения и развития плодов [5].

В длительных полевых опытах по установлению норм и сроков внесения азотных удобрений под цитрусовые в условиях влажных субтропиков показана эффективность дробного внесения азотных удобрений [3].

Согласно агроправилам цитрусовых культур [1] азотные удобрения вносятся в два срока: 60% нормы весной до начала цветения — в виде мочевины, азотокислого аммония или сернокислого аммония и 40% нормы после цветения до 15 июля — в виде нитрата натрия или азотокислого аммония.

Для того, чтобы по показателям активности ферментов ассимиляции азота определить какая из вносимых под Вашингтон-Навель форм азотных удобрений лучше усваивается растением в зависимости от сроков их внесения, нами в течение 3 лет в полевых условиях изучалась активность нитратредуктазы и глутаматдегидрогеназы листьев.

В исследованиях был использован полевой опыт отдела агрохимии ВНИИ чая и субтропических культур по изучению эффективности форм азотных удобрений (сульфат аммония, нитрат аммония, мочевина, нитрат натрия), внесенных под культуру апельсина сорта Вашингтон-Навель.

Опыт был заложен в 1976 году с 2-летними саженцами апельсина. Повторность 6-кратная. В каждом варианте 24 учетных деревьев, площадь питания  $2,21 \times 3,0$  м на террасах. Общая площадь 0,31 га. Известкование по одной обменной кислотности проведено в 1979 и 1982 годах. Р<sub>300</sub>, К<sub>200</sub> г/дер вносили в качестве фона в 2 года раз, навоз 30 кг/дер в 1974, 1980, 1986 гг.; норма азота составляет 150 г/дер.

Предварительными опытами доказано, что НР и ГДГ наиболее активны в молодых полностью сформировав-

шихся листьях с верхнего яруса деревьев в утренние часы.

Активность ферментов определяли до начала цветения (вслед за внесением 60% от нормы, апрель) и после цветения (40% нормы, июнь).

Активность нитратредуктазы в интактных тканях листьев определяли по методу Мульдера [6]. За единицу активности ферmenta принимали количество  $\text{NO}_2^-$ , образовавшегося за 30 мин на 1 г сырого веса материала. Удельную активность рассчитывали как число единиц активности на 1 мг белка и выражали в мкмолях.

Активность глутаматдегидрогеназы определяли спектрофотометрическим методом по скорости окисления НАД·Н или восстановления НАД<sup>+</sup> при 340 нм [7].

Белок определяли методом Лоури [8]. Аналитическая повторность 5-кратная. Статистическую обработку проводили по Б. А. Доспехову [4].

## РЕЗУЛЬТАТЫ ИССЛЕДОВАНИЯ И ИХ ОБСУЖДЕНИЕ

При внесении первой доли нормы высокая активность нитратредуктазы отмечена на варианте удобрения мочевиной ( $3,33 \pm 0,03$  мкмоль  $\text{NO}_2^-$ /г сырой массы), далее следует вариант нитрата натрия ( $2,98 \pm 0,04$  мкмоль  $\text{NO}_2^-$ /г сырой массы) и вариант нитрата аммония ( $2,21 \pm 0,03$  мкмоль

Таблица 1  
Активность нитратредуктазы листьев апельсина Вашингтон-Навель в зависимости от сроков внесения форм азотных удобрений

(Среднее за 1986—1983 гг.)

Вариант опыта	Активность нитратредуктазы (мкмоль $\text{NO}_2^-$ /г сырой массы 30 мин)	
	60% M ± m до начала цветения	40% M ± m после цветения
Без удобрения	0,61 ± 0,04	0,68 ± 0,07
РК+CaO (фон)	0,83 ± 0,23	1,02 ± 0,14
Фон+(NH <sub>4</sub> ) <sub>2</sub> SO <sub>4</sub>	1,31 ± 0,03	1,50 ± 0,14
Фон+(NH <sub>4</sub> ) <sub>2</sub> SO <sub>4</sub> + +NH <sub>4</sub> NO <sub>3</sub>	1,70 ± 0,03	1,93 ± 0,23
Фон+NH <sub>4</sub> NO <sub>3</sub>	2,21 ± 0,3	2,32 ± 0,05
Фон+CO(NH <sub>2</sub> ) <sub>2</sub>	3,33 ± 0,03	3,51 ± 0,04
Фон+NaNO <sub>3</sub>	2,99 ± 0,04	3,77 ± 0,3

$\text{NO}_2^-$ /г сырой массы). Эти и другие результаты представлены в табл. 1 и 2).

По активности глутаматдегидрогеназы выделяется вариант нитрата аммония ( $174,3 \pm 0,23$  мкмоль НАД·Н), далее следуют варианты мочевины ( $148,4 \pm 0,26$  мкмоль НАД·Н) и нитрата аммония ( $120,3 \pm 0,04$  мкмоль НАД·Н) и нитрата натрия ( $91,2 \pm 0,23$  мкмоль НАД·Н).

Таблица 2

Активность глутаматдегидрогеназы листьев апельсина Вашингтон-Навель в зависимости от сроков внесения форм азотных удобрений

(Среднее за 1986—1983 гг.)

Вариант опыта	Активность глутаматдегидрогеназы (мкмоль НАД·Н мин <sup>-1</sup> )	
	60 ± m до начала цветения	40% M ± m после цветения
Без удобрения	51,3 ± 0,16	55,6 ± 0,3
РК+CaO (фон)	93,7 ± 0,23	81,2 ± 0,23
Фон+(NH <sub>4</sub> ) <sub>2</sub> SO <sub>4</sub>	90,0 ± 0,1	96,46 ± 0,03
Фон+(NH <sub>4</sub> ) <sub>2</sub> SO <sub>4</sub> + +NH <sub>4</sub> NO <sub>3</sub>	111,2 ± 0,3	120,3 ± 0,04
Фон+NH <sub>4</sub> NO <sub>3</sub>	174,3 ± 0,23	184,4 ± 0,23
Фон+CO(NH <sub>2</sub> ) <sub>2</sub>	148,4 ± 0,26	154,4 ± 0,03
Фон+NaNO <sub>3</sub>	132,7 ± 0,04	137,4 ± 0,4

рата натрия ( $132,7 \pm 0,04$  мкмоль НАД·Н).

При внесении второй доли нормы азотных удобрений после цветения увеличение активности нитратредуктазы происходит в следующей последовательности: нитрат натрия ( $3,77 \pm 0,3$  мкмоль  $\text{NO}_2^-/\text{г}$  сырой массы), мочевина ( $3,51 \pm 0,04$  мкмоль  $\text{NO}_2^-/\text{г}$  сырой массы) и нитрат аммония ( $2,32 \pm 0,05$  мкмоль  $\text{NO}_2^-/\text{г}$  сырой массы).

Активность глутаматдегидрогеназы в этом случае дает следующую картину: наивысшая активность отмечается при внесении нитрата аммония —  $187,4 \pm 0,23$  мкмоль НАД·Н, при внесении мочевины составляет  $154,4 \pm 0,04$  мкмоль НАД·Н, а для нитрата натрия —  $137,4 \pm 0,03$  мкмоль НАД·Н.

Полученные данные показали, что, судя по активности нитратредуктазы и глутаматдегидрогеназы, растения апельсина Вашингтон-Навель из указанных в агроправилах форм азотных удобрений при внесении первой доли нормы в наибольшем количестве усваивает азот мочевины. Нитрат натрия, внесенный весной, превосходит указанные в агроправилах две другие формы нитрат аммония и сульфат аммония, уступая только мочевине, однако по действующим агроправилам внесение нитрата натрия не рекомендуется.

Выявлена также некоторая разница в выборе форм азотных удобрений для второго срока внесения. Так, по

активности нитратредуктазы на втором месте после нитрата натрия здесь выступает мочевина (внесение которой не рекомендовано агроправилами), намного превосходя рекомендованную агроправилами форму — нитрат аммония.

Таким образом, можно считать, что по показателям активности ферментов первичной ассимиляции азота, первую подкормку апельсиновых деревьев азотом целесообразно проводить в амидной форме, а вторую — нитратной.

Разные показатели активности ферментов ассимиляции азота в листьях апельсина Вашингтон-Навель при первой и второй подкормке азотом в зависимости от форм азотных удобрений можно объяснить тем, что весной у амидных и амиачных форм азотных удобрений высвобождение ассилируемого азота происходит более медленно и лучше подходит к низкой адсорбционной способности растений в этот период. Летом адсорбционная способность корневой системы более высокая и питательные вещества, особенно нитратные, быстрее усваиваются растением [5].

Этим же следует объяснить тот факт, что при первой подкормке, когда вносится большая часть (60%) нормы, активность ферментов несколько ниже по сравнению со второй подкормкой, когда вносится меньшая часть (40%) нормы.

## ЛИТЕРАТУРА

1. Агроправила по цитрусовым культурам, Тбилиси, 1979.
2. Гамкрелидзе И. Д. Система удобрения цитрусовых садов, М., «Колос», 1971, 216.
3. Гамкрелидзе И. Д., Бзиава М. Л., Габисония М. В. Субтропические культуры, 1—2, 58—91, 1961.
4. Доспехов Б. А. Методика полевого опыта. М., Колос, 1979, 412.
5. Millor Primo E. Lewante agricola, 245, 39—59, 1983.
6. Mulder E. G., Boxma R. Van Veen W. L. Plant Soil, 10, 335—355, 1959.
7. Kaufman S.  $\alpha$ -Ketoglyutaric dehydrogenase system and phosphorylating enzyme from heart muscle. Methods in Enzymology. Edited by S. P. Golowick and N. O. Kaplan. Academic Press. New York, I, 714—718, 1955.
8. Lowry O. A., Rosenblough H. J., Ferr A. Z. Randall P. J. Biol. Chem., 193, 1, 265—275, 1951.

ფორმულალ გაშინებულ-ნაველი აზოტის ასიმილაციის  
ფერმენტების ართობა აზოტოვანი სასურველის შეტანის  
გადახმარება და გადამზადება

ვ. ცანავა, მ. ტრაპაიძე

ჩაის, სუბტროპიკულ კულტურათა და ჩაის მრეწველობის სამეცნიერო-საწარმოთ  
გაერთიანება, თბილისის ანასეული

## რეზიუმე

შესწავლილია აზოტოვანი სასუქების  
ფორმების (ამონიუმის სულფატი, ამონი-  
უმის ნიტრატი, შარლოვანა, ნატრიუმის  
ნიტრატი) გავლენა აზოტის ასიმილაციის  
ფერმენტების აქტიობაზე ფორმობალ ვა-  
შინგტონ-ნაველის ფოთლებში აზოტოვანი

სასუქების ფორმების შეტანის ვალებთან  
დაკავშირებით.

აზოტის პირველადი ასიმილაციის  
ფერმენტების აქტიობის მიხედვით ფორ-  
მობალის პირველადი გამოკვება მიზანშე-  
წონილია ამიდური ფორმის აზოტით, ხო-  
ლო მეორადი — ნიტრატულით.

## THE ACTIVITY OF THE NITROGEN ASSIMILATION ENZYMES IN THE ORANGE WASHINGTON-NEVEL, DEPENDING ON THE DATES OF NITROGEN FERTILIZER ADMINISTRATION

V. TSANAVA, M. TRAPAI'DZE

Scientific - Industrial Amalgamation of Tea, Subtropical  
Crops and Tea Industry, Ozurgeti—Anaseuli

### S u m m a r y

Influence of different nitric fertilizers (Ammonium sulphate, Ammonium nitrate, Sodium nitrate) on the activity of nitrogen assimilating enzymes in the Washington-Nevel orange leaves was studied at various dates of the fertilizer administration.

According to the nitrogen primary assimilation activity of the enzymes it is suggested that the first administration of the fertilizer should be in the ammonic form, and the second administration—in the nitric one.

წარ 564.5

აალობის გაცვლის

## დგანის გვიანილაფრანტული ნამარხი ადამიანის ჩვედა გაის შესახებ

ლ. გაგუა, ა. ვაკუა, ა. რუსტესი

საქართველოს მეცნიერებათა აკადემიის ლ. დავითაშვილის სახელობის

პალეობილოგიის ინსტიტუტი, თბილისი

რომაულ-გრძანული უნიტრალური მუზეუმი, მაინცი

მოცემულია დმანისის მიმამობის (აღმოსავლეთ საქართველო) ადრეული პლეიისტოცენის ადამიანის ქვედა ყბის შედარებით დაწერილებითი ოწერა. გმოთქმულია მისაწერება, რომ მისი თავისებურებები წარმოადგენს არქაული *Homo erectus*-ისა და ამ სახეობაზე უფრო აღრინდელი პომინილების, აგრეთვე *H. sapiens*-ის ზოვიერთო აღრინდელი ფორმის თვისებების თავისებურ შერჩევას.

დრამისელი უთუოდ ძეგუოვნება ნამარხი პომინილების მი ჯგუფს, რომელმაც პირველად შემოაღწია აფრიკიდან ეკაზაში.

1991 წ. 24 სექტემბერს დმანისის ექსპედიციის ქვეის ხანის აჩქერლოგიის რასმის წევრმა ანთა იუსტუსმა გვიან ვალაფრანტული ასაყის ძვლიან შრეში მიაკვლია აღმიანის ქვედა ყბას. ამ იშვიათმა მონაბოვარმა მყისვე მიიძყორ არა მარტო სპეციალისტების (გაფარიძე და სხვ., 1991), არამედ ფართო საზოგადოებრივობის ყურადღება, რადგან ნათელი იყო, რომ საქმე გვქონდა ევრაზიის ერთ-ერთ უძველეს აღმიანთან. მოგვყავს ამ იშვიათმა მონაბოვრის მეტ-ნაკლებად სრულა აღწერა.

დმანისის ნამარხი ქვედა ყბა (ნ. 6, 1, 2) ეკუთვნის ახალგაზრდა, დაახლოებით 22—24 წლის ინდივიდს, რომლის  $M_3$ -ს მხოლოდ ოდნავ ეტყობა სუსტი მოცვე-თილობა. სამწერაოლ, ამ ყბას ორივე აღმავალი ტოტი (*ramus mandibulae*) მოტეხილი აქვს, დაზიანებული აქვს აგრეთვე სხეულის ფუძის (*basis mandibulae*) უკანა ნაწილი (დაახლოებით  $P_4$ -ს უკან). აღმავალი ტოტები მოტეხილია თითქმის ერთ დონეზე: ქვედა ყბის სხეულის ღრმულების მიმბრულების მისაწერებით ამობრულური ამობრულულობის უკან. კველა კბილი თავის ადგილზე და ქვედა ყბის შემორჩენილ ნაწილს დაფორმაციის არავითარი კვალი არ ემჩნევა.

ქვედა ყბის მხოლოდ რამდენიმე სიგრძიები განცხომილება ჩვენთვის მისაწერდომი: ალვეოლარული რკალის სიგრძე (63,5 მმ), პარალაქტეალური რკალის სიგრძე (27,4 მმ), მანძილი ქვედა ყბის ყველაზე წინა წერტილიდან სიმფიზური ნაწილის უკანა კიდემდე (17,0 მმ) და, აგრეთვე, კიდევ რამდენიმე ნაკლებად დამახსიათებელი განწირება.

თუ ვიმსჯელებთ ალვეოლარული რკალის სიგრძის მიხედვით, დმანისის ქვედა ყბა ზომიერად გრძელი ქვედა ყბების ჯგუფს უნდა მიეკუთვნოს (A. de Lumley და სხვ., 1982), თუმცა მისი სიგრძე მაინც აღემატება ნეანდერტალელამდელი აღმანების უმრავლესობის ქვედა ყბის სიგრძეს (ამ მხრივ თითქმის მხოლოდ „არაგო 13“ ქვედა ყბას ჩამორჩება). მაგრამ  $M_3$ -ის დონეზე ქვედა ყბის კბილების რკალის სრული სიგანით (61,4 მმ) ნამარხი დმანის სელი აშკარად ჩამორჩება ჩვენთვის ცნობილ უკელა ნეანდერტალელამდელ აღმიანს (აზიის *Homo erectus*-ის ჩათვლით), რაც მისი ყბის მკაფიოდ გამოხატულ სივრტოვეზე მეტყველებს.  $M_3$ -ის დონეზე სხეულის სიგანე (86 მმ) აგრეთვე მოუთითებს დმანისის ქვედა ყბის სივიწროვეს.

რადგან სხვა ნეანდერტალების მდელი აღა-  
მიანების ქვედა ყბებზე ეს განშომილება  
90 მმ-ს სჭირდობს.

ალვეოლარული რკალის სივიწროების  
დასახასიათებლად შეიძლება გამოვიყენოთ  
ამ რკალის სრული სიგრძის შეფარდება  
მის სიგანესთან. ამ შეფარდების გამომხატ-  
ველი ინდექსი დამანისელისათვის არის 103.  
ხოლო ევრაზიის სხვა ნეანდერტალების

ქვე უნდა აღინიშნოს, რომ ტურკანაზე ქვე-  
და ყბა მკვეთრად განსხვავდება დაზღუდული-  
ეგზემპლარისაგან როგორც ბევრად ხაკ-  
ლები მასიურობით, ისე ნიკაპის იგებუ-  
ლებით.

კბილების რკალის კონტური დახლო-  
ებით U-ს ფორმისაა. მისი უკანა ბოლო-  
ები შესამნევებადაა გადახრილი შეტიალუ-  
რი სიბრტყისაკენ (ნახ. 1, 3).

ჩევნ შევეცალეთ გამოვეძებნა ქვედა



ნახ. 1. Homo sp. (დმანისი). ქვედა ყბა  
ზემოდან



ნახ. 2. Homo sp. (დმანისი). ქვედა ყბა  
გარედან

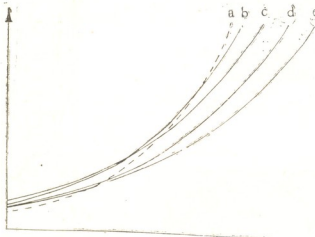
დელი ადამიანებისათვის იგი 85 და 91  
შორის მეტყველდს. ერთ-ერთ ჩვენთაგანს  
(ლ. გაბუნია) საშუალება მიეცა გასცნო-  
ბოდა ცრანკულტრში ტურკანას (ცენტრა-  
ლური აურიკა) უძველესი პიოვეკანტროპის  
ტიპის ადამიანის სივიწროების ქვედა ყბა  
„1500“), რომელსაც თითქმის ისეთივე  
გირჩო ყბა აქვა, როგორც დამანისის ეკ-  
ზემპლარს და რკალის ინოტროპრი ასკა  
მილიონ წარეგარ შესაძლება. თუმცა



ნახ. 3. Homo sp. (დმანისი). ქვედა ყბა ზემოდან  
(სქემატური გამოსხულება)

ყბის სივიწროების ხარისხისა და კბილების  
რკალედის ფორმის ზუსტად გამოსახვის  
საშუალება რკალედის სიგანეთა მმსახვე-  
ლი მონაცემებისა და კომპიუტერული  
ტექნიკის გამოყენებით. დასხარებისათვის  
მიემართეთ ბ-ნ გ. მელიქიძეს, რომელმაც  
გვირჩია შესაბამისი მრუდების ას-  
გებად ექსპონენციალური ფუნქციის მო-  
შველიება. მანვე განვისაზღვრა ზო-  
გიერთი ნამარხი ადამიანის ქვედა  
ყბის ალვეოლარული რკალის სიმ-  
რუდის პარამეტრი (იგულისმება Y-ეს  
ფუნქციის „ა“ მაჩვენებლის მნიშვნელო-  
ბა), რომელსაც შეიძლება პირობითად  
ვუწილოთ სიმრუდის ინდექსი (ნახ.

4, а-е). ეს ინდექსი დმანისის ქვედა ყბისათვის 11,6-ია, ხოლო სხვა ნამარხი ადამიანების ქვედა ყბისათვის გაყილებით დაბალი: ჩინეთის პითეკინთრობებისათვის 7,4 და 8,2; ტოტაველის (არაგო) ადამიანისათვის 7,50 და 7,55, პარდელბერგის ადამიანისათვის 8,7. ყველა ამ მრუდის ასაგებად ჩვენ ვისარგებლეთ 3. როტის (Roth, 1982) მონაცემებით. თუ დავეყრდნობით ტურკანს № 1500 ყბის მულაჟზე და ოლდუვეის „პამინდ 13“-ს ფოტოზე (Tobias, Koenigswald, 1964) წარმოებულ განზომილებებს, ორივე ეს ნამარხი ქვედა ყბა ალვეოლარული რკალის სიმრუდის ინდექსით უახლოვდება დმანისისას: პირველის ინდექსია 10, მეორესი — დაახლოებით 11.



ნახ. 4. დმანისელისა და ზოგურო სხვა ნამარხი ადამიანის კიბლების რკალებს შრედებას შედარება: a — დნანისის ნამარხი ადამიანი, სიმრუდის მაჩერებელი  $a=11,6$ ; b — Homo erectus 15000 (ტურკან),  $a=10$ ; c — პავერის ნამარხი ადამიანი,  $a = 8,7$ ; d — Homo erectus (კოუკოტანი, 673),  $a=8,2$ ; e — ტოტაველის ნამარხი ადამიანი (არაგო 2),  $a=7,5$ .

დმანისის ქვედა ყბის სიმაღლის შესახებ შეიძლება ვიმსჯელოთ მხოლოდ მისი წინა ნაწილის განზომილებებით: ყბის სხეულის სიმაღლე  $P_3$ -ის დონეზე უდრის 27 მმ, სიმფიზის სიმაღლე — 30,3 მმ. ამ მონაცემების მიხედვით, დმანისის ქვედა ყბა ზომიერად მაღალ ქვედა ყბათა ჭიუფს მიეკუთვნება (A. de Lumley და სხვ., 1982). თუ ყბის სხეულის წინა ნაწილის ქვედა და ზედა კიდეების ურთიერთ მდებარეობას დავუკვირდებით, შეიძლება დავასკვნათ, რომ ეს კიდეები დაახლოებით

პარალელური უნდა ყოფილიყო მდებარეობის სხეულის გასწვრივ.

დმანისის ქვედა ყბა სხეულს (*corpus mandibulae*) შედარებით დიდი სისქით ხასიათდება: ლატარელურ გამობურცულობათა დონეზე ეს სისქე 21,5 მმ უდრის, ნიკაბის ხერელის დონეზე — 18,3 მმ; ამ განზომილებათა მიხედვით ის მაინც და მაინც არ განსხვავდება სხვა ნეანდერტალელამდელი ადამიანებისაგან, მაგრამ დიდად გამოირჩევა თავისი მასიურობით. მისი სისქისა და სიმაღლის შეფარდება სიმფიზის დონეზე უდრის 56,6-ს, ხოლო ნიკაბის ხერელის დონეზე — 72-ს. ამ შერივ დმანისელი უახლოვდება „არაგო 13“-ს, რომლის ქვედა ყბა კი ევრაზის ნეანდერტალელამდელი ადამიანებს შორის ყველაზე

დიდი მასიურობით გამოირჩევა (A. de Lumley და სხვ., 1982).

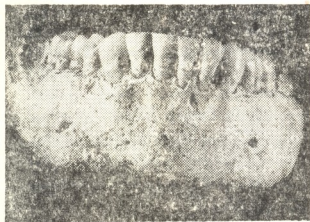
სიმფიზის ნაწილის წინა ზედაპირი (ნ. ა ბ. 5) შედარებით ვიწროა, რაც შეესაბამება ზოგადად ყბის სივიწროვეს. აქ ყურადღებას იპყრობს შუა საჭრელებისა და ლოგების შესატყვისი ამობურცულობები (yuga alveolaria), რომელთა შორის, ლატერალური საჭრელების ფესვების დონეზე, შემჩნევა მკაფიოდ გამოხატული ჩალრმავებები. აღსანიშნავია, აგრეთვე, სუსტი ჩანენებილობა მედიალური საჭრელების შესაბამის შემაღლებათა შორის.

უკელა ეს ამობურცულობა ერთმანეთს ერწყმის სიმფიზის წინა ზედაპირის ცენტრალურ ნაწილში, სადაც ქმნის ერთიან ჟემაღლებას, რომელიც ჟერიძლება ორჯევას როგორც *tuber symphyseos*. მაგრამ ძნელი დასაშვებია, რომ ეს წარმონაქმნა *trigonum mentale*-ს ჩანასახს წარმოადგენდეს: აღნიშნული ამობურცულობა მომრგვალებული ფორმისა და სიმფიზის წინა ზედაპირის ცენტრშია მოთავსებული; ის სწრაფად ჰქონდება უკან ვადაზნექილი ქვედა კიდისავენ, რაც გამოც ნიკაპის სამკუთხიდის ფუძის ნასახიც ჭი არ ჩანს.

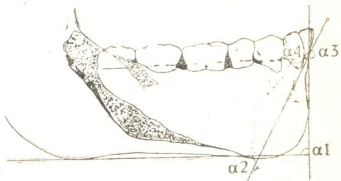
ლატერალური ბორცვები სულ არ არის გამოსახული, მაგრამ მყაფიოდ ჩანს *tuberculum marginale anterior*-ის ძლიერ გამობურცული წინა კიდეები. სიმფიზური ნაწილის ქვედა კადე საკმაოდ

რითაც ნიკაპისა და სიმფიზის დახრილობას გამოხატავენ (ნახ. 6), დრანგის მეტეული და ყბაზე უდრის შესაბამისად  $91^{\circ}$  და  $63,5^{\circ}$ . ამ მხრივ დრანგის უდიდეს არ განსხვავდება სხვა ნეანდერტალელამდელი ადამიანებისაგან, სახელმომართო ტოტაველის ნამარხი ადამიანისაგანაც (A. de Lumley და სხვ., 1982).

სიმფიზის უკანა მხარე (ნახ. 7) ხასიათდება საქმაოდ ძლიერი შიდა შეერილის არსებობით, რაც შეპირობებულია ალვეოლარული მოენის (planum alveolare) შესაბამისი განვითარებით. აღსანიშნავია, რომ ამ ალვეოლარული ზედაპირს თითქმის ისეთივე დაქინება აქვს, როგორიც საჭრელებს, რომელთა ლინგვალური მხარეები ჰქონიან მასთან ერთიან სიბრტყეს.



ნახ. 5. *Homo* sp. (დანისი). ქვედა ყბა წინიდან



ნახ. 6. დრანგის ქვედა ყბის ნიკაპისა და სიმფიზის კუთხეები

ფართოა (მისი სიგანე შუა ხაზის ღონეზე 10 მმ-ია) და შესამჩნევად გაბრტყელებული. *M. digastricuss*-ის მიმაგრების ადგილის ანაბეჭდები სუსტადაა გამოსახული, მაგრამ გარკვევით ჩანს, რომ ეს ანაბეჭდები მთლიანად სიმფიზის ქვედა კიდეზეა მოთავსებული, მეტ-ნაკლებად ოვალური ფორმისაა და ერთმანეთს ნაკლებად დაშორებული. სიმფიზის ქვედა კიდეზე ჩანს ნიკაპისქვეშა ნაკლევი (*incisura submentalalis*). იგი ორადაა გაყოფილი სუსტი შუა შეერილით, რომელიც შეესაბამება ნიკაპის წვეტს (*spina mentalis*). ნიკაპისა და სიმფიზის კუთხეები (1 და 2),

ალვეოლარული სიბრტყის დახრილობა, რაც გამოიხატება კუთხით, რომელსაც ეს სიბრტყე ალვეოლარულ ზედაპირიან ჰქონის (ნახ. 6), დაახლოებით  $43^{\circ}$ -ს შეადგენს. ამ მაჩვენებლით დრანგის უკუთვნება ნამარხი ჰომინიდების იმ ჯუფს, რომლის წარმომადგენლები გამოიჩინებან ალვეოლარული სიბრტყის შედარებით დიდი გამობურცულობით. ალვეოლარული სიბრტყის სიღრდით დრანგის სქარბობს ერთაშის ნამარხი ჰომინიდების უმრავლესობას: დრანგის ქვედა ყბაზე ამ სიბრტყის წინა-უკანა სეგრძის (16,7 მმ) შეფარდება სიმფიზის სიბრტყისქვედა სიაღლესთან (15,0 მმ) შესამჩნევად მეტია,

ვიდრე „არავი 13“-სა და მაუერის (პი-დელბერგელი ადამიანი) ყეგშე, რომლებიც ალვეოლარული სიბრტყის სიდიდით განსაკუთრებით გამოიჩინებიან ნეანდერტალელმდელი ადამიანებს შორის.

ალვეოლარული მოედნის ზედაპირზე შეინიშნება შუა საჭრელებს ქვეშ მოთავსებული ორი პატარი ფოსო. საშუალო სიღრმის fossa genioglossa-ს ფკერზე შემორჩენილია foramen geni superior. ამ ფოსოს ქვედა ნაწილი შემოფარგლულია ორი პატარი წიბოთი, რომლებაც ქვემოთ ერთდება და ქვენის შედარებით მხევილ შეერილ — ნიკაპის წვეტს (spina mentalis).

Torus transversus inferior ნაკლებადაა განვითარებული, ხოლო ფოსო, რომელიც ზოგიერთი ნეანდერტალულმდელი ადამიანის ქვედა ყბაზე ამ გამობურცულობის ქვეშ არის მოქცეული, აქ ძლიერ შეიმჩნევა.

ცნობილია, რომ ნეანდერტალულმდელ ადამიანთა უმრავლესობას ახასიათებს სიმფიზური ნაწილის ალვეოლარული შემადგენლის ძლიერი განვითარება. ამ მხრივაც დამანისელი უახლოვდება იმ ნეანდერტალულმდელ ადამიანებს, რომლებიც სიმფიზის ალვეოლარული ნაწილის განსაკუთრებით ძლიერი განვითარებით გამოიჩინებან.

დანარჩინის ქვედა ყბის სხეულის გარეთა მხარე (ნახ. 2) მკაფიოდ გამოხატული რელიეფურობით ხასიათდება. კარგად ჩას ლატერალური გამობურცულობა (აღმარტინ შტოების მოტეხილობის გამო ამ გამობურცულობის უკანა კიდე არ არის შემორჩენილი) და ზედა ლატერალურ შემალება. ეს უკანასკნელი მეტ-ნაკლებად პორიზონტულია და მისი წინა ბოლო თითქმის ებმის ნიკაპის ხერელის ქვედა კიდეს. ქვედა მარგინალური ამობურცულობა ძალიან სუსტადაა გამოხატული (ნაწილობრივ სხეულის შესაბამისი ნაწილის დაზიანების გამო). მაგრამ შეიძლება ვიფიქროთ, რომ ის რამდენადმე ერწყმოდა სხეულის ქვედა კიდეს. როგორც ითქვა უკვე, წინა მარგინალური ბორცვები ძლიერაა განვითარებული. Sulcus intertoralis შედარებით სუსტადაა გამოხატული:

ნიკაპის ხერელი (foramen mentale) საკმაოდ დაფიც ზომისაა; მოთავსებულობა სხეულის ზე ხასწევ ღლავა დაბლა. ყბის მარცხენა მხარეზე ეს ხერელი გაორებულია.

ყბის შიდა ლატერალური მხარე ზომით დაფიც ძლიერი გამობურცულობით, რომელიც განსაკუთრებით მეტაიდა გამოხატულ უკანა ზედა ნაწილში. ქვედა ყბა-ინის ხაზი (linea mylohyoidea) სუსტად არის გამოსახული. მაიც ჩას, რომ ის პატერალურებისავენ მიერთება, სადაც P3-ს დონეზე ცავი სულ ჰქონდა. ამ ხაზის კვალი დამტკიცია, წინა კიდესაც დაბრილი. ქვედა ყბა-ინის ხაზის ქვეშ მოქცეული სიგრძიები ჩახნებილობა საკმაოდ დრომა, მაგრამ სუსტად შემოუარგლული.

საინტერესოა აღინიშნოს, რომ მიუხედავად ღმმავალი ტოტების მოტეხილობისა, მაიც კარგად ჩას (ნახ. 2,7) ამ ტოტების წინა კიდეების დაბოლოებათა გრძელ გადახრა. ეს თავისებურება შეინიშნება აგსტრალოპითეკუსების H. habilis-ის და, შესაძლოა, ზოგიერთი იავალი პითეკანთრობის ქვედა ყბაზე (L.S.B. Leakey, M. D. Leakey, 1964). რეტრო-მოლარული საკუთხედი მოკლეა და არაღრმა, რაც უთუოდ უკავშირდება ღმმავალ ტოტთა წინა კიდეების ღლიშნულ მკვეთრ გადახრას.

კბილების მწერივი უწყვეტია — უზიასტემო (ნახ. 1—3). საჭრელები საშუალო ზომისაა (ცხრილი 1) და საგრძნობლად გადახრილი წინ; მათი ლინგვალური ზედაპირი ღლავა შემალებულია. ლატერალური საჭრელები ცოტა უფრო ღიღია მედიალურზე, რაც შეინიშნება როგორც გვირგვინის, ისე ფესვების ნაწილში. საგულისხმოა, რომ საერთოდ წინ დაბრილი საჭრელების სულ ზედა ბოლოები რამდენადმე უკანაა გამოლუნული და მეტ-ნაკლებად ვერტიკალურ პოზიციის იძეს. ლოჭი არ სცილდება სხვა კბილების ღონებს, აშკარად წაწვეტებულია და რამდენადმე დაგრძელებული. მას კარგად აქვთ გამოხატული გარეთა საყელო. აგრეთვე ცოტაოდენ დაგრძელებულია P3-ც, რომლის გვირგვინი რამდენადმე ვიწროვდება წინა კიდისაც ნაკვერციანი გარეთა კადელი.

მკეთრი მედიალური დახრილობით ხასიათდება. ამის გამო, რომ მის ლაბიალურ ბორცვებს, პროტოკონიდს, თითქმის ცენტრალური პოზიცია უკავია. მეტაკონიდი უფრო ფუძის ამობურცულობის შექველებას ჰგავს, ვიდრე განმხოლებულ ბორცვს. გარეთ საყელოს კვალი მეტალოდ ემჩნევა ამ კბილსაც. მის პროტოკონიდს წინიდან საზღვრავს მოქლე მეზოო-ლინგვალური ღარი (*isovea*), ხოლო უკნიდან — კარგად განვითარებული დისტალური ღარი; ტალონიდი შედარებით გრძელია (1,9 მმ).  $P_4$  მკეთრად განსხვავდება მესამე პრემოლარისაგან როგორც საერთო პროპორცია ჰგავს.

ლიც გვაგონებს ჰადარის პომინილება (Johansson et al., 1976) და ოლურ გვაგონების (Tobias et al., 1964) ქვედა პრემოლარებზე არსებულ განლაგებას.

არქაულობის აშვარა ნიშნები ჩანს მოლარებზეც, რომლებიც ხასიათდება შედარებით დიდი ზომებითა და ძლიერი დანაოჭებით, აგრეთვე სამივე კბილზე დროინდოუკის გამოსახულებისა და მეტებსებორცვის (*\*überulum sextum*) არსებობით. ამავე ღრის მოლარები ისეთი საპირიტური ნიშნებით გამოიჩინება, როგორიცაა მათი სიდიდის შემცირება პირველი-

## ც ხ რ ი ლ ი 1

	I <sub>1</sub>	M-D		MD x VL	VL MD x 100
		V-L	5.9		
I <sub>2</sub>	M-D	6.6	42.2	71.3	97.6
	V-L	6.4			
C	M-D	8.7	71.3	8.2	94.5
	V-L				
$P_3$	M-D	9	88.2	9.8	108.9
	V-L				
$P_4$	M-D	8.1	74.5	9.2	110.5
	V-L				
$M_1$	M-D	13.2	162.8	12.3	94.6
	V-L				
$M_2$	M-D	12.3	141.4	11.5	94.6
	V-L				
$M_3$	M-D	11.2	118.7	10.6	96.8
	V-L				

M — D — მედიალურ-დისტალური;

V — ვერტიბრალურ-ლინგვალური

ებით, ისე ბევრად უფრო განვითარებული მეტაკონიდით. იგი შედარებით მოკლეა და მომრგვალებულ-თოხუთხა ფორმის. ორივე *isovea*, წინაც და უკანაც, კარგადაა განვითარებული, თუმცა ამ უკანასკნელს უფრო დისტო-ლინგვალური პოზიცია უკავია, როგორც იავის *H. erectus*-ს ქვედა ყბაზე (Tobias et al., 1964). ტალონიდი უფრო გრძელია (2,5 მმ), ვიდრე მესამე პრემოლარზე. გარეთ საყელო ამ კბილზეც ჩანს, მხოლოდ უფრო მკრთალად.

პრემოლარების ერთმანეთისაგან მკაფიოდ გამოსახული განსხვავდება, განსაკუთრებით კი  $P_3$ -ს გარეთა კედლის საკმაოდ ძლიერი მედიალური გადახრა აშენად პრიმიტიული თავისებურებაა, რომე-

დან მესამისაკენ (ცხრილი 1) და შედარებით სუსტად გამოხატული ტავრლდონტიზმი.

უცალოთ დამანისის ადამიანის ქვედაყბის მორფოლოგიური და მეტრიკული ნიშან-თვალისებების მოკლედ შეჯამება.

1. დამანისის ადამიანის ქვედა ყბა შედარებით გრძელია და ძალიან ვიწრო. მისი ალვეოლარული რკალის სივიწროვის ინდექსი, რასაც გამოხატავს ამ რკალის სრული სივრცისა და  $M_3$ -ს დონეზე მისი სიგანის შეფარდება, უდრის 103-ს (სხვა ნეანდერტალელმდელ ადამიანებში ეს ინდექსი მერყეობს 85 და 91 ფარგლებში). კბილების რკალის კონტური დახასიათდებით  $U$ -ს ფორმისაა, ხოლო ამ რკალის უკანა ბოლოები ღონიავ გალუნულია მედიალური სიბრტყისაკენ.

2. პორიზონტული ტოტი გამოიჩინა, მასიურობით. მისი გარეთა ზედაპირის ამბურცულობები და ბორცვები შევეთრად არის გამოხატული. შიდა ზედაპირზე ყურადღებას იპყრობს ქვედა ნაწილის ძლიერი ჩინჩევილობა და ქვედა-უკანა კიდის გარეთ გადახრა.

3. სიმფიზის გარეთა ზედაპირი ხასიათდება ზომიერად გამოხატული ნიკაპის ცენტრალური ამბურცულობით, რომელიც სწრაფად ჰქონდება სიმფიზის ქვედა ნაწილში, სადაც მას ენაცვლება უკან გადახრილი სიმფიზის ქვედა კიდე. ჩვენი აზრით, ეს ცენტრალური ამბურცულობა შეიძლება აღვიჯვათ როგორც ძველი ჰომინიდებისაგან მეკვედრეობით მიღებული პლეზიომორფია, ანდა როგორც პარალელიზმის წესით ნააღრევად განვითარებული ნიშან-თვისება.

4. სიმფიზის შიდა ზედაპირზე ყურადღებას იქცევს საქმაოდ განვითარებული და გამობურცული planum alveolare. მისი წინა-უკანა სიგრძის (16.7 მმ) შეფარდება სიმფიზის ალვეოლარული მოედნის ქვედა სიმაღლესთან (15 მმ) აშერად აღმატება სხვა ნეანდერტალელმდელი ადამიანების შესაბამის მონაცემებს, კერძოდ არაგა 13-სა და მაუერისას (A. de Lumley et al., 1982), რომელიც განსაკუთრებით გამოიჩინან planum alveolare-ს ძლიერი განვითარებით. ნაჭრელებსა და pl. alveolare-ს ერთნაირადახრილობა იქცევთ და არსებითად ერთიან ზედაპირს ჰქონინა. ალვეოლარული სიბრტყის ქვეშ მოქცეულია ზედა torus transversus და ზომიერად ღრმა ნიკაპის ფოსო.

5. დმანისის ადამიანის ქვედა ყბის ქვედა კიდე საკმაოდ ფიტოთა და რომელიც შეძრტყელებული. დიგასტრიკული ანაბეჭდები მთლიანად ამ კიდეზეა მოქცეული, როგორც ეს ნეანდერტალელმდელ ადამიანთა უმრავლესობას ახასიათებს.

6. ნიკაპის ხვერლი ქვედა ყბის სხეულის ქვედა კიდეს უფრო უახლოვდება. ვიღრე ზედას, მარცხნა მხარეზე იგი გაორებულია.

7. ქვედა ყბა-ინის ხაზი ოდნავ ემჩნევა სხეულის შიდა მხარეს. იგი სუსტადაა დახრილი წინისაკენ.

8. საჭრელები საშუალო ზომისაა. წინისაკენ გადახრილი, რაც, როგორც უკვე აღინიშნა, ადიდებს pl. alveolare-ს სიბრტყის ფართობს. ღოფი რამდენადმე წარმოიშვებული ჩანს და დაგრძელებული.

9. აღმავალი ტოტის წინა კიდის ქვედა დაბოლოება მკვეთრადაა გადახრილი გარეთ, რაც შეიძლება აღიქვას როგორც პრიმიტიული ნიშანი, შემორჩენილი ყველაზე აღრინდელი H. erectus-სა და სხვა, კიდევ უფრო ძველი ჰომინიდების ქვედა ყბებზე.

10. გამოირჩევა მისი ლაბიალური კულის ძლიერი მედიალური დახრილობით. P4 მკვეთრად განსხვავდება P3-გან ფორმითა და ბევრად უფრო განვითარებული მეტაკონილით. ორივე პრემოლარს, ისევე როგორც ღოფის, შემორჩენილი აქვს საყველო.

11. სამივე მოლარი, რომელთაგან პირველს საყველოს კვალიც ემჩნევა, გამოირჩევა მინანქრის ძლიერი დანაკვებით და დრიოპითებების გამოსახულებისა და მეექსეს ბორცვის არსებობით. ამასთანავე ამ



ჩა. 7. *Homo* sp. (დმანისი). ქვედა ყბა უკიდურეს

კბილების სიღილე მცირდება პირველი მოლარიდან მესამისაკენ, რაც, როგორც ცნობილია, თანამედროვე ადამიანებისთვისაა დამახასიათებელი, თუმცა მოლარების ზომის ამგვარი განაწილება გვხვდება ზოგჯერ ნამარს აღმიანებსა და ანთროპომორფულშიც (Patte, 1960).

ზოგიერთი მკვლევარის აზრით (Vandermeersch, 1982), ადამიანის ქვედა ყბა

ძნელი გამოსაყენებელია ტაქსონომიის საკითხების გამოსარკვევად. ეს მით უფრო ითქმის, აღბათ, არასრულ და დაზიანებულ ყბაზე. მაგრამ, მიუხედავად ამისა, დმანისის ადამიანის ქვედა ყბის ისეთი თავისებურებები, როგორიცაა ალვეოლარული რკალის ძლიერი სივიწროვე, საყმაოდ გამობურცული ფართო planum alveolare, ნიკაის სამკუთხედის ფუძის არსებობა, დიგასტრული ანაბეჭდების განლავება სიმფიოზის რამდნობმე გაბრტყელებულ ქვედა კიდეზე, ქვედა ყბის ალვეოლარული ნაწილის მასიურობა (განსაკუთრებით მოლარების ნაწილში), რეტრომორული სამკუთხედის შესაბამისი ნაწილის ძლიერი ლატერალური გადახრა, მესამე პრემოლარის პროტოკონიდის გვირვანის ცენტრისაკენ გადანაცვლება, ლოჭზე და პრემოლარებზე საყელოს განვითარება, მოლარების მინანქრის ძლიერი დანაოჭება და სამივე მოლარზე დროინდიოკუსის გამოსახულებისა და მერქესე ბორცვის არსებობა და სხვ. უფლებას გვაძლევს დავასკვნათ, რომ ეს ყბა გმირიჩევა ნამარტ ადამიანთა სხევადასხვა წარმომადგენლის ნიშანთვისებების თვალებური მოზაიკით. ჩივი ამ ნიშანთაგანი (უთუოდ პლაზიომორფული), როგორიც ვნახეთ არჭაული *H. erectus*-ისათვის და, შესაძლოა, უფრო ადრინდელი პრონინდებისათვისაც კი არის დამახასიათებელი, ხოლო ზოგიერთი სხვა ნიშანი (უმთავრესად, აღბათ, ასევე პლეზიომორფული) — ადრინდელი *H. sapiens*-ისა და უფრო გვიანდელი ადამიანებისთვისაც კი.

ძნელია დღეს, უფრო დეტალური შედარებითი კვლევის გარეშე, დმანისის ნამარტი ადამიანის სისტემატიკური ადგილის ზუსტად დადგენა, მით უფრო თუ გავიზიარებთ ზოგიერთი მკვლევარის (Jelinek, 1982; Tillier, Vandermeersch, 1982; Wolpoff, 1984; Wolpoff et al., 1991) მეტად განზოგადებულ კლასიფიკაციას. იქნება შთაბეჭდილება, რომ დმანისელი სცილდება როგორც *H. erectus*-ის (Weidenreich, 1936; Sartono, 1976, 1982; Howell, 1986; Rightmire, 1981, 1982, 1991), ისე კვრაბელი ნეანდერტალულამდელი ადამიანების (Lumley et al., 1982; Bonis, 1986) ნიშან-თვისებათა მერყეობის ფარგლებს.

5. Серия биологическая, т. 18, № 6

მისი თავისებურებების ერთობლიობა ფუძველს გვაძლევს კივარა უფორო წარმოადგენს უძველესი *H. erectus*-ის პარალელურ შტოს, რომელსაც, ისევე როგორც ამ უკანასკნელს, დასაბამი მისცა, აღბათ, *H. habilis* ჯგუფმა. ერთი კი უდავოა: დმანისელი ადამიანი ერთ-ერთი პირველი აფრიკული იმიგრანტთაგანია ევრაზიაში. ამ ნამარტის არქაული იერი სავსებით შეესატყვისება მის სიძველეს: უახლესი მონაცემების მიხედვით, მისი იზოტოპური ასაკი დაახლოებით 1,6 მილიონი წელია, რასაც არ ეწინააღმდეგება არც ხერხემლიანთა პალეონტოლოგიისა და არც პალეომაგნეტიკის მონაცემები.

აქ, აღბათ, არ იქნება ზედმეტი რამდენადმე შევჩერდეთ ხერხემლიანთა პალეონტოლოგიის მონაცემებზე, რადგან გადამწყვეტი მნიშვნელობა დმანისის ქვედა ყბის ასაკის დადგენის საქმეში სწორედ ძუძუმწოვრების ფუნქსის ენიჭება. როგორც ამ ფაუნის წინასწარმა გამოკლევამ გვიჩვენა (Векуа и соавторы, 1985; Габуния и соавторы, 1988; Габуния и Векуа, 1989; Gabunia, Vekua, 1992), მის შემაღებულობაში შედის ისეთი გვოლოგიურად ძველი სახობები, როგორიცაა *Aegidiskodon meridionalis*, *Megantereon megantereon*, *Canis etruscus*, *Equus stenonis*, *Dicerorhinus etruscus* (აღრინდელი ფორმა) და სხვ., რომელთა გვანვილაურანკული ასაკი ეჭვს არ იწვევს. მეტიც შეიძლება ითქვას: ეს კომპლექსი თვისი არქაული იერით უფრო ზედა ვილაფრანკის ქვედა ნაწილს მიეკუთვნება, ხოლო თუ გვითვალისწინებთ იმას, რომ გვიანი ვილაფრანკი მთლიანად მოიცავს დროს 1,8 მლნ წლიდან 1 მლნ წლამდე, ბუნებრივი იერება დმანისის ფუნქსა და, მასთან ერთად, ნამარტი ადამიანის ყბაც შეეცაბირისპიროთ დროის ამ მონაცემთის უფრო ქვედა ზღვარს, ვიდრე ზედას. ასეთი დაახლოვების სასაბეჭდოლოდ მეტყველებს ის გარემოებაც, რომ ძვლიანი შრე ისევე დადგებითადაა დამაგნიტული, როგორც მის ქვეშ მოქცეული რადიოარქომეტრი მეთოდით დათარიღებული ბაზალტი. მაშინადამ, საფუძველი გვაქვს გვიფერთო, რომ ორივე ეს გვოლოგიური წარმონაქმნი ეკუთვნის ერთსა და მავნე პალეომაგ-



ნიტურ ეპიზოდს, რომელიც ოლდვაის სახელწოდებითაა ცნობილი და რომელიც შეესაბმება დროის მონაკვეთს 1,9 მლნ წლიდან 1,6 მლნ წლამდე. მით უკვე თავისთვავად იფარვლება დმანისის ფაუნის ზედა ახაკობრივი ზღვარი: ის არ შეიძლება იყოს უფრო ახალგაზრდა, ვიდრე 1.6 მლნ წლისა. ეს თარიღი ფრიად სარწმუნოა, თუმცა ვერ ვიტყვით მაინც, რომ საბოლოო იყოს. საჭირო იქნება, აღმართ

## ЛИТЕРАТУРА

1. Векуа А. К., Габелая Ц. Д., Векуа З. А. Дманисская фауна ископаемых позвоночных. II научная сессия Грузинского отделения Всесоюзного тернологического общества, 1985, 22—23.
2. Габуния Л. К., Векуа А. К., Бугианишвили Т. В. Изв. АН ГССР<sup>4</sup> сер. биол., 14, 5, 344—349, 1988.
3. Габуния Л. К., Векуа А. К. Антропогеновые лошади Грузии, Тбилиси, „Медицнеба“, 1989.
4. Bonis de L. Homo erectus et la transition vers Homo sapiens en Europe. Dentition et origine de l'homme. Table ronde intern., 3, 253—361, 1986.
5. Brown F. H., Harris J., Leakey R., Walker A. Nature, 316, 778—782, 1985.
6. Gabunia L., Vekua A. Die Wirbeltiere von Dmanissi und ihre stratigraphische Aussage. 1992, (in preparation).
7. Howell F. C. L'Anthropologie (Paris), 90, 3, 447—481, 1986.
8. Jelinek J. Cong. Int. Pal. hum., Nice, 1982, претираж, 937—948.
9. Johanson D. C., Coppens Y., Taieb M. Union intern. sc. prehist. et protohist., X congrès Coll., VI, 1976, 121—137.
10. Leakey L. S. B., Tobias P. V., Napier J. R. Nature, 4927, 7—9, 1964.
11. Lumley H. de, - Lumley M.-A deet Fourquier A. I congrès intern. pal. hum., 1982, претираж, 937—948.
12. Patte E. La dentition des Néanderthaliens, Paris, Masson et Cie, éditeurs, 1962.
13. Rightmire G. Ph. Paleobiology, 7(2), 241—246, 1981.
14. Rightmire G. Ph. I congrés intern. pal. hum., Prétirage, Nice, 1982, 798—813.
15. Rightmire G. Ph. 1000 years of Pithecanthropus. Abstracts, Frankfurt am Main, 1991.
16. Roth N. I congrés intern. pal. hum., Prétirage, Nice, 1982, 222—248.
17. Sartono R. Un. int. sc. prehist. ei protohist., Coll., 1976, VI, 455—464, претираж.
18. Sartono R. Cong. Int. Pal. hum., 1982, 491—533, претираж.
19. Tilier A. M., Vandermeych B. Geobios: méém. spécial 6, 1982, 483—492.
20. Tobias P. V., Koenigswald von G. H. R. Nature, 4958, 515—518, 1964.
21. Weidenreich F. Palaeont. Sinica, ser. D, 7, 3, 1936.
22. Walker A. 1000 years of Pithecanthropus. Abstracts, Frankfurt am Main, 1991.
23. Wolpoff M. H. Paleobiol., 10(4) 389—406, 1984.
24. Wolpoff M. H. The Homo erectus problem, Abstracts, Frankfurt am Main, 1991.
25. ჯ. ჯაფარიძე, გ. ბოსინსკი, თ. ბუგა-ანიშვილი და თანაატორები. დმანისის ძველი ქვების ხინის ადამიანების სამხრეთ საქართველოსან. საქ. მეცნ. აკადემია, პრეპრინტი, 1991, 1—34.

## О НИЖНЕЙ ЧЕЛЮСТИ ИСКОПАЕМОГО ЧЕЛОВЕКА ИЗ ПОЗДНЕГО ВИЛЛАФРАНКА ДМАНИСИ

**Л. К. Габуния, А. К. Векуа, А. Юстус**

Институт палеобиологии им. Л. Давиташвили АН Грузии, Тбилиси  
Римско-немецкий центральный музей, Майнц

### Резюме

Дается описание нижней челюсти ископаемого человека из верхнего виллафранка (ранний плейстоцен) окрестностей Дманиси. Речь идет о

неполной нижней челюсти со всеми шестнадцатью зубами, принадлежащей молодой особи, у которой третий моляр едва затронут стиранием. Наи-



более характерные ее признаки: узость альвеолярной дуги, значительная массивность тела нижней челюсти, довольно широкая и выступающая назад *planum alveolare*, отсутствие подбородочного треугольника, расположение мест прикрепления *m. digastricus* на слегка уплощенном нижнем крае симфиза, резко выраженное отклонение наружу переднего отдела оснований восходящих ветвей, склонность лабиальной стороны  $P_3$  и соответственное смещение к центру коронки его протоконида, наличие воротничка на клыке и обоих премолярах, сильная складчатость эмали

моляров, присутствие на этих ~~зубах~~  
~~зубах~~  
рисунка дриопитека и шестого бугорка, уменьшение спереди назад размеров моляров и др.

Перечисленные признаки нижней челюсти дают основание считать, что *Homo* sp. из Дманиси характеризуется своеобразным сочетанием особенностей, свойственных и *Homo erectus*, и более древним, чем питекантропы, гоминидам, а также ранним *Homo sapiens*. Совершенно очевидно, что ископаемый человек из Дманиси — один из первых представителей *Homo*, проникших из Африки в Евразию.

## ON THE MANDIBLE OF FOSSIL MAN FROM THE UPPER VILLAFRANCHIAN OF DMANISI (EAST GEORGIA)

L. GABUNIA, A. VEKUA, A. JUSTUS

Davitashvili Institute of Paleobiology, Georgian Academy of Sciences, Tbilisi  
Romish-Germanisches Zentralmuseum, Mainz

### Summary

The authors give a preliminary description of the fossil man mandible from the Upper Villafranchian of Dmanisi (East Georgia). This is an incomplete (the ascending rami are broken) but well preserved specimen with all sixteen teeth belonging to a young individual. The mandible is small or moderate length. The dental arcade is narrow and tends to be U-shaped. The corpus mandibulae is thick and is especially heavy in the region of the posterior cheek teeth. The symphyseal section shows a moderate transverse torus and rather extensive *planum alveolare*. The chin region shows a distinct tuber symphyseos, but does not reveal development of mental trigon. The digastric impressions are limited only by slightly flattered lower surface of the

basal margin of the symphysis. The basal part of the ascending rami is sharply deflected outside.  $P_3$  has a sloping buccal face and the protoconid somewhat displaced towards the center of the crown. The canines and both premolars bear a distinct cingulum. All three molars show the Driopithecus-pattern, strongly wrinkled enamel and the presence of the tuberculum sextum. The dimensions of the molars decrease from  $M_1$  to  $M_3$ .

The authors come to the conclusion that the *Homo* sp. from Dmanisi reveal a combination of characteristic features of archaic *Homo erectus* and possibly of older Hominids, as well as early *Homo sapiens*. Fossil man from Dmanisi is evidently one of the first Hominids penetrated from Africa into Eurasia.

УДК 619

МИКРОБИОЛОГИЯ

## ФАКТОРЫ ПАТОГЕННОСТИ У БАКТЕРИЙ РОДА *CLOSTRIDIUM*

Дж. В. Начебия, Т. Г. Габисония

Грузинский зооветеринарный учебно-исследовательский институт, Тбилиси  
НПО «Бактериофаг» им. Г. Г. Элиава, Тбилиси

Поступила в редакцию 15.04.91

Изучена способность передачи факторов патогенности (энтеротоксигенность, гемолитическая активность) от *Clostridium perfringens* к реципиентным штаммам кишечной палочки и стафилококка. Установлено, что штаммы *Clostridium perfringens*, обладающие энтеротоксигенностью и гемолитической активностью, с помощью конъюгации передают эти детерминанты патогенности реципиентам *Escherichia coli* K12 и *Staphylococcus MK32*.

В ассоциациях микробов при гнойно-хирургических, ожоговых и других инфекциях за последние десять лет приоритет приобретают анаэробные микроорганизмы, которые ничем не уступают грамположительным и грамотрицательным аэробным микроорганизмам в образовании гнойно-воспалительных процессов и в некоторых случаях превышают их по тяжести протекания заболевания [1, 2].

В то же время роль анаэробных бактерий в инфекционной патологии человека и животных, их значение в патогенезе инфекционных заболеваний нуждается в дальнейших уточнениях и доказательствах [3].

Особенно часто анаэробы выделяются от больных преимущественно в реанимационных отделениях [7, 9]. Эти микроорганизмы, как и другие бактерии, являются причиной возникновения раневых, острых кишечных и урологических инфекций, включая пневмонии, а также сепсиса, септикопиемии, флегмон, менингитов [8, 9, 12].

Заболевания, вызванные представителями анаэробов, протекают очень тяжело и нередко завершаются летальным исходом [9].

Представители этого рода могут

вызвать инфекционные вспышки, особенно в отделах интенсивной терапии среди новорожденных [5, 6, 10, 11, 12].

Проблема патогенности остается до настоящего времени одной из центральных в современной микробиологии. В последние годы появились сообщения о том, что в ряде случаев определенные факторы патогенности, такие как энтеротоксигенность, адгезивность, гемолитическая активность, детерминируются плазмидами, т. е. подтверждаются предположения о том, что патогенность бактерий имеет полидетерминантную природу [4]. Иначе говоря, наряду с хромосомными у микроорганизмов имеются и плазмидные факторы патогенности. К таким факторам относятся энтеротоксигенность (способность микроорганизма продуцировать энтеротоксин), адгезивность (способность бактерий прикрепляться к эпителию слизистой полостей макроорганизма), гемолитическая активность и ряд других. У ряда представителей некоторых семейств (например у *Enterobacteriaceae*) эти факторы, их роль в инфекционной патологии человека и животных изучены более или менее подроб-

но, тогда как их изучение у других только начинается.

Выяснению наличия у бактерий рода *Clostridium* различных факторов патогенности (энтеротоксигенности, ге-

## МАТЕРИАЛЫ И МЕТОДЫ

В качестве питательных сред использовали бульон Кинт-Тароцци, бульон Хоттингера, МПБ, МПА, глюкозокровяной агар, агар Эндо.

Конъюгацию осуществляли по следующей методике: культуры доноров (*клостридий*) выращивали на глюкозокровяном агаре в условиях анаэробиоза за 24—36 ч; выросшие колонии смывали 0,15 М раствором NaCl, центрифугировали при 3000 об/мин в течение 20 мин, осадок повторно отмывали и суспендировали в 0,15 М растворе NaCl; концентрацию клеток по стандарту мутности доводили до 2 млрд кл/мл.

Колонии эшерихий (реципиенты) отбирали с агара Эндо и переносили на скошенный МПА, инкубировали 18 ч, клетки смывали 0,15 М раствором NaCl и обрабатывали вышеуказанным способом.

Концентрацию клеток в 0,15 М растворе NaCl устанавливали на  $2 \cdot 10^9$  кл/мл.

Клетки стафилококков также собирали со скошенного МПА, отмывали центрифугированием в указанном режиме, суспендировали в физиологическом растворе и концентрировали до 2-х млрд кл/мл взвеси.

Приготовленные таким образом суспензии клеток указанных видов микроорганизмов смешивали в таком сочетании в пробирке с 2 мл 0,15 М раствора NaCl, подогретого в водяной бане до 37°C (вносили 0,5 мл суспензии клеток реципиента (*E. coli* или *Staphylococcus*) и 0,5 мл суспензии клеток донора).

Контрольные пробирки вносили раздельно клетки реципиента и донора. Опытные и контрольные пробы инкубировали при 37°C в течение 6 ч. По истечении указанного времени производили высевы на селективную среду.

В качестве селективной среды использовали глюкозокровяной агар и среду Эндо. Отбор рекомбинантов с глюкозокровяного агара вели по признаку гемолиза вокруг колоний, а на

агаре Эндо — по передаче резистентности к антибиотикам маркером — для *E. coli* к стрептомицину, а для стафилококков — к эритромицину. Среда Эндо содержала те антибиотики, которые предотвращают рост в отдельности доноров и реципиентов, но не мешают росту трансконьюгантов, получивших от штамма донора маркер устойчивости к антибиотику (к стрептомицину, эритромицину) и имевших от исходного реципиентного штамма естественную устойчивость к другому антибиотику (к пенициллину).

Энтеротоксигенность трансконьюгантов определяли на модели лигированных отрезков тонкой кишки кроликов. С этой целью трансконьюганты выращивали на среде ВНІ (Brain heart infusion broath) с солевыми добавками, центрифугировали при 6—7 тыс. об/мин в течение 30 мин, к надосадочной жидкости добавляли хлороформ (1 мл) для подавления оставшихся в супернатанте бактериальных клеток. У кролика весом 1,7—2,0 кг под гексонал-эфирным наркозом асептически вскрывалась брюшная полость, выделялся тонкий кишечник и промывался стерильным физиологическим раствором. В лигированные отрезки (по 10 см) тонкого кишечника вводили по 1 мл супернатанта испытуемых трансконьюгантов.

Между лигированными отрезками кишечника, в которые вводили супернатанты испытуемых культур, оставляли промежутки кишечника длиной около 5 см для разделения опытных отрезков. Одновременно ставили контроль 2 лигированных отрезков, в которые вводили 1 мл стерильного ВНІ и супернатант энтеротоксигенной культуры *C. perfringens* A28, A49, B216. Через 18 ч для термолабильного энтеротоксина и 6 ч для термостабильного энтеротоксина кроликов забивали, вскрывали брюшную полость и учитывали результат по формуле объем/длина лигированного отрезка, в который вводилась надосадочная жид-

кость испытуемой культуры трансконъюгант. Результат считали положительным, если соотношение объем/длина было больше 1,0. Для определения термостабильного энтеротокси-

на дополнительно к описанной присадке прогревалась надосадочная часть испытуемой культуры при 56°C в течение 30 мин.

## РЕЗУЛЬТАТЫ ИССЛЕДОВАНИЙ И ИХ ОБСУЖДЕНИЯ

Каждый штамм донора *Clostridium perfringens* скрещивали отдельно с реципиентным штаммом *E. coli* K12 F<sup>-</sup> по методике, описанной выше.

Отбор рекомбинантов вели по обнаружению на глюкозокровянном агаре колоний с зоной лизиса (гемолиза) эритроцитов.

Данные о передаче гемолитических свойств от донорских штаммов к реципиентам приведены в табл. 1.

Таблица 1

Результаты скрещивания донорских штаммов *Clostridium perfringens* и реципиентов *E. coli* K12 (для изучения передачи признака гемолитической активности)

Скрещиваемые пары штаммов		Частота образования рекомбинантов
<i>Clostridium perfringens</i>	A28x <i>E. coli</i> K12	3·10 <sup>-6</sup>
"	A49x "	6·10 <sup>-7</sup>
"	B216x "	2·10 <sup>-6</sup>

Изучены свойства донорских штаммов *Clostridium perfringens*, связанные с передачей фактора Ent в реципиентный штамм *E. coli* K12.

Полученные данные говорят о наличии фактора энтеротоксигенности в донорских штаммах *Clostridium perfringens* и о их передаче к реципиентному штамму *E. coli* K12 (табл. 2).

Таблица 2

Результаты скрещивания донорских штаммов *Clostridium perfringens* и реципиентов *E. coli* K12 (для изучения передачи признака энтеротоксигенности)

Скрещиваемые пары штаммов		Наличие фактора в рекомбинахтах
<i>Clostridium perfringens</i>	A28x <i>E. coli</i> K12	Ent
"	A49x	Ent
"	B216x	Ent

Все три изученные нами штамма *Clostridium perfringens* содержали фактор энтеротоксигенности, который передавался к реципиентному штамму *E. coli* K12.

Изучена передача гемолитической активности и энтеротоксигенности от *Clostridium perfringens* к реципиентным штаммам стафилококков.

В качестве доноров были использованы штаммы *Clostridium perfringens* A28, D211, B216 и реципиентные штаммы стафилококков: *S. aureus* 8325-1 — для определения передачи энтеротоксигенности; *S. epidermidis* MK32 — для определения передачи гемолитической активности.

После скрещивания клеток донора и реципиента из смеси пробы переносились на глюкозокровянной агар, выявлялись отдельные колонии с зоной гемолиза, т. е. рекомбинанты, которые приобрели детерминант гемолитической активности от токсигенных анаэробов.

Все три донорских штамма *Clostridium perfringens* A28, D211, B216 передавали фактор в реципиентный штамм *S. epidermidis* MK32 (табл. 3).

Таблица 3

Передачи фактора гемолитической активности от донорских штаммов *Clostridium perfringens* к реципиентному штамму *S. epidermidis*

Штаммы доноров	Штамм-реципиент	Частота передачи фактора при коньюгации
<i>Clostridium perfringens</i> A28 x <i>S. epidermidis</i> MK32		7·10 <sup>-7</sup>
" D211	"	3·10 <sup>-8</sup>
" B216	"	6·10 <sup>-8</sup>

Кроме гемолитической активности, в реципиентном штамме были обнаружены детерминанты, определяющие энтеротоксигенность. Наличие эн-



теротоксина в реципиентном штамме определяли по методу (*S. aureus* 8325-1), который был описан в мате-

Таблица 4

Передача фактора энтеротоксигенности от донорских штаммов *Cl. perfringens* к реципиентному штамму *S. aureus* 8325-1

Штаммы доноров	Штамм-реципиент	Частота передачи фактора при конъюгации
<i>Cl. perfringens</i> A28x		
<i>S. aureus</i>	8325-1	3·10 <sup>-8</sup>
" D211x	"	4·10 <sup>-8</sup>
" B216	"	6·10 <sup>-7</sup>

## ЛИТЕРАТУРА

- Герике В. Б., Райсброт Р., Раскин Б. М., Ратникова Т. И. ЖМЭИ, I, 15—18, 1988.
- Миацаканов С. Т. Автореф. докт. дисс. М., 1984.
- Рахимов А. Х., Саканделидзе О. Г., Гиршович Е. С., Аполонин А. В., Раскин Б. М., Лобова Е. А., Денисова С. В., Миацаканов С. Т. Выявление гемолитических, адгезивных и энтеротоксигенных энтеробактерий (Методические рекомендации), М., 1987.
- Тимаков В. Д., Кудлай Д. Г., Петровская В. Г., Ларинова Т. И. ЖМЭИ, 3, 3—16, 1968.
- Bergone-Borezin E., Joly-Guillon M. L. J. Antimicrob. Chemother., 16, 5, 535—539, 1985.
- Clew R., Meelerung Kunz L. Medicine (Baltimore), 56, 79—97, 1977.
- Di Grancio R., Pappagallo S., Ferril, Farina P., Lupig Jg. sanitaria publ., 43, 1—2, 7—15, 1987.
- Kobayashi Tadao K., Tamaki Tsurumi, Yoshino Eiji. Acta Cytol., 27, 3, 281—284, 1983.
- Noone P., Abeysundere R. L. Bradley T. M. J. Antimicrob. Chemother., 4, 4 (Suppl.), 83—90, 1978.
- Stone J. W., Das B. C. J. Hosp. Infect., 1, 42—48, 1986.
- Von Graevenitz A., Canagozzi O. Zbl. Bakt. Abt. Orig. A, 235—238, 1976.
- Zechovsky N., Phallion C., Bergone-Borezin E. Ann. Med. Intern. (Paris), 123, 323—330, 1972.

## CLOSTRIDIUM-ის გვარის ბაზტირინების პათოგენური თვისებების შესავალი

დ. ნაკადია, მ. გაგისონია

საქართველოს ზოოვეტერინალური სასწავლო-კვლევითი ინსტიტუტი, თბილისი  
სამეცნიერო-საწარმოო გაერთიანება „ბაქტერიოფაგი“, თბილისი

## რეზიუმე

შემსწავლეთ პათოგენური ფაქტორების (ცნობროტოქსიგენურობა, ჰემолიზური აქტიობა) გადატანის შესაძლებლობა დონორული *Clostridium* შტამებიდან რეციპიენტ ნაწლავის ჩხირისა და ტრაფილოკონკის შტამებში.

риалах и методах (по модели лигированных отрезков тонкой кишечной палочки).

Установлено, что донорские штаммы *Cl. perfringens* A28, D211, B216 передают реципиентному штамму *S. aureus* 8325-1 способность продуцировать энтеротоксигенность (табл. 4).

Установлено, что донорские штаммы *Cl. perfringens*, обладающие факторами энтеротоксигенности и гемолитической активностью могут передавать эти факторы в реципиентные штаммы кишечной палочки и стафилококков.

6. Clew R., Meelerung Kunz L. Medicine (Baltimore), 56, 79—97, 1977.
7. Di Grancio R., Pappagallo S., Ferril, Farina P., Lupig Jg. sanitaria publ., 43, 1—2, 7—15, 1987.
8. Kobayashi Tadao K., Tamaki Tsurumi, Yoshino Eiji. Acta Cytol., 27, 3, 281—284, 1983.
9. Noone P., Abeysundere R. L. Bradley T. M. J. Antimicrob. Chemother., 4, 4 (Suppl.), 83—90, 1978.
10. Stone J. W., Das B. C. J. Hosp. Infect., 1, 42—48, 1986.
11. Von Graevenitz A., Canagozzi O. Zbl. Bakt. Abt. Orig. A, 235—238, 1976.
12. Zechovsky N., Phallion C., Bergone-Borezin E. Ann. Med. Intern. (Paris), 123, 323—330, 1972.

დადგენილია. რომ *Cl. perfringens*-ის შტამები, რომლებიც ატარებენ ენტეროტოქსიგენურობისა და ჰემოლიზური აქტიობის დეტერმინანტებს, გადასცემენ მათ კონიუგაციის საშუალებით რეციპიენტ *E. coli* 12 და *Staphylococcus* 32.

# FACTORS OF PATHOGENECITY IN CLOSTRIDIUM BACTERIA

J. NACHKEBIA, T. GABISONIA

Educational-Investigating Georgian Zooveterinary Institute  
G. G. Eliava STA "Bacteriophage", Tbilisi

## Summary

The ability to transfer pathogenic factors (enterotoxigenicity hemolytic activity) from *Clostridium perfringens* to staphylococcus and *E. coli* resistant strains has been studied.

It has been established that *Clostridium perfrin-*

*gens*, having enterotoxigenicity and hemolytic activity transfer these determinants of pathogeneity to *E. coli* and *Staphylococcus MK 32* recipients by conjugation.

## ପ୍ରତିକାଳରେ କୁହାରୀଙ୍କୁରେଖାଗଣ୍ଡ

ଶ୍ରୀମଦ୍ଭଗବତ ପାଠରେ ଏହାରେ ଏହା ଅକ୍ଷୟାନୁଶ ରୂପକଥା (ଏହି ନିର୍ମାଣ ଅନୁମତିବଳକ୍ଷଣରେ ସମ୍ମାନିତ), ଲାଭ-ଲାଭକାରୀ ବ୍ୟାକ୍, ପ୍ରକାଶକ୍, ପ୍ରକାଶକ୍ତିକାରୀ ଏବଂ ନିର୍ମାଣକାରୀ ପ୍ରେସରିଜର୍ରେଙ୍କ କ୍ଷମିତାବଳକ୍ଷଣରେ ଉଚ୍ଚମ୍ଭବ ପାଇଁ ଉପରେପାଇଯାଇଛି।

4. සාපුරිගා උරිඹ ජේගප්පාගෙදරු වෛසාගාල්, මීතෙනදායාත්, යුදුවුවෙක් සෑලෙහිපෙක් දා සෑලාච්චෙක් නිමිත්ත්වා.

ସେଇରାହିଁ ଶ୍ଵାସକୁ ଡା ନିଷ୍ଠାପନାରେ, ଶମ୍ଭବପ୍ରେସିଲ୍ ଦୂରତ୍ବର୍ଗେରେ; ପ୍ରକାଶରୂପ ଶମ୍ଭବପ୍ରେସିଲ୍ ଟାଙ୍କରେ — ରୁମରୀ, ନିର୍ମିତି, ପ୍ରେସର୍ଲେବଳ, ଚିଲା, ଏବଂ ପ୍ରେସର୍ଲେବଳେ ଶମ୍ଭବପ୍ରେସିଲ୍ ଦୂରତ୍ବର୍ଗେରେ, ପାଇଁ

7. ტელავწერები, რომელიც შეიძლება და გვერდების დასახურდები.

შესაბამისად ურთიალის პროცესს. უბრუნდება პეტონის. ყველა სტატია გვხვდება საჩი ყანისით.

## К СВЕДЕНИЮ АВТОРОВ

1. В журнале печатаются завершенные, оригинальные работы экспериментального и теоретического характера по утвержденным редколлегией разделам биологии, обзорные статьи, написанные по заказу редколлегии, а также краткие сообщения и рецензии. Периодически в журнале помещается краткая хроника о проведенных научно-организационных мероприятиях.

2. **Объем рукописи** экспериментальных работ, включая таблицы, рисунки, подпункты к рисункам, список литературы и резюме на грузинском и английском языках (не более одной страницы машинописи на каждом языке), не должен превышать 12 страниц машинописного текста, напечатанного через 2 интервала и полем 3 см с левой стороны. К рукописи может быть приложено не более 5 рисунков. **Объем обзорной статьи — 24 страницы, краткого сообщения — до 4 страниц машинописи.** Стартовые сообщения можно иллюстрировать 1—2 рисунками.

Резюме на грузинском и английском языках, список литературы, таблицы и подписи к рисункам должны быть представлены на отдельных листах.

3. Рукопись (в двух экземплярах) должна иметь направление учреждения и заключение экспертизы комиссии. На первой странице слева приводятся индексы статьи (УДК), справа — раздел биологии, затем название статьи, инициалы и фамилии авторов, название учреждения, где выполнена работа, и краткая аннотация (не бо-

Статья должна быть подписана всеми авторами. В конце статьи необходимо указать полностью имя, отчество и фамилии авторов, домашний и служебный ад-

4. Статья должна содержать введение, методику, результаты исследований и обсуждение.

**5. Иллюстрации** — четкие фотографии на глянцевой бумаге и рисованные графики на кальке или белой чертежной бумаге — следует представлять в двух экземплярах. Надписи на иллюстрациях должны быть выполнены тушью. На обороте иллюстраций следует обозначить наименование, фамилию автора и горизон-

илюстрации следует обозначать каракулем ее номер, фамилию автора и сокращенное название статьи, а в случае необходимости отметить верхний и нижний край.

6. Фамилии цитируемых авторов следует давать в транскрипции, соответствующей тексту статьи и в оригинальной — в списке литературы. Список литературы составляется по алфавиту — вначале грузинским и русским шрифтом, а затем латинским. После порядкового номера (в тексте статьи он ставится в квадратные скобки) следует давать фамилию и инициалы авторов, название издания, затем — для периодических изданий — том, страницы (от и до), год; для непериодических — название

7. Рукописи, оформленные без соблюдения указанных правил, а также не соответствующие профилю журнала, возвращаются автору. Все рукописи проходят рецензию.

8. Корректуры статей даются авторам для проверки, правки и визирования. До окончания приема изменений в тексте не допускаются.

9 Редакция оставляет за собой право сокращать и исправлять тексты статей.

9. Редакция оставляет за собой право сокращать и  
10. Авторы получают бесплатно 12 отдельных оттисков



70/20/1  
ფასი 2 გთ.

Цена 2 руб.

Индекс 76204

ISSN - 0321-1665 № 6. АН Грузии, сер. биологическая, 1992, т. 18, № 6, 361-432.